

**Curs 11**

2023/2024

# **Dispozitive și circuite de microunde pentru radiocomunicații**

# Disciplina 2023/2024

- 2C/1L (+1), **DCMR (CDM)**
- Minim 7 prezente (curs+laborator)
- Curs - **conf. Radu Damian**
  - Miercuri 08(:**15**)-17, ~~Online~~/**Video (istoric)**, P5
  - E – **50%** din nota
  - **probleme** + (2p prez. curs) + (3 teste) + (bonus activitate)
    - primul test L1: 04.10.2023 (t2 si t3 neanuntate la **curs**)
    - 3pz (C) ≈ +0.5p (**2p** max)
  - **toate materialele permise**

# Disciplina 2023/2024

- 2C/1L, **DCMR (CDM)**
- Laborator – **conf. Radu Damian**
  - Miercuri/Joi/Vineri, par/impar, **II.13**
  - L – **25%** din nota
    - ADS, 4 sedinte aplicatii
    - prezenta + **rezultate personale!**
  - P – **25%** din nota
    - ADS, 3 sedinte aplicatii (-1? 21-22.12.2022)
    - tema personala

# Cuprins

- Linii de transmisie
- Adaptarea de impedanță
- Cuploare direcționale
- Divizoare de putere
- Amplificatoare de microunde
- Filtre de microunde
- Oscilatoare de microunde ?

# Bibliografie

- <http://rf-opto.eti.tuiasi.ro>
- Irinel Casian-Botez: "Microunde vol. 1: Proiectarea de circuit", Ed. TEHNOPRES, 2008
- **David Pozar, Microwave Engineering, Wiley; 4th edition , 2011, ISBN : 978-1-118-29813-8 (E), ISBN : 978-0-470-63155-3 (P)**

# Examen: Reprezentare logaritmică

$$\text{dB} = 10 \cdot \log_{10} (P_2 / P_1)$$

$$0 \text{ dB} = 1$$

$$+0.1 \text{ dB} = 1.023 (+2.3\%)$$

$$+3 \text{ dB} = 2$$

$$+5 \text{ dB} = 3$$

$$+10 \text{ dB} = 10$$

$$-3 \text{ dB} = 0.5$$

$$-10 \text{ dB} = 0.1$$

$$-20 \text{ dB} = 0.01$$

$$-30 \text{ dB} = 0.001$$

$$\text{dBm} = 10 \cdot \log_{10} (P / 1 \text{ mW})$$

$$0 \text{ dBm} = 1 \text{ mW}$$

$$3 \text{ dBm} = 2 \text{ mW}$$

$$5 \text{ dBm} = 3 \text{ mW}$$

$$10 \text{ dBm} = 10 \text{ mW}$$

$$20 \text{ dBm} = 100 \text{ mW}$$

$$-3 \text{ dBm} = 0.5 \text{ mW}$$

$$-10 \text{ dBm} = 100 \mu\text{W}$$

$$-20 \text{ dBm} = 1 \mu\text{W}$$

$$-30 \text{ dBm} = 1 \text{ nW}$$

$$[\text{dBm}] + [\text{dB}] = [\text{dBm}]$$

$$[\text{dBm}/\text{Hz}] + [\text{dB}] = [\text{dBm}/\text{Hz}]$$

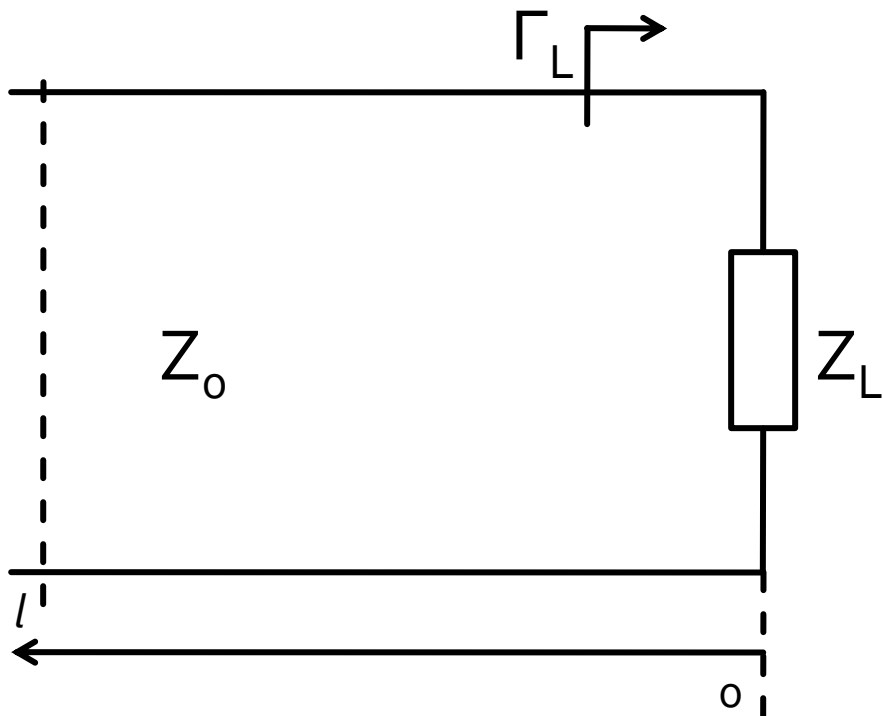
$$[x] + [\text{dB}] = [x]$$

# **Linii de transmisie in mod TEM**

# Cuprins

- **Linii de transmisie**
- **Adaptarea de impedanță**
- **Cuploare direcționale**
- **Divizoare de putere**
- **Amplificatoare de microunde**
- **Filtre de microunde**
- **Oscilatoare de microunde ?**

# Linie fara pierderi



$$V(z) = V_0^+ e^{-j\beta z} + V_0^- e^{j\beta z}$$

$$I(z) = \frac{V_0^+}{Z_0} e^{-j\beta z} - \frac{V_0^-}{Z_0} e^{j\beta z}$$

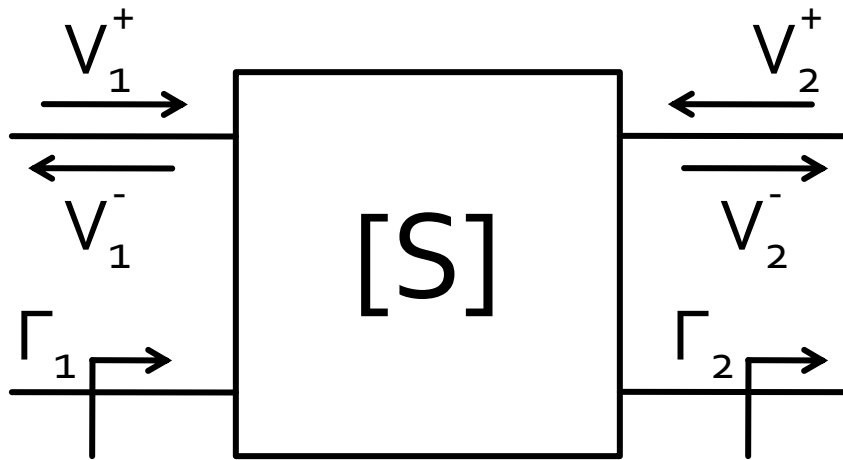
$$Z_L = \frac{V(0)}{I(0)} \quad Z_L = \frac{V_0^+ + V_0^-}{V_0^+ - V_0^-} \cdot Z_0$$

- coeficient de reflexie in tensiune

$$\boxed{\Gamma = \frac{V_0^-}{V_0^+} = \frac{Z_L - Z_0}{Z_L + Z_0}}$$

- $Z_0$  real

# Matricea S (repartitie)



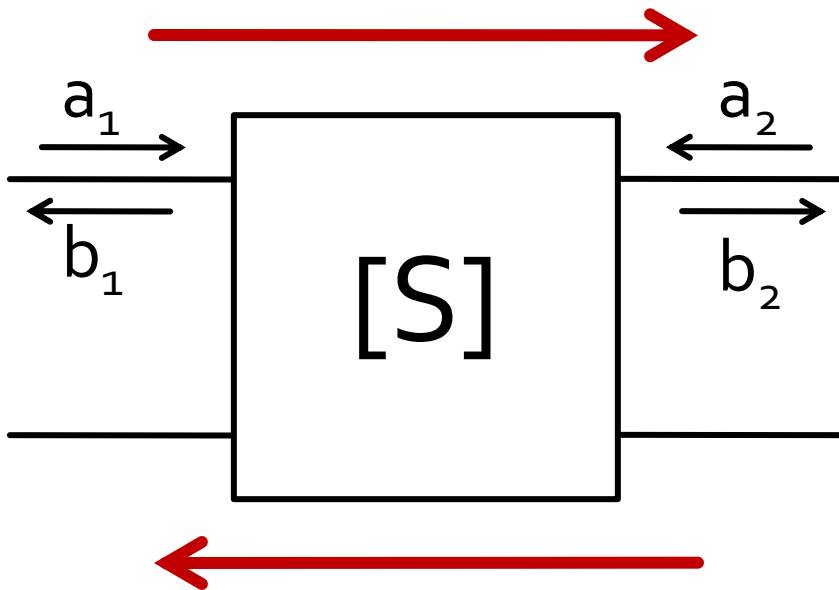
$$\begin{bmatrix} V_1^- \\ V_2^- \end{bmatrix} = \begin{bmatrix} S_{11} & S_{12} \\ S_{21} & S_{22} \end{bmatrix} \cdot \begin{bmatrix} V_1^+ \\ V_2^+ \end{bmatrix}$$

$$S_{11} = \left. \frac{V_1^-}{V_1^+} \right|_{V_2^+ = 0} = \Gamma_1 \Big|_{\Gamma_2 = 0}$$

$$S_{21} = \left. \frac{V_2^-}{V_1^+} \right|_{V_2^+ = 0} = T_{21} \Big|_{\Gamma_2 = 0}$$

- $S_{11}$  este coeficientul de reflexie la portul **1** cand portul **2** este terminat pe impedanta care realizeaza adaptarea
- $S_{21}$  este coeficientul de transmisie de la portul **1** (**al doilea indice!**) la portul **2** (**primul indice!**) cand se depune semnal la portul **1** si portul **2** este terminat pe impedanta care realizeaza adaptarea

# Matricea S (repartitie)



$$\begin{bmatrix} b_1 \\ b_2 \end{bmatrix} = \begin{bmatrix} S_{11} & S_{12} \\ S_{21} & S_{22} \end{bmatrix} \cdot \begin{bmatrix} a_1 \\ a_2 \end{bmatrix}$$

$$|S_{21}|^2 = \frac{\text{Putere sarcina } Z_0}{\text{Putere sursa } Z_0}$$

- a,b
  - informatia despre putere **SI** faza
- $S_{ij}$ 
  - influenta circuitului asupra puterii semnalului incluzand informatiile relativ la faza

# Cuprins

- Linii de transmisie
- **Adaptarea de impedanță**
- Cuploare direcționale
- Divizoare de putere
- Amplificatoare de microunde
- Filtre de microunde
- Oscilatoare de microunde ?

# Adaptare dpdv al puterii

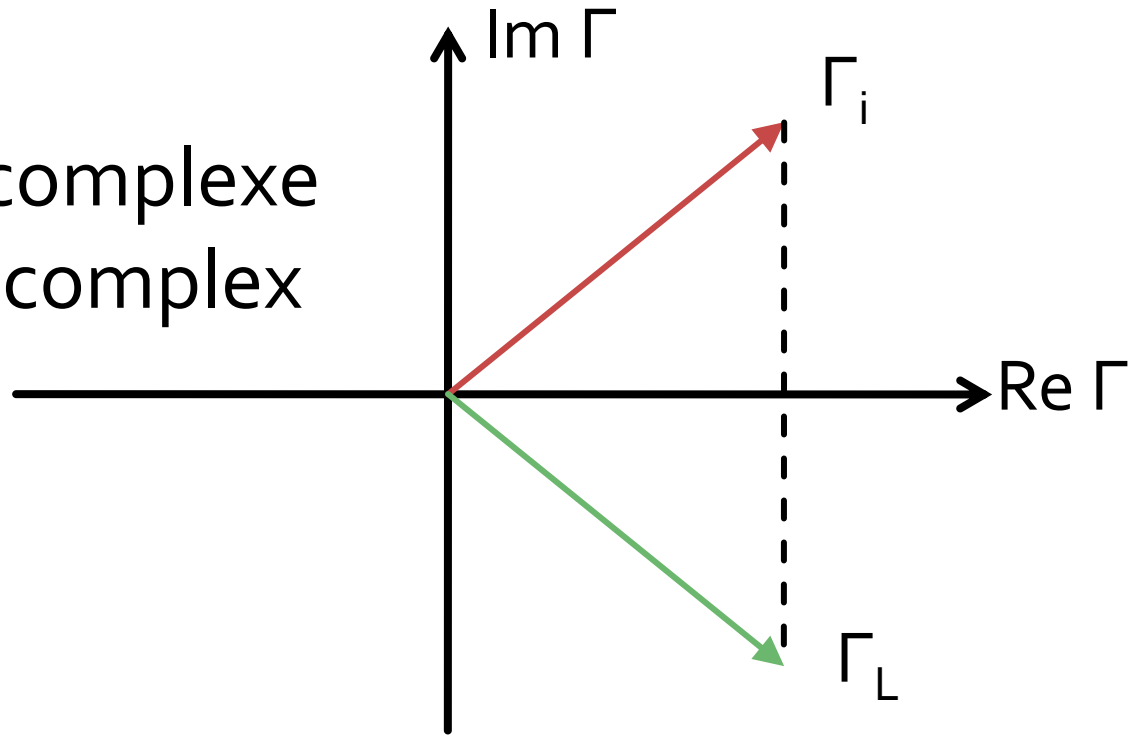
$$Z_L = Z_i^*$$

Daca se alege un  $Z_0$  real

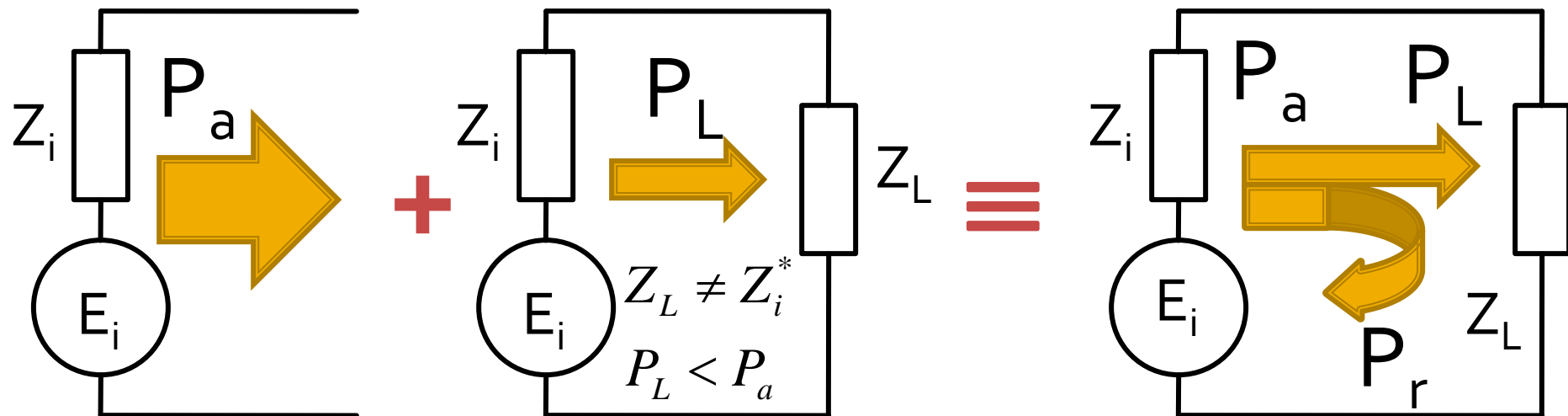
$$\Gamma = \frac{Z - Z_0}{Z + Z_0}$$

$$\Gamma_L = \Gamma_i^*$$

- numere complexe
- in planul complex



# Reflexie de putere / Model



- Generatorul are posibilitatea de a oferi o anumita putere maxima de semnal  $P_a$
- Pentru o sarcina oarecare, acesteia i se ofera o putere de semnal mai mica  $P_L < P_a$
- Se intampla "**ca si cum**" (model) o parte din putere se reflecta  $P_r = P_a - P_L$
- Puterea este o marime **scalara!**

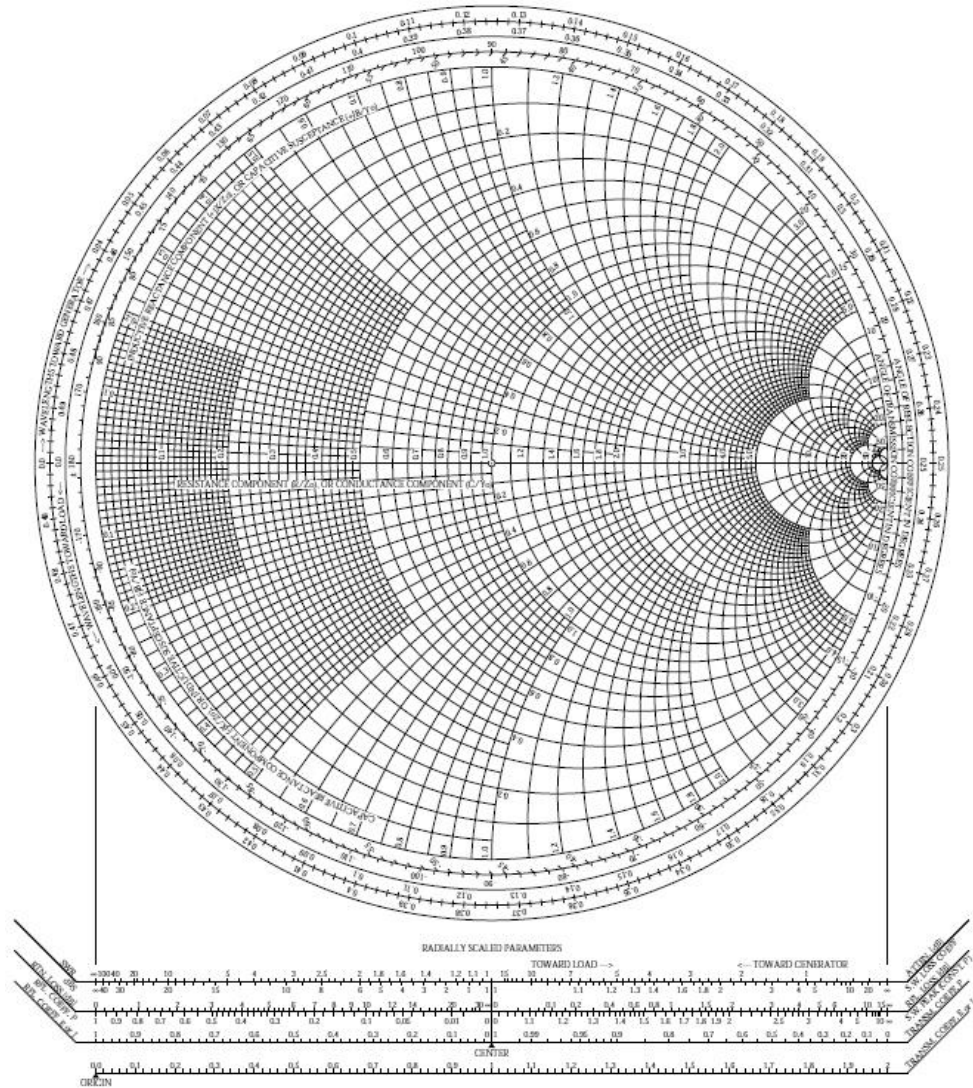
Adaptarea de impedanță

# Diagrama Smith

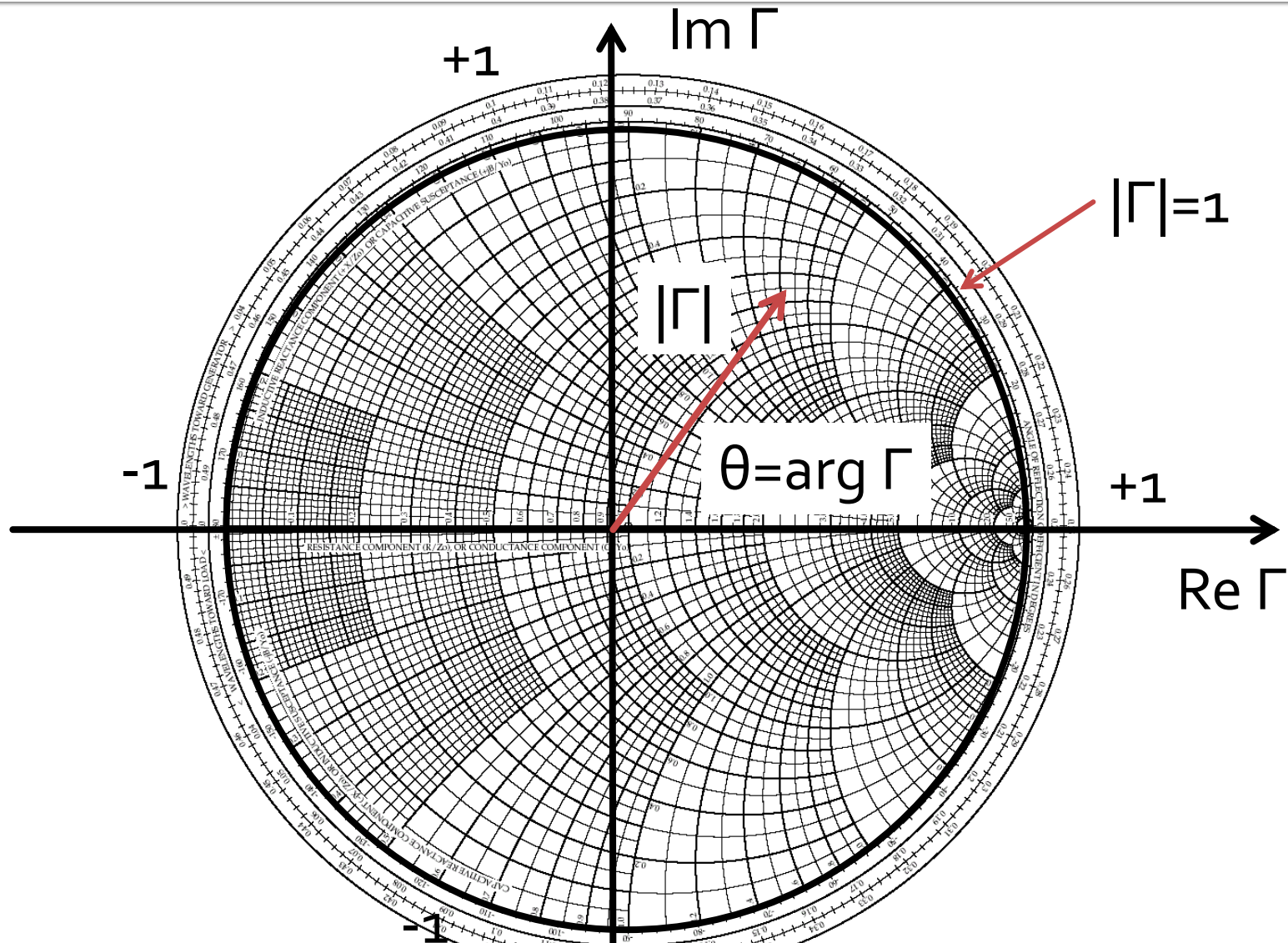
# Cuprins

- Linii de transmisie
- **Adaptarea de impedanță**
- Cuploare direcționale
- Divizoare de putere
- Amplificatoare de microunde
- Filtre de microunde
- Oscilatoare de microunde ?

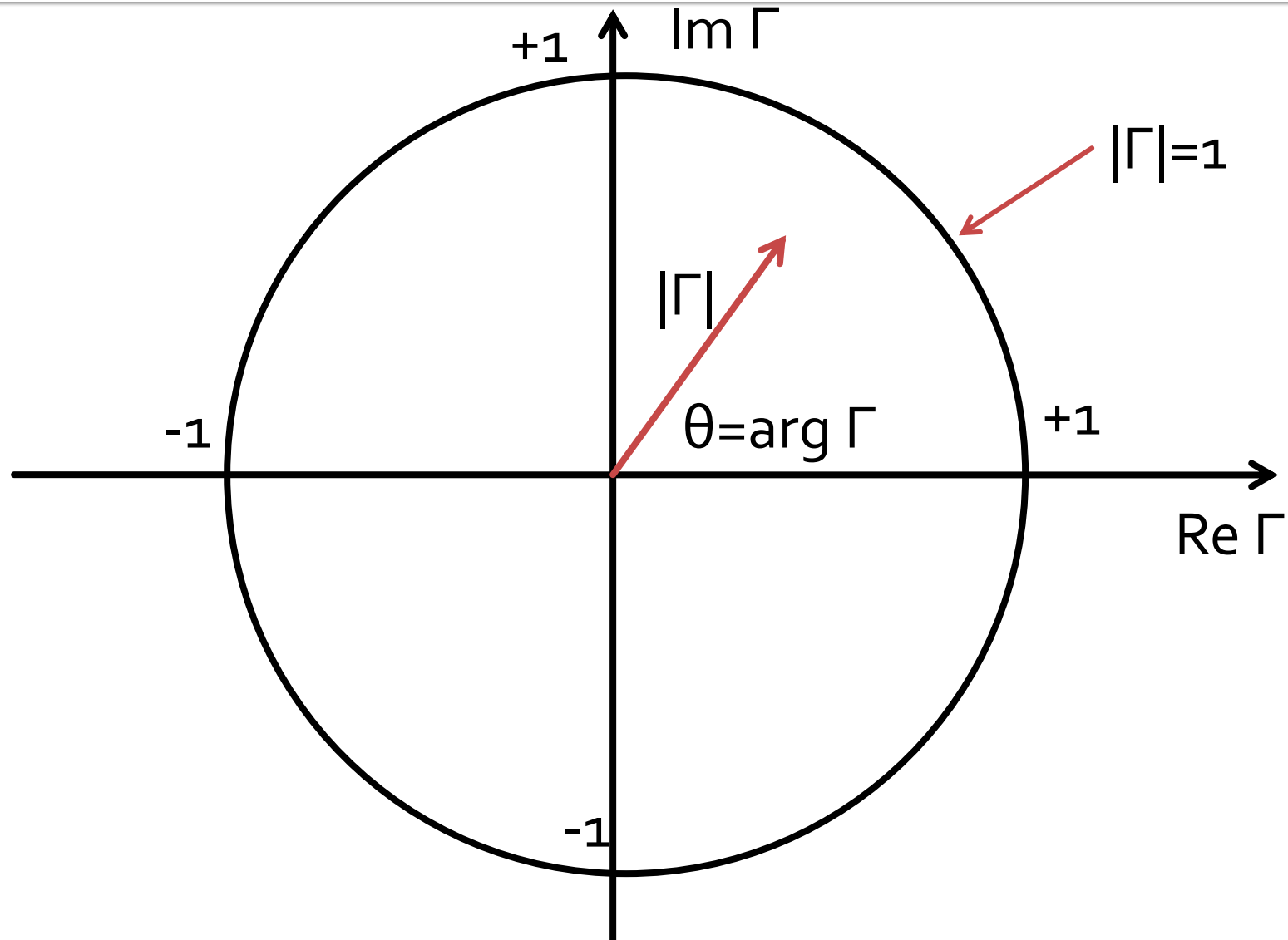
# Diagrama Smith



# Diagrama Smith



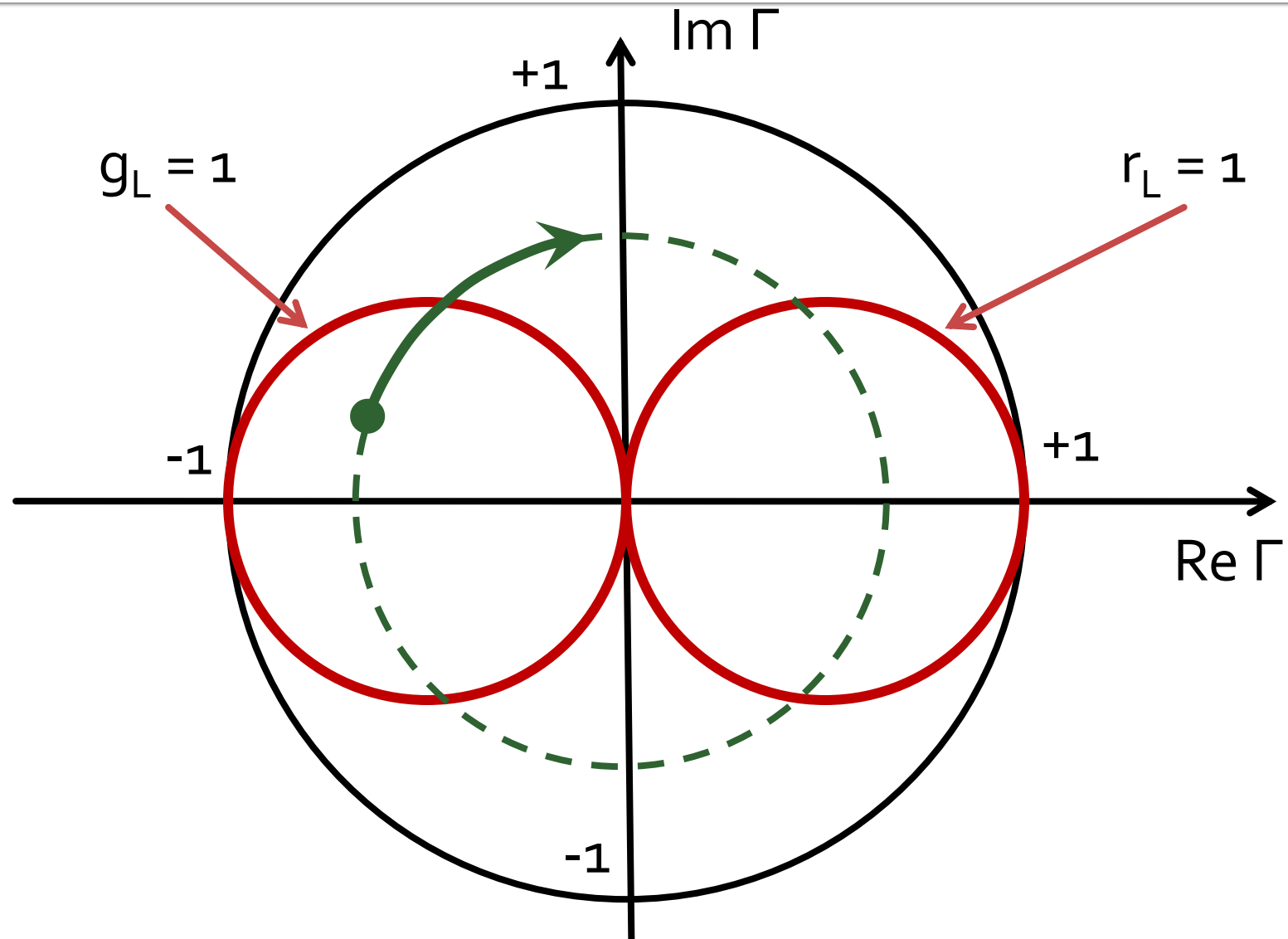
# Diagrama Smith



Adaptarea cu sectiuni de linii (stub)

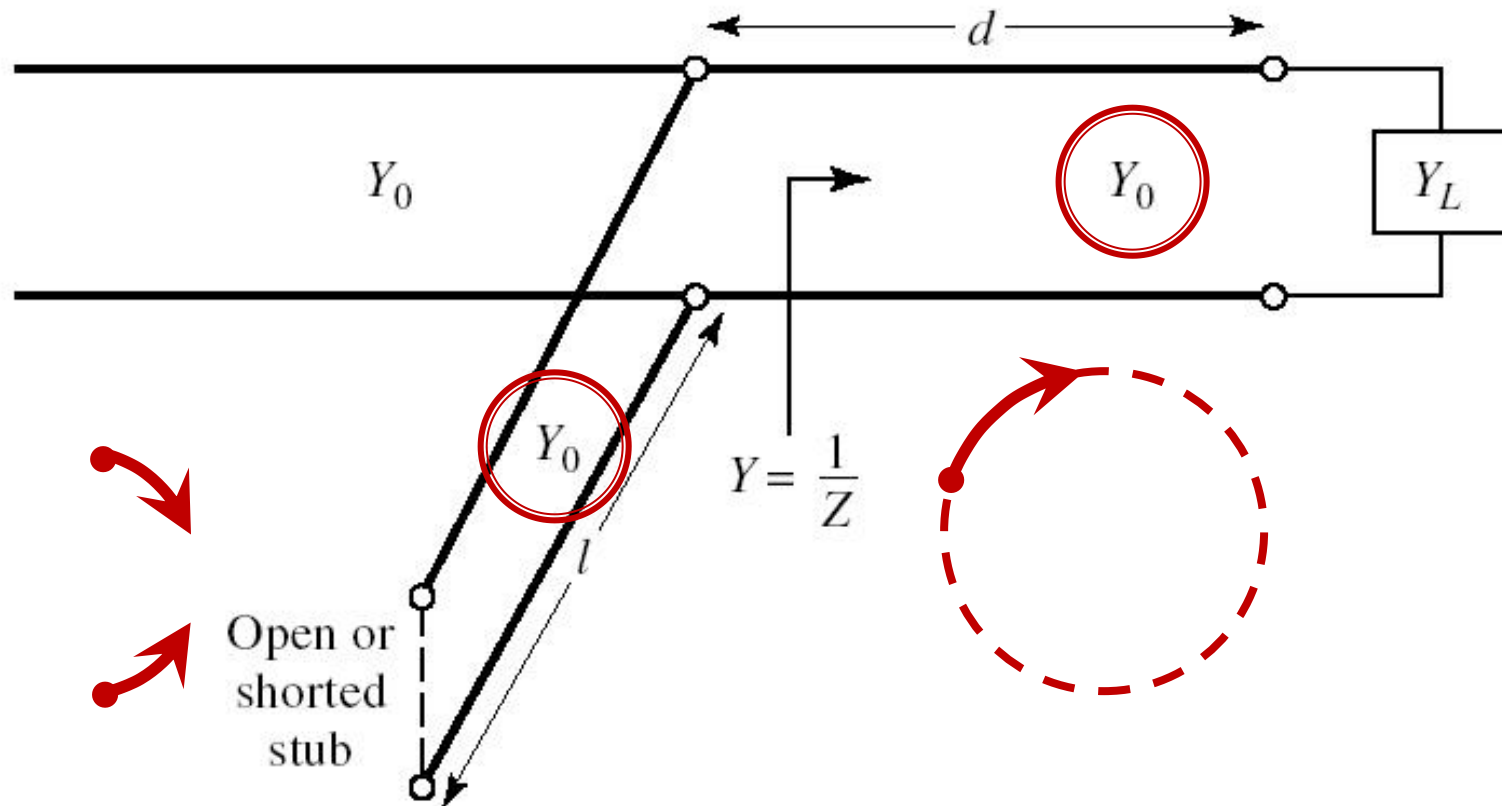
# **Adaptarea de impedanță**

# Diagrama Smith, $r=1$ si $g=1$



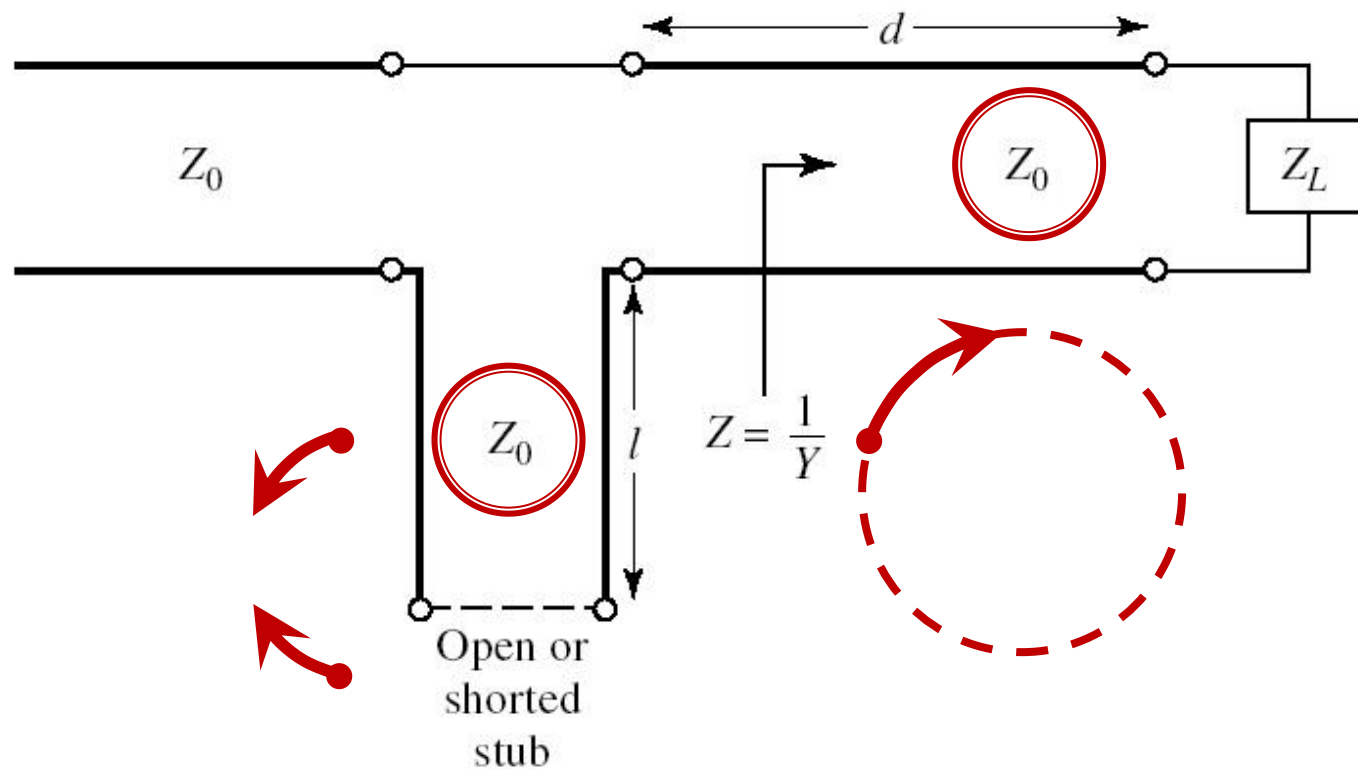
# Single stub tuning

- Shunt Stub (secțiune de linie în paralel)



# Single stub tuning

- Series Stub (secțiune de linie în serie)
- tehnologic mai dificil de realizat la liniile monofilare (microstrip)

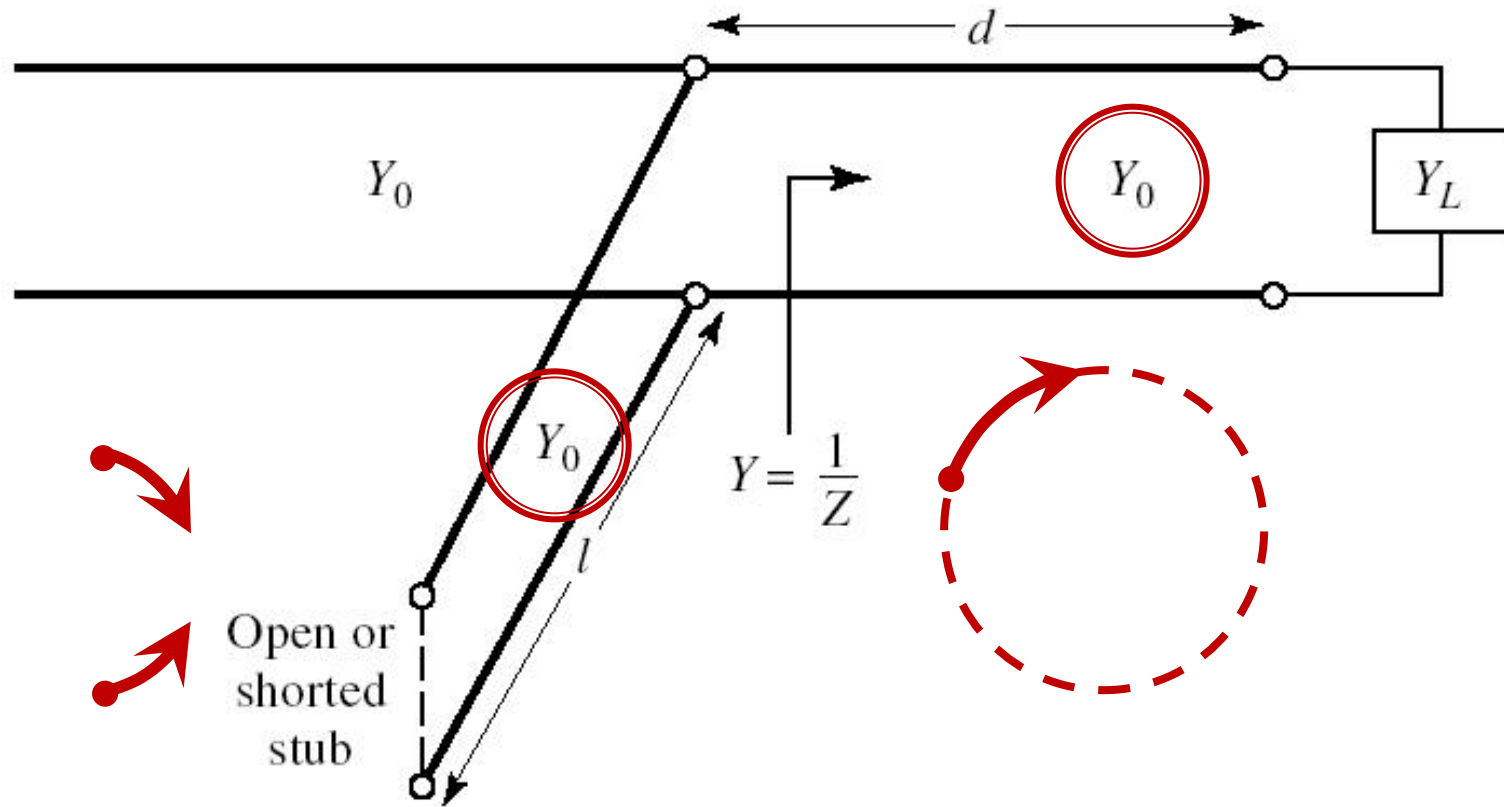


# **Solutii analitice**

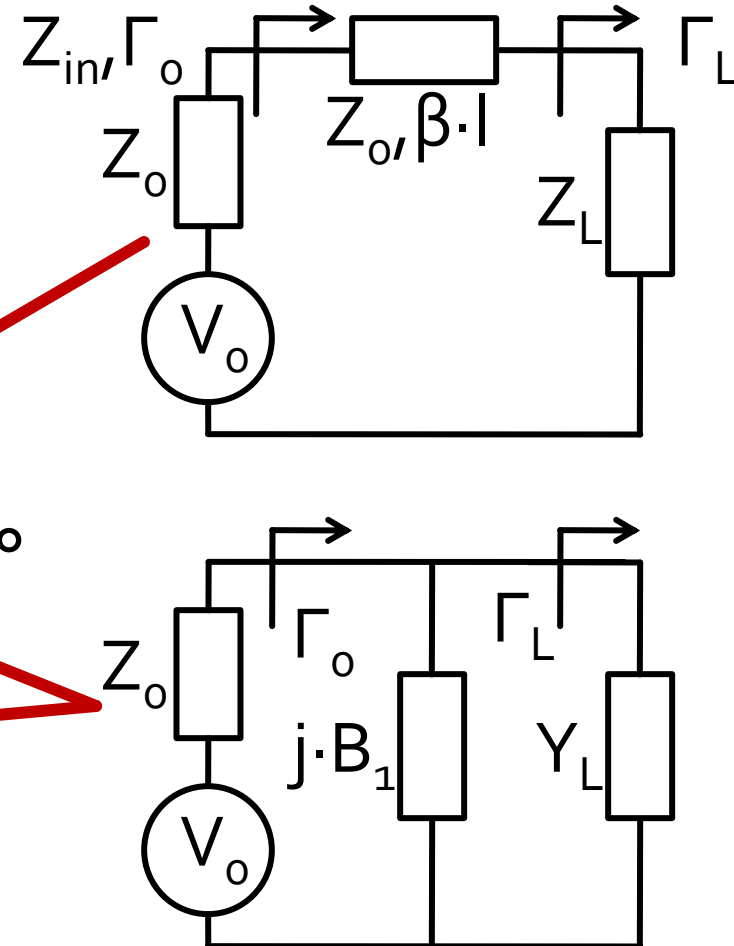
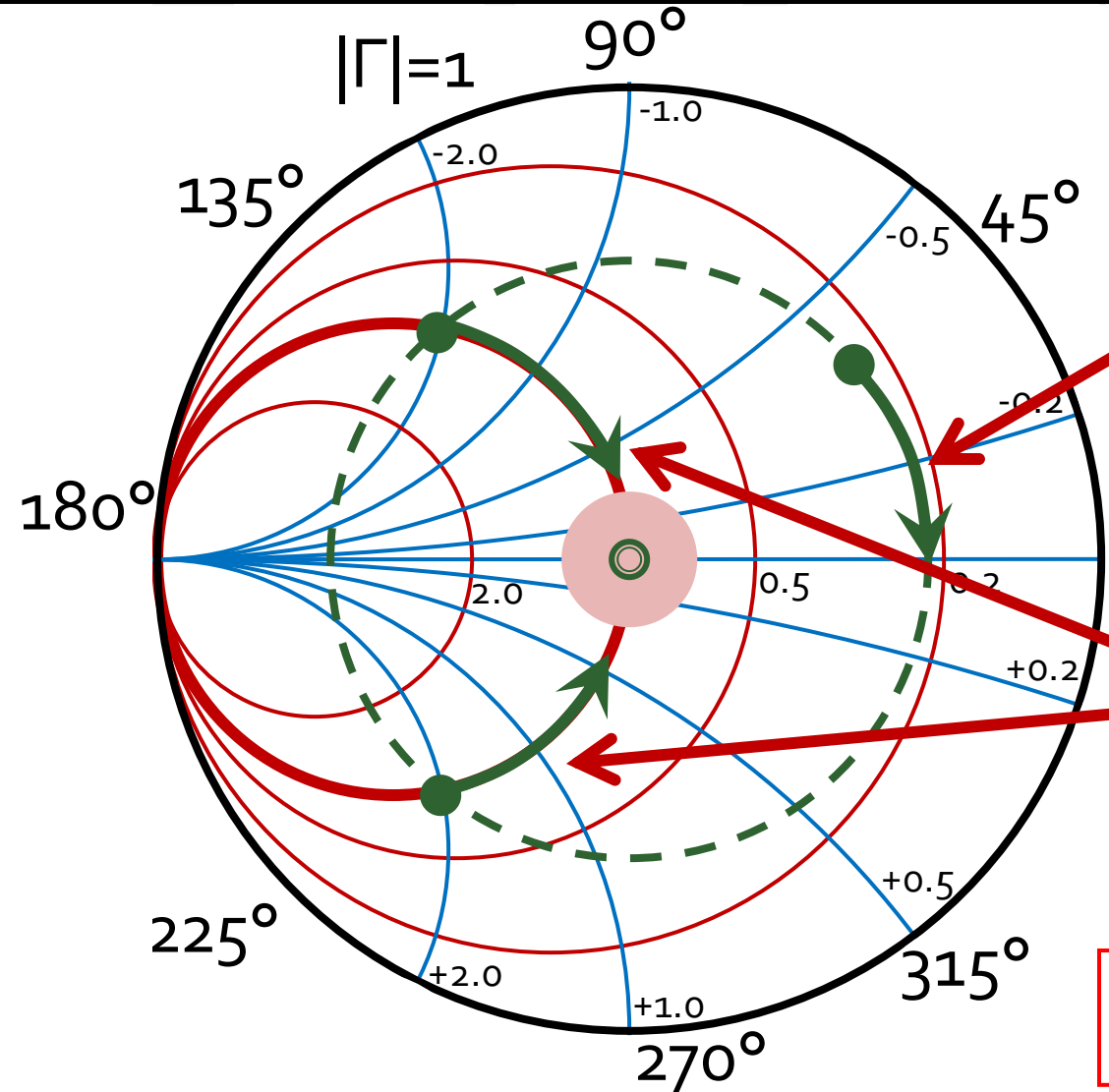
Examen / Proiect

# Caz 1, Shunt Stub

- Shunt Stub (secțiune de linie în paralel)



# Adaptare, linie serie + susceptanta in paralel



$$|\Gamma_{in}| = |\Gamma_L|$$

$$g_{in} = 1$$

# Calcul analitic (calcul efectiv)

$$\cos(\varphi + 2\theta) = -|\Gamma_s|$$

$$|\Gamma_s| = 0.593 \angle 46.85^\circ$$

$$\theta_{sp} = \beta \cdot l = \tan^{-1} \frac{\mp 2 \cdot |\Gamma_s|}{\sqrt{1 - |\Gamma_s|^2}}$$

$$|\Gamma_s| = 0.593; \quad \varphi = 46.85^\circ \quad \cos(\varphi + 2\theta) = -0.593 \Rightarrow (\varphi + 2\theta) = \pm 126.35^\circ$$

- **Semnul (+/-) solutiei alese la ecuatia liniei serie impune semnul solutiei utilizate la ecuatia stub-ului paralel**

- **solutia "cu +"** 

$$(46.85^\circ + 2\theta) = +126.35^\circ \quad \theta = +39.7^\circ \quad \text{Im } y_s = \frac{-2 \cdot |\Gamma_s|}{\sqrt{1 - |\Gamma_s|^2}} = -1.472$$
$$\theta_{sp} = \tan^{-1}(\text{Im } y_s) = -55.8^\circ \underline{(+180^\circ)} \rightarrow \theta_{sp} = 124.2^\circ$$

- **solutia "cu -"** 

$$(46.85^\circ + 2\theta) = -126.35^\circ \quad \theta = -86.6^\circ \underline{(+180^\circ)} \rightarrow \theta = 93.4^\circ$$

$$\text{Im } y_s = \frac{+2 \cdot |\Gamma_s|}{\sqrt{1 - |\Gamma_s|^2}} = +1.472 \quad \theta_{sp} = \tan^{-1}(\text{Im } y_s) = 55.8^\circ$$

# Calcul analitic (calcul efectiv)

$$(\varphi + 2\theta) = \begin{cases} +126.35^\circ \\ -126.35^\circ \end{cases} \quad \theta = \begin{cases} 39.7^\circ \\ 93.4^\circ \end{cases} \quad \text{Im}[y_s(\theta)] = \begin{cases} -1.472 \\ +1.472 \end{cases} \quad \theta_{sp} = \begin{cases} -55.8^\circ + 180^\circ = 124.2^\circ \\ +55.8^\circ \end{cases}$$

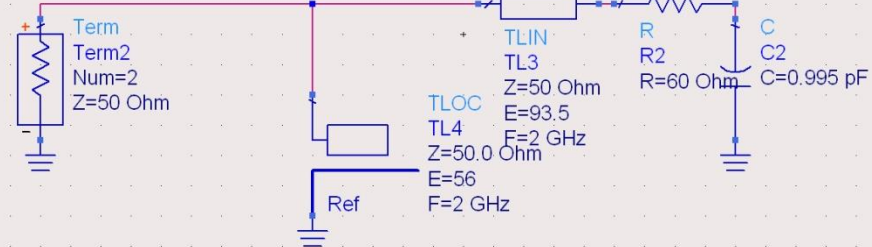
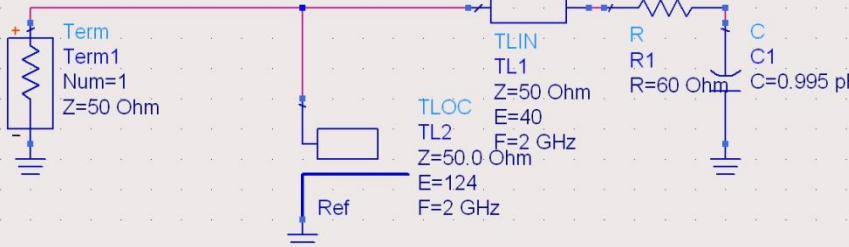
- Se alege **una** din cele doua solutii posibile
- **Semnul (+/-)** solutiei alese la **prima** ecuatie impune **semnul** solutiei utilizate la a **doua** ecuatie

$$l_1 = \frac{39.7^\circ}{360^\circ} \cdot \lambda = 0.110 \cdot \lambda$$

$$l_2 = \frac{124.2^\circ}{360^\circ} \cdot \lambda = 0.345 \cdot \lambda$$

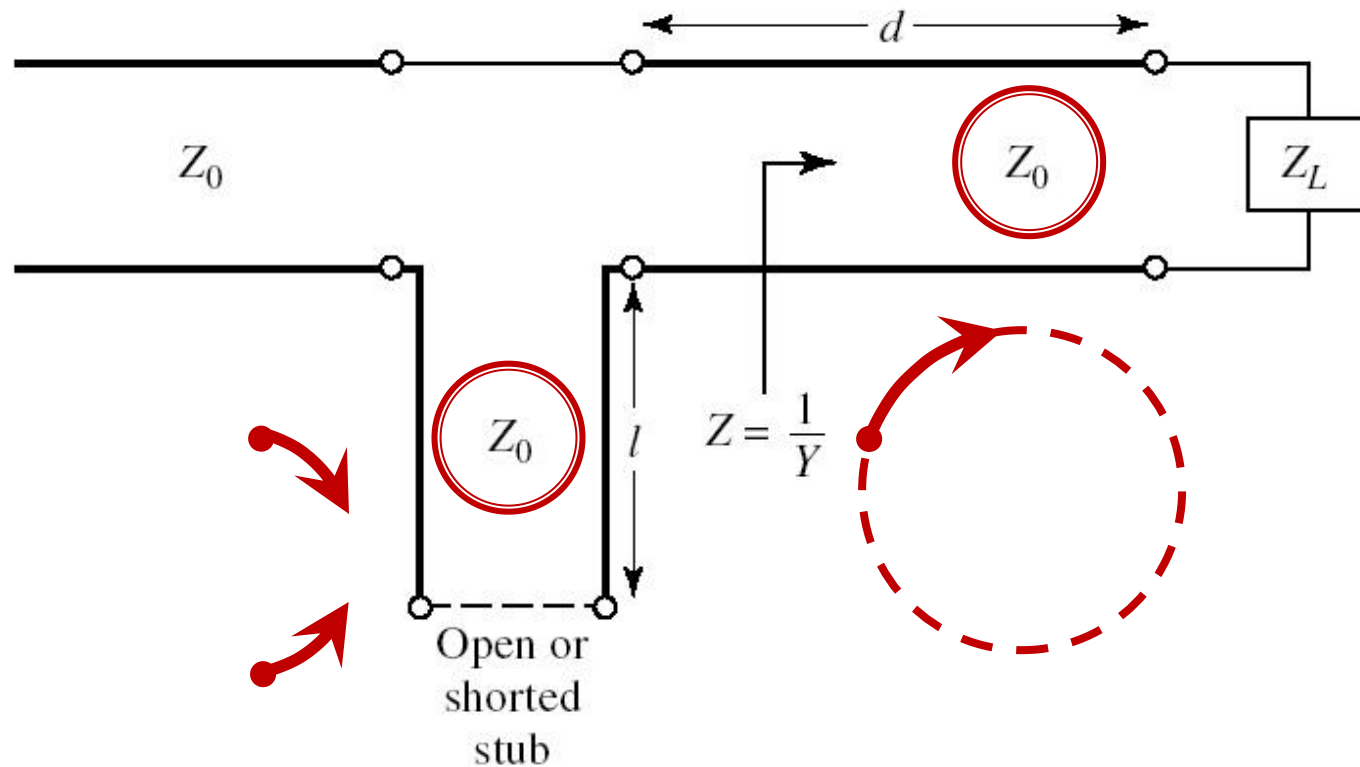
$$l_1 = \frac{93.4^\circ}{360^\circ} \cdot \lambda = 0.259 \cdot \lambda$$

$$l_2 = \frac{55.8^\circ}{360^\circ} \cdot \lambda = 0.155 \cdot \lambda$$

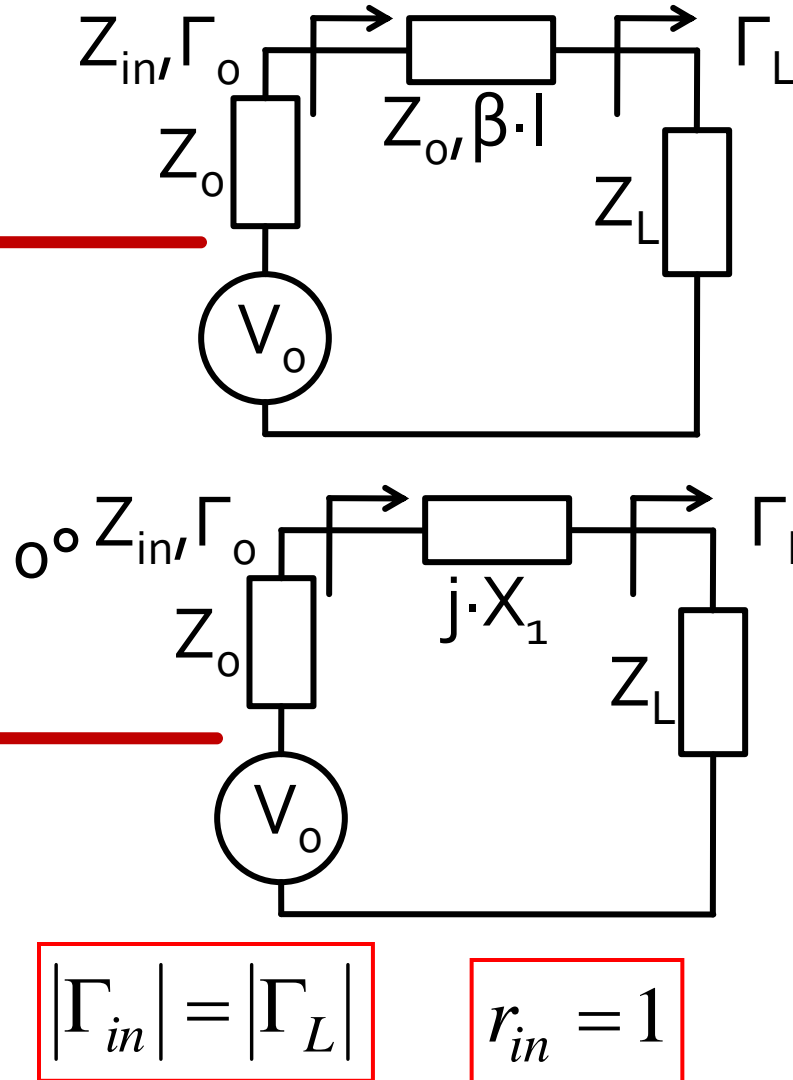
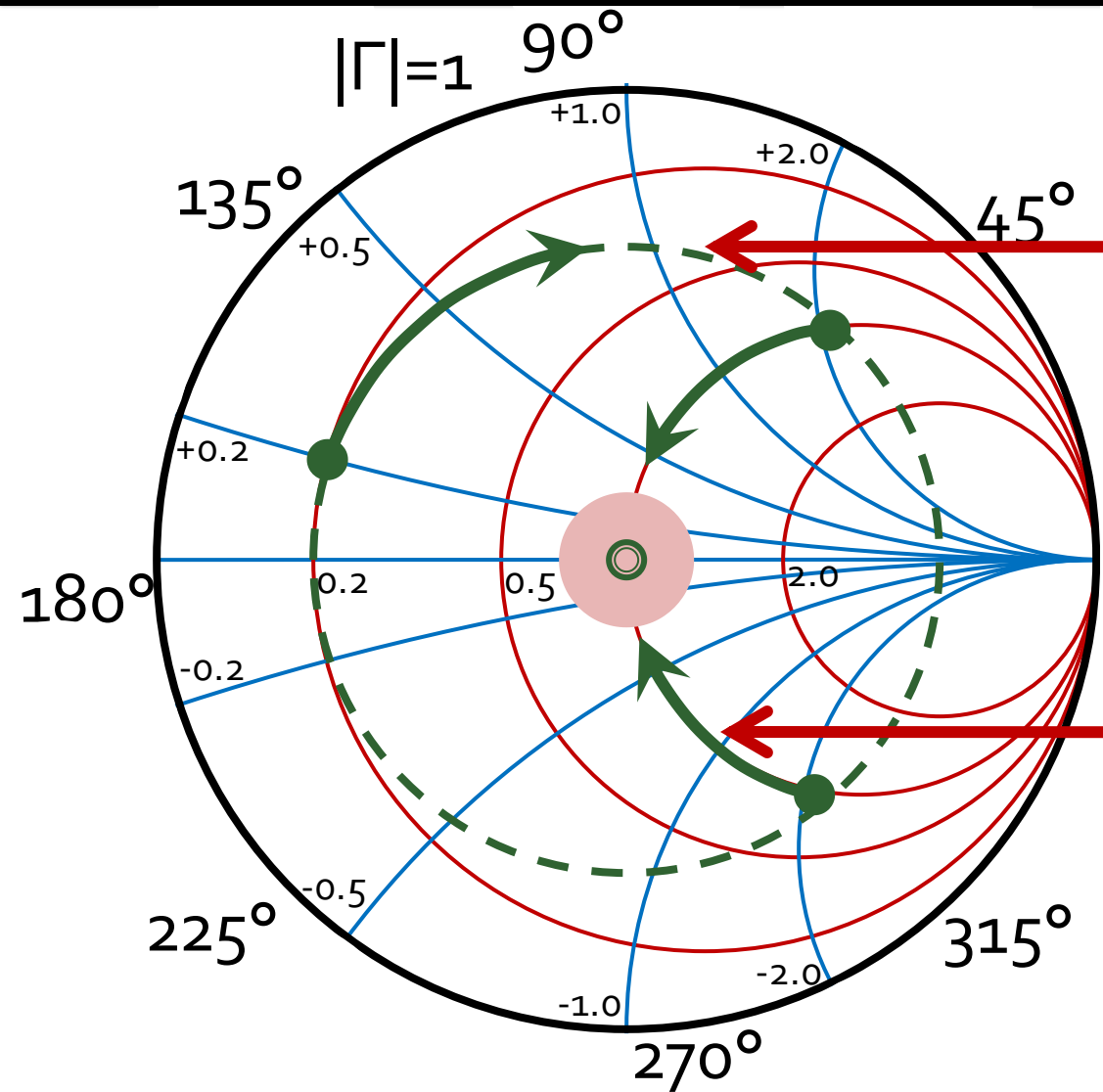


# Caz 2, Series Stub

- Series Stub (secțiune de linie în serie)
- tehnologic mai dificil de realizat la liniile monofilare (microstrip)



# Adaptare, linie serie + reactanta in serie



# Calcul analitic (calcul efectiv)

$$\cos(\varphi + 2\theta) = |\Gamma_s|$$

$$\theta_{ss} = \beta \cdot l = \cot^{-1} \frac{\mp 2 \cdot |\Gamma_s|}{\sqrt{1 - |\Gamma_s|^2}}$$

$$|\Gamma_s| = 0.555 \angle -29.92^\circ$$

$$|\Gamma_s| = 0.555; \quad \varphi = -29.92^\circ \quad \cos(\varphi + 2\theta) = 0.555 \Rightarrow (\varphi + 2\theta) = \pm 56.28^\circ$$

- **Semnul (+/-) solutiei alese la ecuatia liniei serie impune semnul solutiei utilizate la ecuatia stub-ului serie**

- **solutia "cu +"**

$$(-29.92^\circ + 2\theta) = +56.28^\circ \quad \theta = 43.1^\circ \quad \text{Im } z_s = \frac{+2 \cdot |\Gamma_s|}{\sqrt{1 - |\Gamma_s|^2}} = +1.335$$

$$\theta_{ss} = -\cot^{-1}(\text{Im } z_s) = -36.8^\circ \underline{(+180^\circ)} \rightarrow \theta_{ss} = 143.2^\circ$$

- **solutia "cu -"**

$$(-29.92^\circ + 2\theta) = -56.28^\circ \quad \theta = -13.2^\circ \underline{(+180^\circ)} \rightarrow \theta = 166.8^\circ$$

$$\text{Im } z_s = \frac{-2 \cdot |\Gamma_s|}{\sqrt{1 - |\Gamma_s|^2}} = -1.335$$

$$\theta_{ss} = -\cot^{-1}(\text{Im } z_s) = 36.8^\circ$$

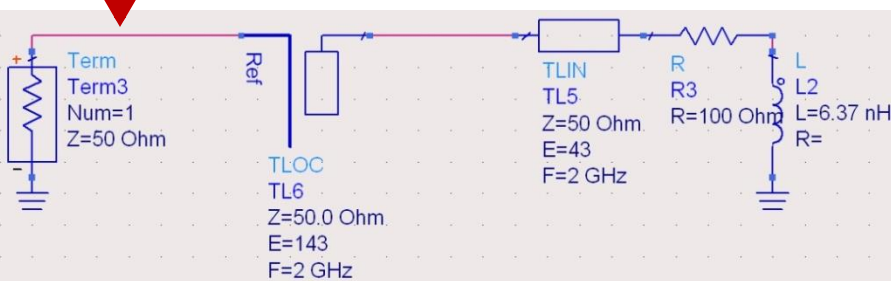
# Calcul analitic (calcul efectiv)

$$(\varphi + 2\theta) = \begin{cases} +56.28^\circ \\ -56.28^\circ \end{cases} \quad \theta = \begin{cases} 43.1^\circ \\ 166.8^\circ \end{cases} \quad \text{Im}[z_s(\theta)] = \begin{cases} +1.335 \\ -1.335 \end{cases} \quad \theta_{ss} = \begin{cases} -36.8^\circ + 180^\circ = 143.2^\circ \\ +36.8^\circ \end{cases}$$

- Se alege **una** din cele doua solutii posibile
- **Semnul (+/-)** solutiei alese la **prima** ecuatie impune **semnul** solutiei utilizate la a **doua** ecuatie

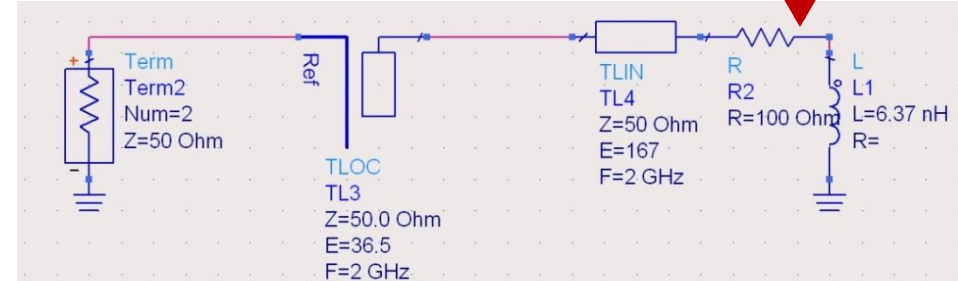
$$l_1 = \frac{43.1^\circ}{360^\circ} \cdot \lambda = 0.120 \cdot \lambda$$

$$l_2 = \frac{143.2^\circ}{360^\circ} \cdot \lambda = 0.398 \cdot \lambda$$



$$l_1 = \frac{166.8^\circ}{360^\circ} \cdot \lambda = 0.463 \cdot \lambda$$

$$l_2 = \frac{36.8^\circ}{360^\circ} \cdot \lambda = 0.102 \cdot \lambda$$



# Stub, observatii

- adunarea si scadere de **180°** ( $\lambda/2$ ) nu schimba rezultatul (rotatie completa in jurul diagramei)

$$E = \beta \cdot l = \pi = 180^\circ \quad l = k \cdot \frac{\lambda}{2}, \forall k \in \mathbf{N}$$

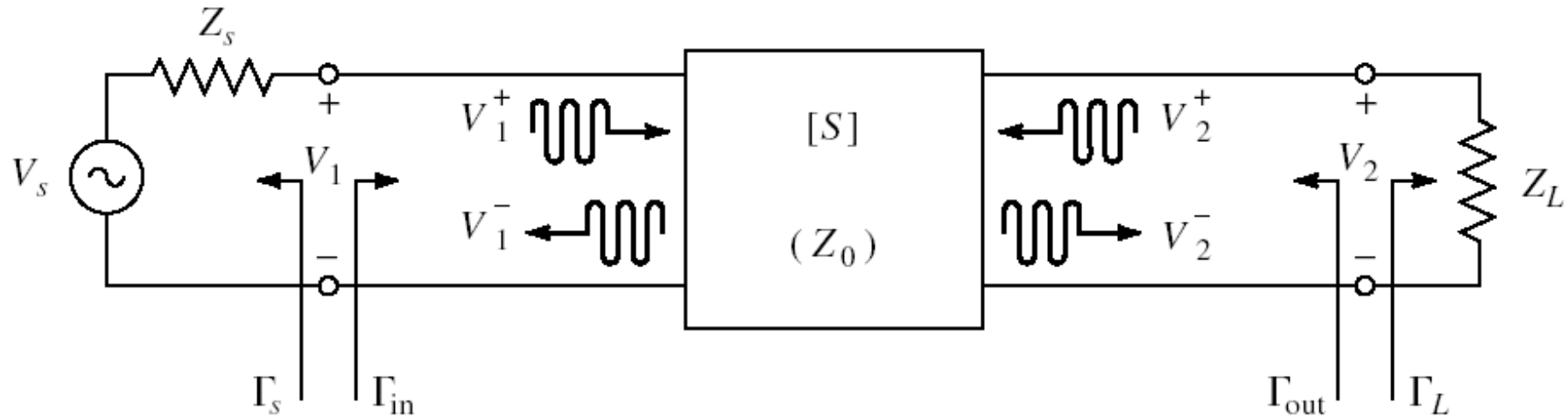
- pentru linii de “lungime” / “lungime electrica” **negative** se adauga  $\lambda/2$  /  $180^\circ$  pentru a avea valoare pozitiva (realizabila fizic)
- o adaugare sau scadere de **90°** ( $\lambda/4$ ) transforma impedanta stub-ului:

$$Z_{in,sc} = j \cdot Z_0 \cdot \tan \beta \cdot l \iff Z_{in,g} = -j \cdot Z_0 \cdot \cot \beta \cdot l$$

- pentru stub se poate adauga/scadea  $90^\circ$  ( $\lambda/4$ ) simultan cu schimbare **gol**  $\Leftrightarrow$  **scurtcircuit**

# **Amplificatoare de microunde**

# Cuadripol Amplificator (diport)



- Caracterizare cu parametri S
- Normalizati la  $Z_0$  (implicit  $50\Omega$ )
- Catalogage: parametri S pentru anumite polarizari

# Catalogage

**NE46100**

**VCE = 5 V, Ic = 50 mA**

FREQUENCY (MHz)	S <sub>11</sub>		S <sub>21</sub>		S <sub>12</sub>		S <sub>22</sub>		K	MAG <sup>2</sup> (dB)
	MAG	ANG	MAG	ANG	MAG	ANG	MAG	ANG		
100	0.778	-137	26.776	114	0.028	30	0.555	-102	0.16	29.8
200	0.815	-159	14.407	100	0.035	29	0.434	-135	0.36	26.2
500	0.826	-177	5.855	84	0.040	38	0.400	-162	0.75	21.7
800	0.827	176	3.682	76	0.052	43	0.402	-169	0.91	18.5
1000	0.826	173	2.963	71	0.058	47	0.405	-172	1.02	16.3
1200	0.825	170	2.441	66	0.064	47	0.412	-174	1.08	14.0
1400	0.820	167	2.111	61	0.069	47	0.413	-176	1.17	12.4
1600	0.828	165	1.863	57	0.078	54	0.426	-177	1.15	11.4
1800	0.827	162	1.671	53	0.087	50	0.432	-178	1.14	10.6
2000	0.828	159	1.484	49	0.093	50	0.431	-180	1.17	9.5
2500	0.822	153	1.218	39	0.11	48	0.462	177	1.18	7.8
3000	0.818	148	1.010	30	0.135	46	0.490	174	1.16	6.3
3500	0.824	142	0.876	21	0.147	44	0.507	170	1.16	5.3
4000	0.812	137	0.762	13	0.168	38	0.535	167	1.14	4.3

**VCE = 5 V, Ic = 100 mA**

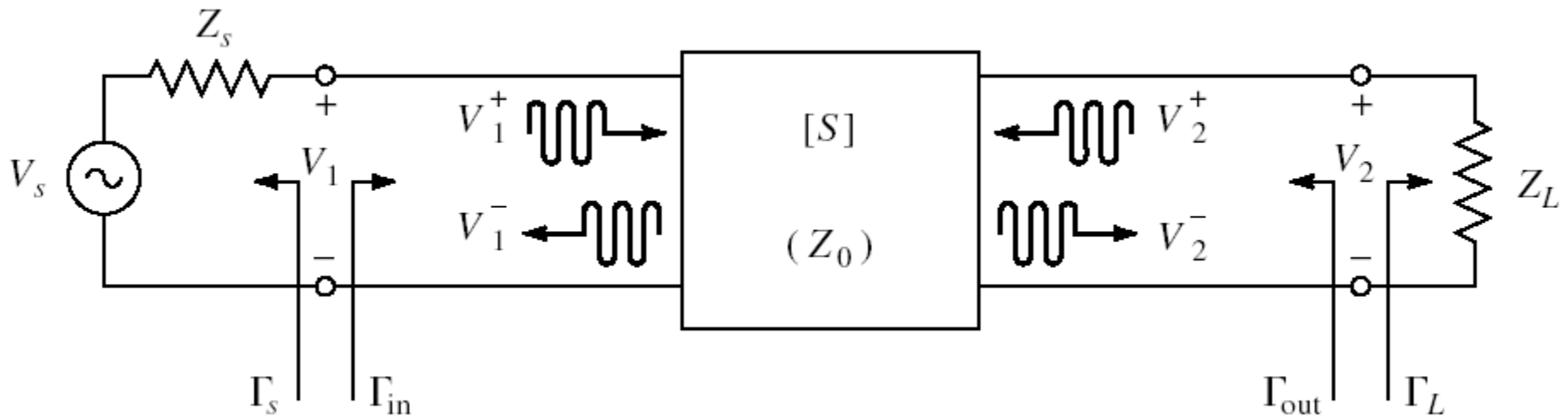
100	0.778	-144	27.669	111	0.027	35	0.523	-114	0.27	30.2
200	0.820	-164	14.559	97	0.029	29	0.445	-144	0.42	27.0
500	0.832	-179	5.885	84	0.035	38	0.435	-166	0.81	22.2
800	0.833	175	3.691	76	0.048	45	0.435	-173	0.95	18.8
1000	0.831	172	2.980	71	0.056	51	0.437	-176	1.05	16.0
1200	0.836	169	2.464	67	0.061	52	0.432	-178	1.11	14.0
1400	0.829	166	2.121	61	0.072	53	0.447	-180	1.12	12.6
1600	0.831	164	1.867	58	0.080	54	0.445	179	1.14	11.4

# S<sub>2</sub>P - Touchstone

## ■ Fisiere format Touchstone (\*.s2p)

```
! SIEMENS Small Signal Semiconductors
! VDS = 3.5 V  ID = 15 mA
# GHz S MA R 50
! f    S11      S21      S12      S22
! GHz  MAG  ANG  MAG  ANG  MAG  ANG  MAG  ANG
1.000 0.9800 -18.0  2.230 157.0  0.0240  74.0  0.6900 -15.0
2.000 0.9500 -39.0  2.220 136.0  0.0450  57.0  0.6600 -30.0
3.000 0.8900 -64.0  2.210 110.0  0.0680  40.0  0.6100 -45.0
4.000 0.8200 -89.0  2.230  86.0  0.0850  23.0  0.5600 -62.0
5.000 0.7400 -115.0 2.190  61.0  0.0990  7.0   0.4900 -80.0
6.000 0.6500 -142.0 2.110  36.0  0.1070 -10.0  0.4100 -98.0
!
! f    Fmin  Gammaopt rn/50
! GHz  dB   MAG  ANG  -
2.000  1.00 0.72 27  0.84
4.000  1.40 0.64 61  0.58
```

# Dipole amplifier

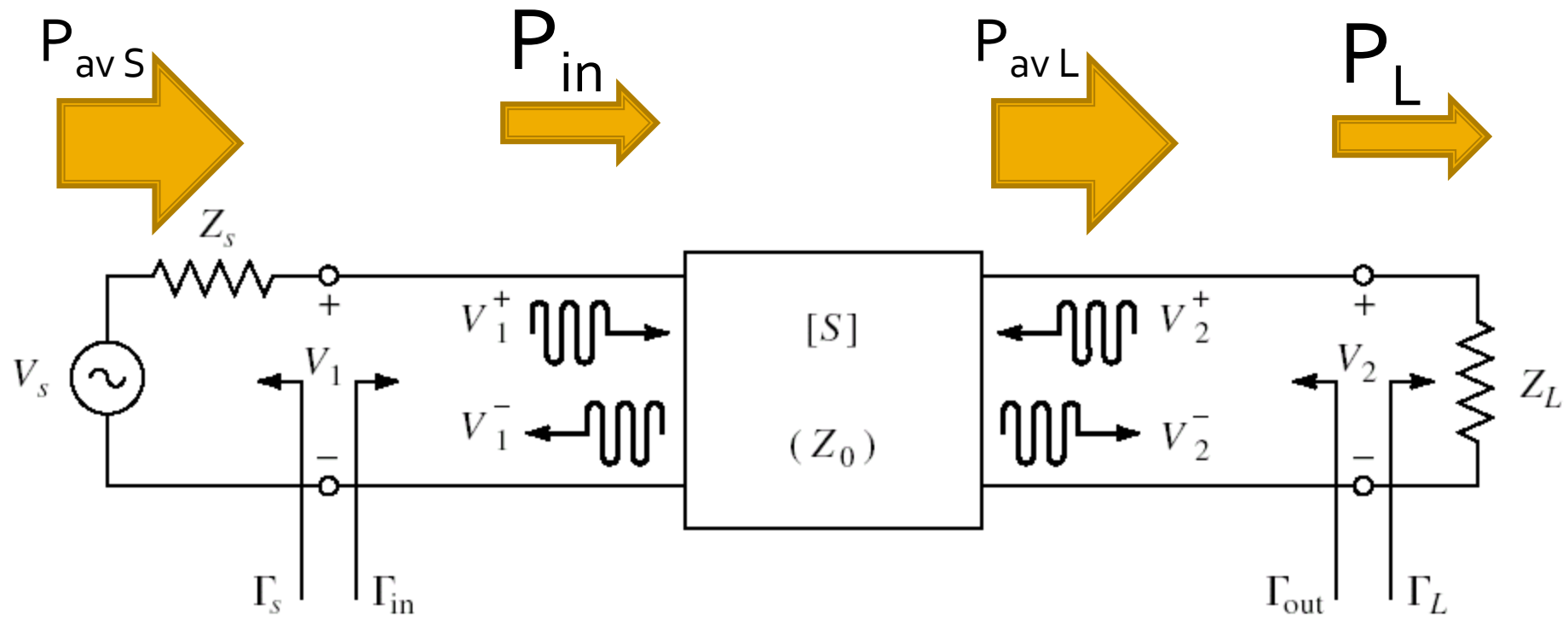


$$\Gamma_{in} = \frac{V_1^-}{V_1^+} = S_{11} + \frac{S_{12} \cdot S_{21} \cdot \Gamma_L}{1 - S_{22} \cdot \Gamma_L}$$

$$\Gamma_{out} = \frac{V_2^-}{V_2^+} = S_{22} + \frac{S_{12} \cdot S_{21} \cdot \Gamma_S}{1 - S_{11} \cdot \Gamma_S}$$

# Puteri / Adaptare

- Doua porturi în care adaptarea influențează transferul de putere



# Castig de putere

- Castigul de putere de **transfer** (transducer power gain)

$$G_T = \frac{P_L}{P_{av S}} = \frac{|S_{21}|^2 \cdot (1 - |\Gamma_S|^2) \cdot (1 - |\Gamma_L|^2)}{|1 - \Gamma_S \cdot \Gamma_{in}|^2 \cdot |1 - S_{22} \cdot \Gamma_L|^2}$$
$$\Gamma_{in} = \Gamma_{in}(\Gamma_L)$$

- Castigul de putere de **transfer unilateral**

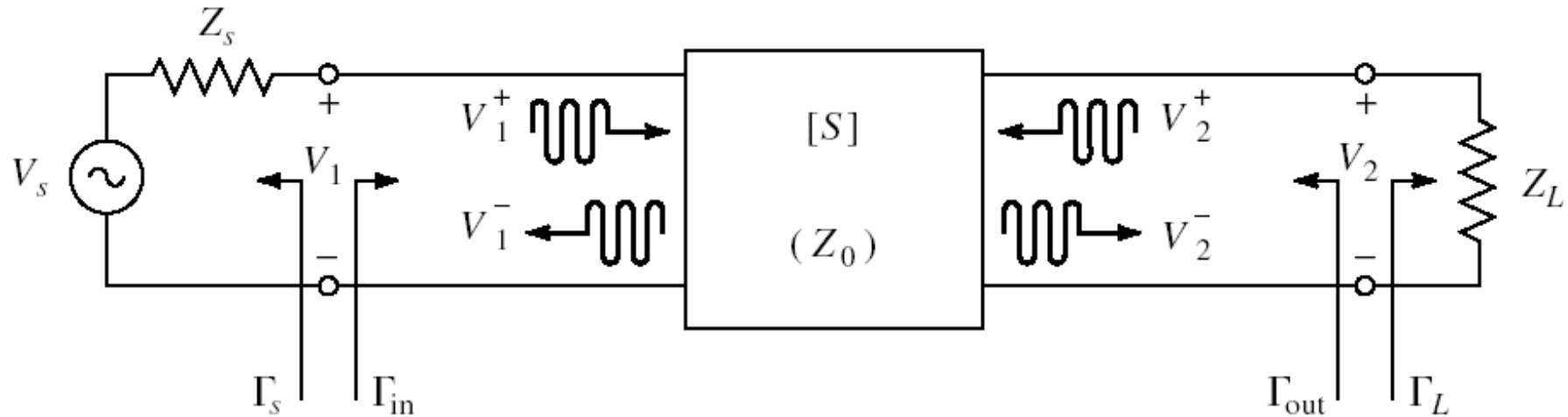
$$G_{TU} = |S_{21}|^2 \cdot \frac{1 - |\Gamma_S|^2}{|1 - S_{11} \cdot \Gamma_S|^2} \cdot \frac{1 - |\Gamma_L|^2}{|1 - S_{22} \cdot \Gamma_L|^2}$$



$$S_{12} \approx 0 \quad \Gamma_{in} = S_{11}$$

Permite tratarea separata  
a intrarii si iesirii

# Cuadripol Amplifier

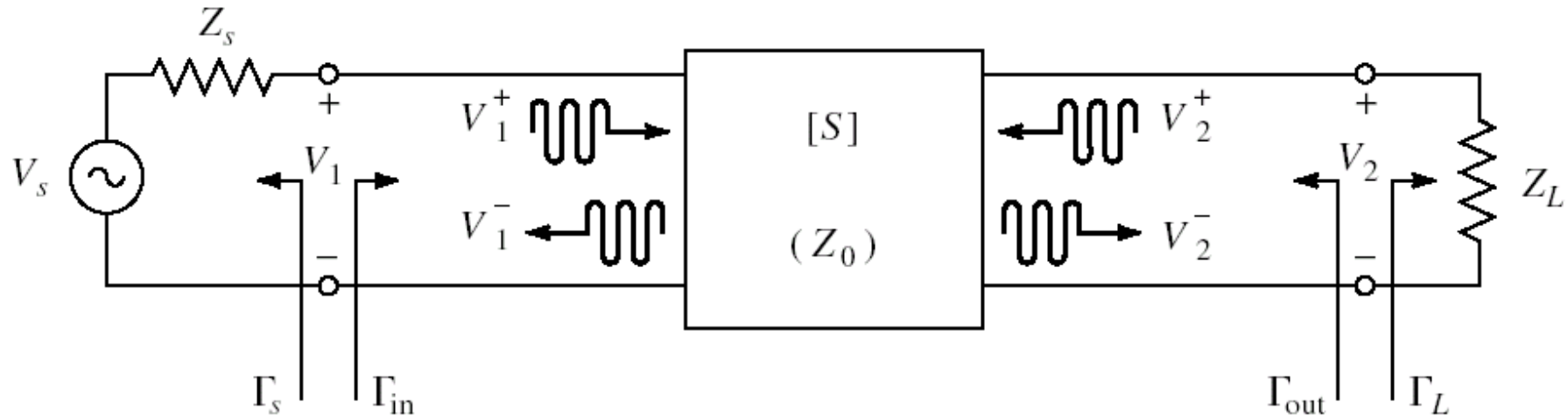


- marimi care intereseaza:
  - stabilitate
  - castig de putere
  - zgomot (uneori – semnal mic)
  - liniaritate (uneori – semnal mare)

Amplificatoare de microunde

**Stabilitate**

# Cuadripol Amplifier

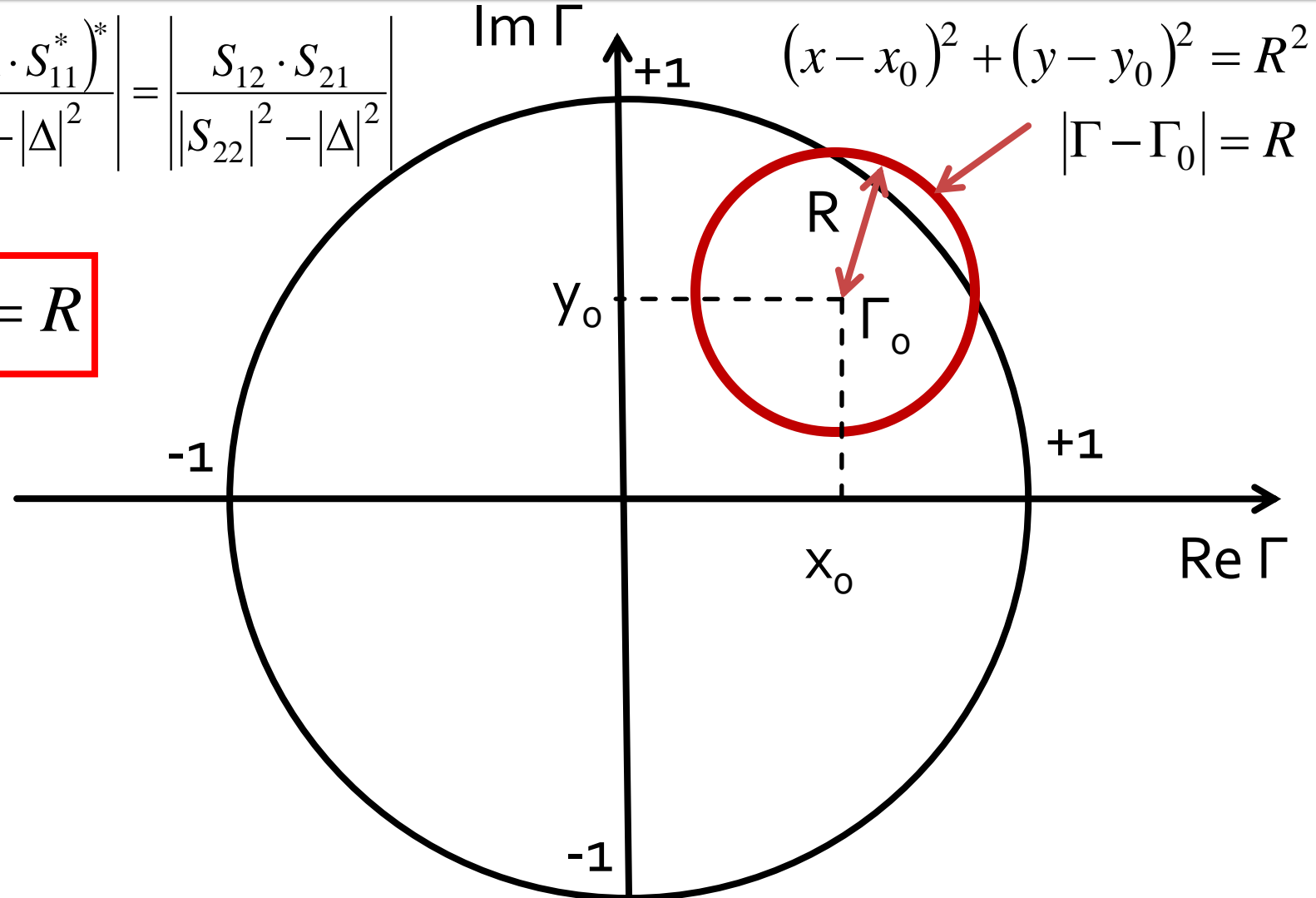


- marimi care intereseaza:
  - **stabilitate**
  - castig de putere
  - zgomot (uneori – semnal mic)
  - liniaritate (uneori – semnal mare)

# Stabilitate

$$\left| \Gamma_L - \frac{(S_{22} - \Delta \cdot S_{11}^*)^*}{|S_{22}|^2 - |\Delta|^2} \right| = \left| \frac{S_{12} \cdot S_{21}}{|S_{22}|^2 - |\Delta|^2} \right|$$

$$|\Gamma - \Gamma_0| = R$$



# Cerc de stabilitate la ieșire (CSOUT)

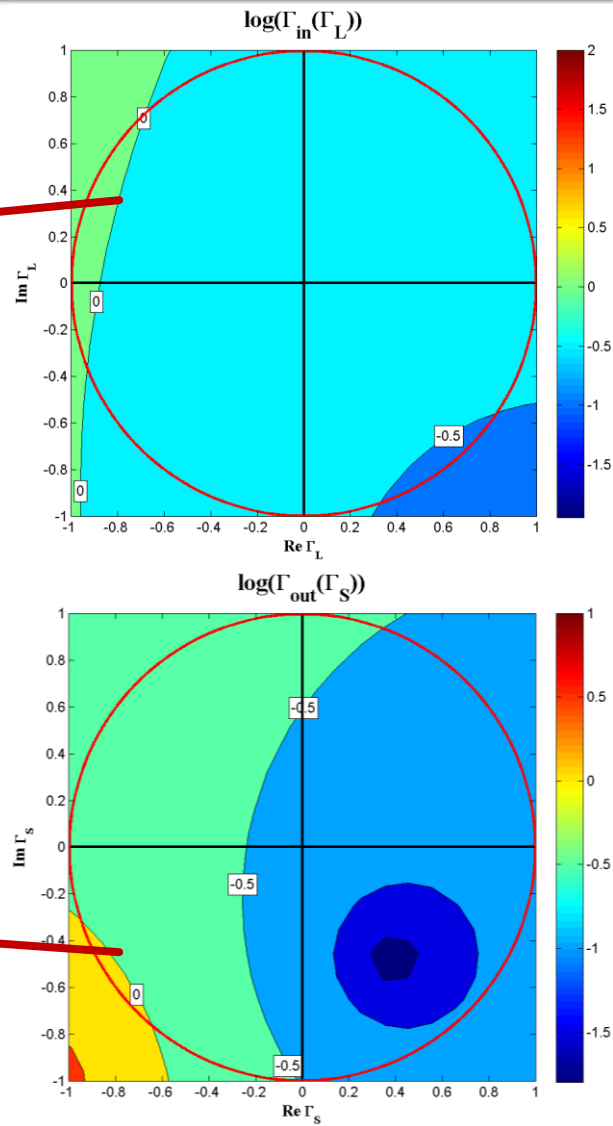
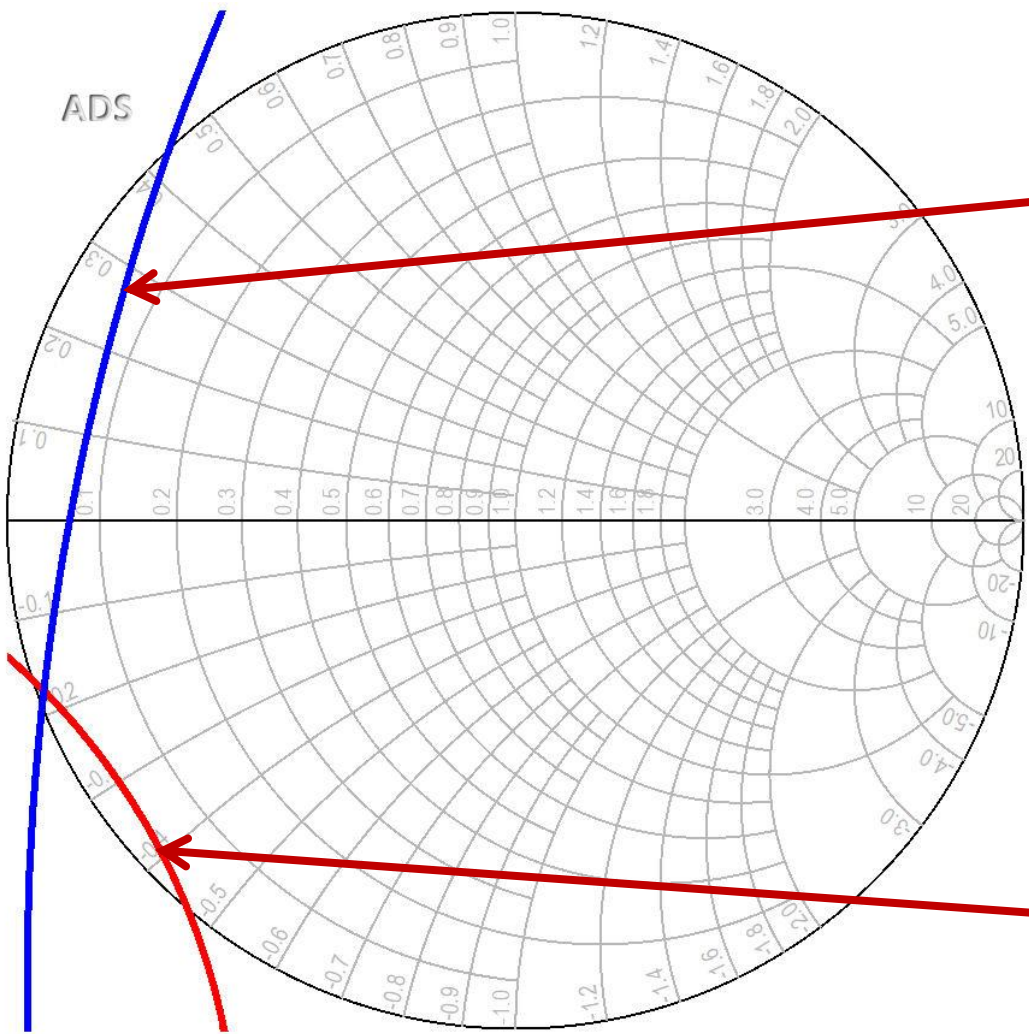
$$\left| \Gamma_L - \frac{(S_{22} - \Delta \cdot S_{11}^*)^*}{|S_{22}|^2 - |\Delta|^2} \right| = \left| \frac{S_{12} \cdot S_{21}}{|S_{22}|^2 - |\Delta|^2} \right| \quad |\Gamma_L - C_L| = R_L$$

- Ecuatia unui cerc, care reprezinta locul geometric al punctelor  $\Gamma_L$  pentru **limita** de stabilitate
- Cercul se numeste **cerc de stabilitate la ieșire** ( $\Gamma_L$ )

$$C_L = \frac{(S_{22} - \Delta \cdot S_{11}^*)^*}{|S_{22}|^2 - |\Delta|^2} \quad R_L = \frac{|S_{12} \cdot S_{21}|}{|S_{22}|^2 - |\Delta|^2}$$

# CSIN, CSOUT

CSOUT  
CSIN



# Conditia Rollet

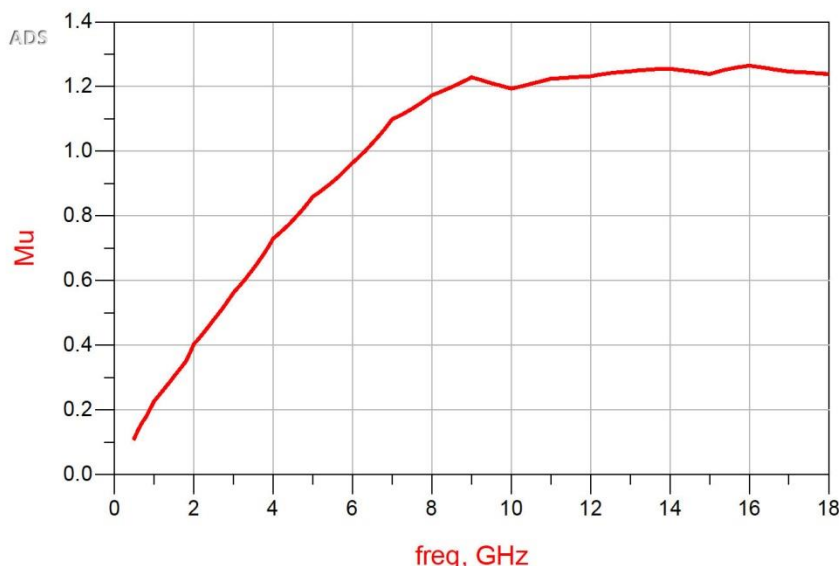
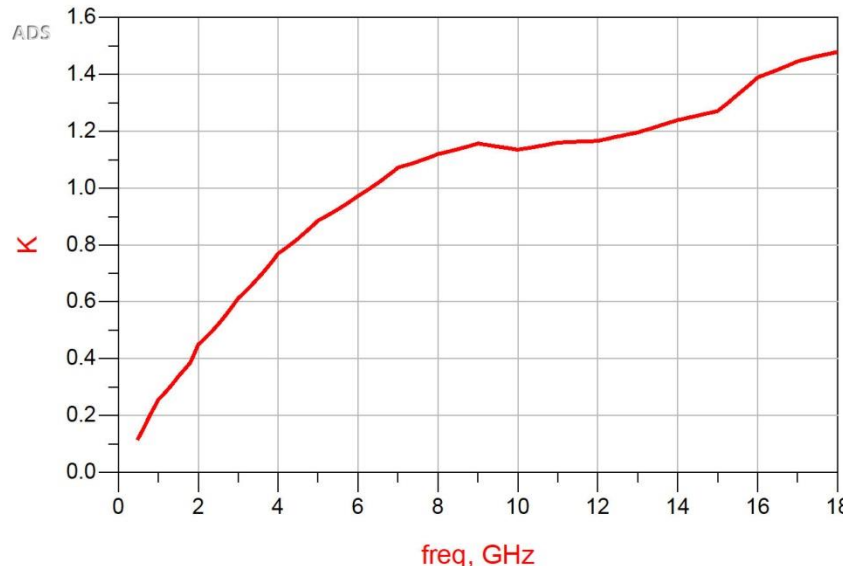
$$K = \frac{1 - |S_{11}|^2 - |S_{22}|^2 + |\Delta|^2}{2 \cdot |S_{12} \cdot S_{21}|}$$
$$\Delta = S_{11} \cdot S_{22} - S_{12} \cdot S_{21}$$

- Diportul este **neconditionat stabil** daca:
  - Sunt indeplinite simultan conditiile
    - $K > 1$
    - $|\Delta| < 1$
  - Sunt valabile si conditiile implice
    - $|S_{11}| < 1$
    - $|S_{22}| < 1$

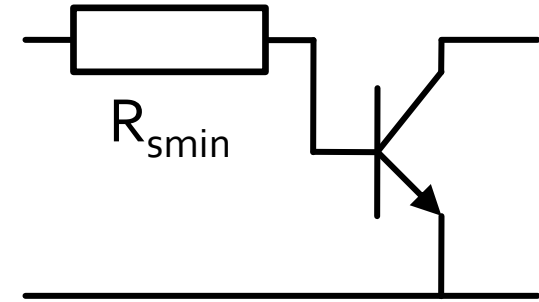
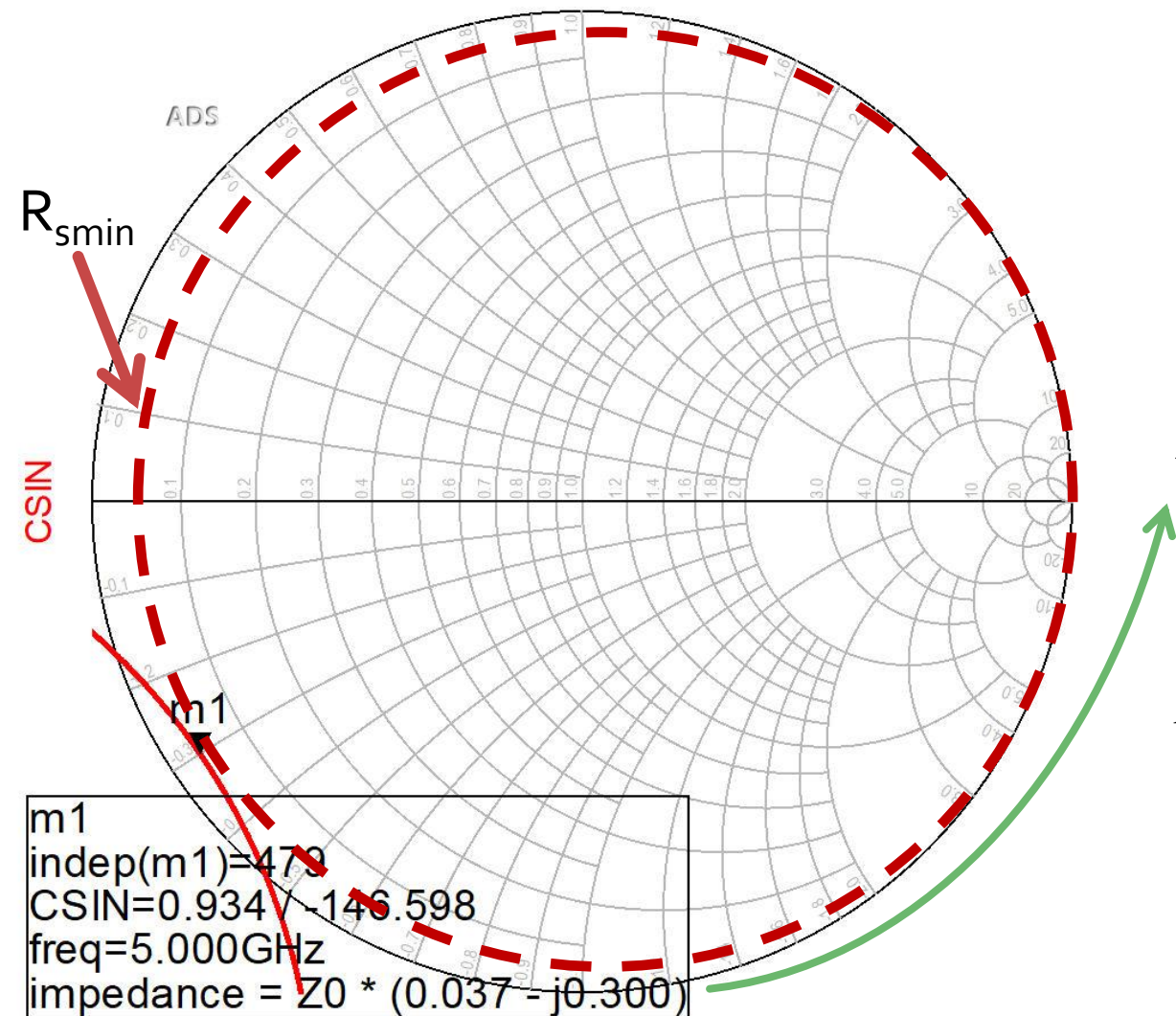
$$K = \frac{1 - |S_{11}|^2 - |S_{22}|^2 + |\Delta|^2}{2 \cdot |S_{12} \cdot S_{21}|} > 1$$
$$|\Delta| = |S_{11} \cdot S_{22} - S_{12} \cdot S_{21}| < 1$$

# Stabilitate

- ATF-34143 at  $V_{ds}=3V$   $I_d=20mA$ .
- @ $0.5 \div 18GHz$
- Neconditionat stabil pentru  $f > 6.31GHz$



# Rezistenta serie la intrare

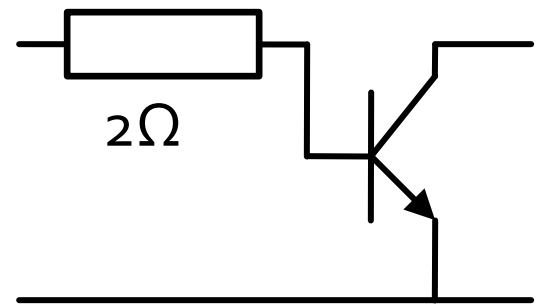
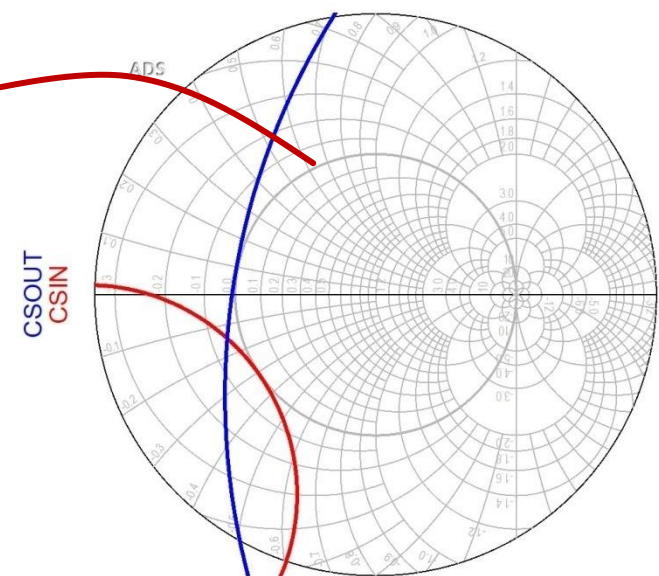
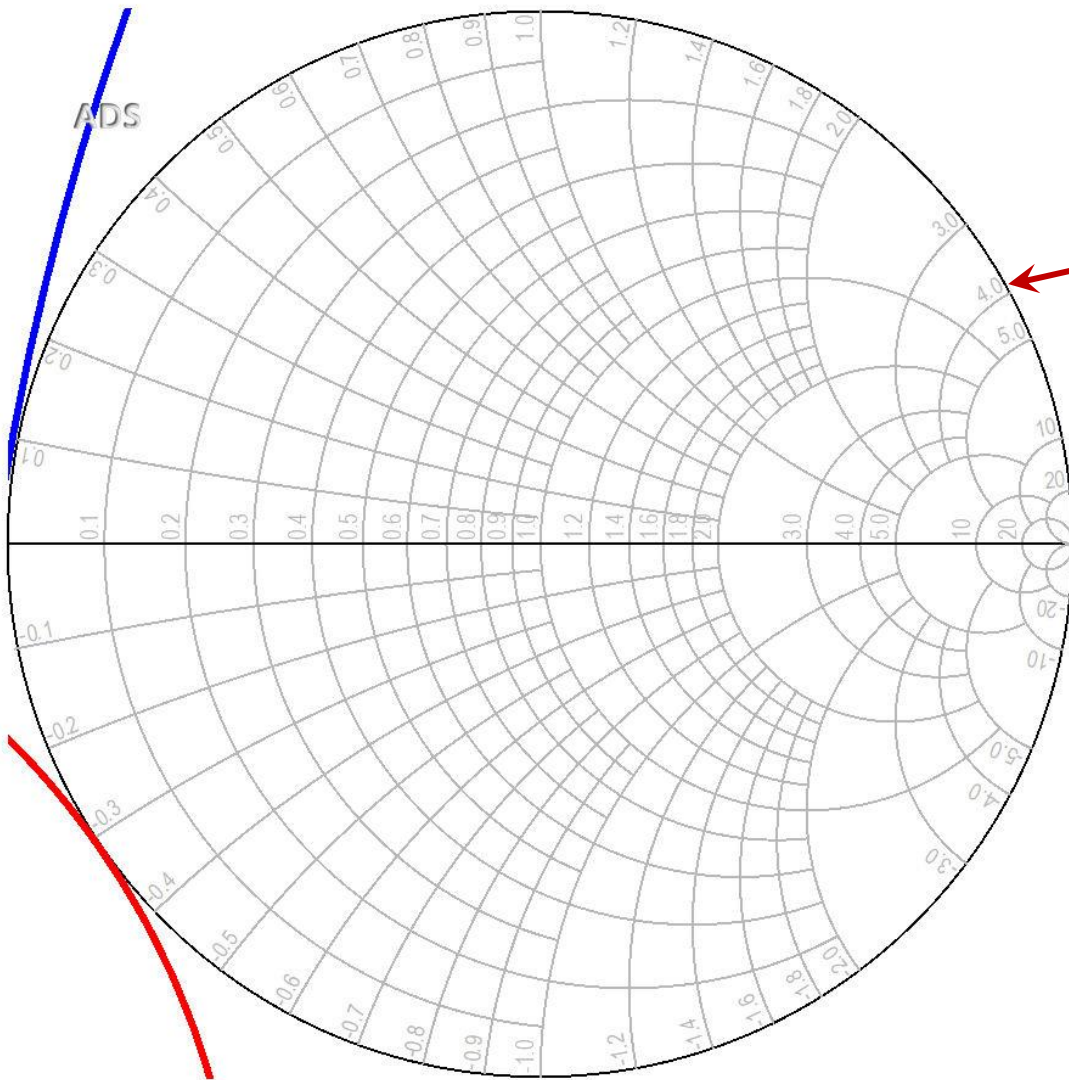


$$z = 0.037 - j \cdot 0.3$$

$$R_{smin} = 0.037 \cdot 50\Omega = 1.85\Omega$$

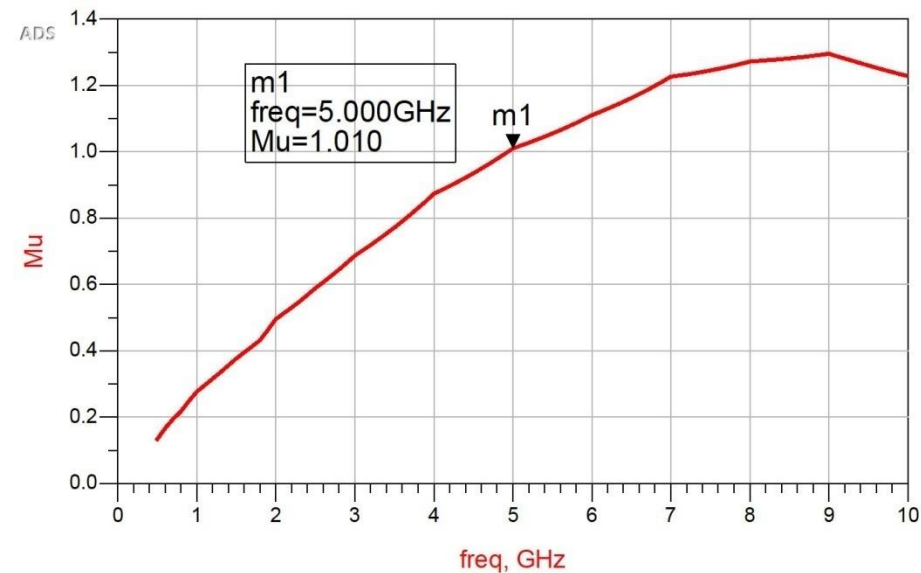
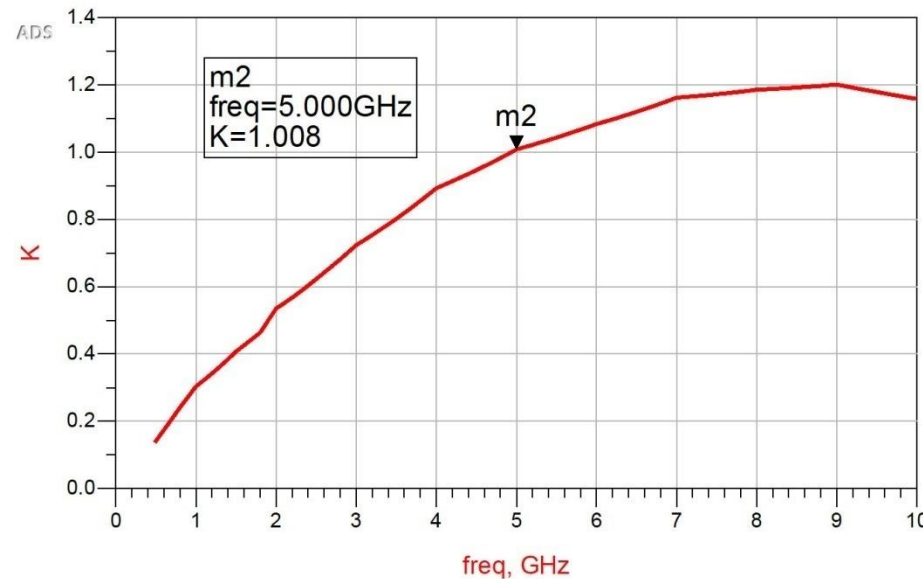
# ADS, $R_s = 2\Omega$

CSOUT  
CSIN

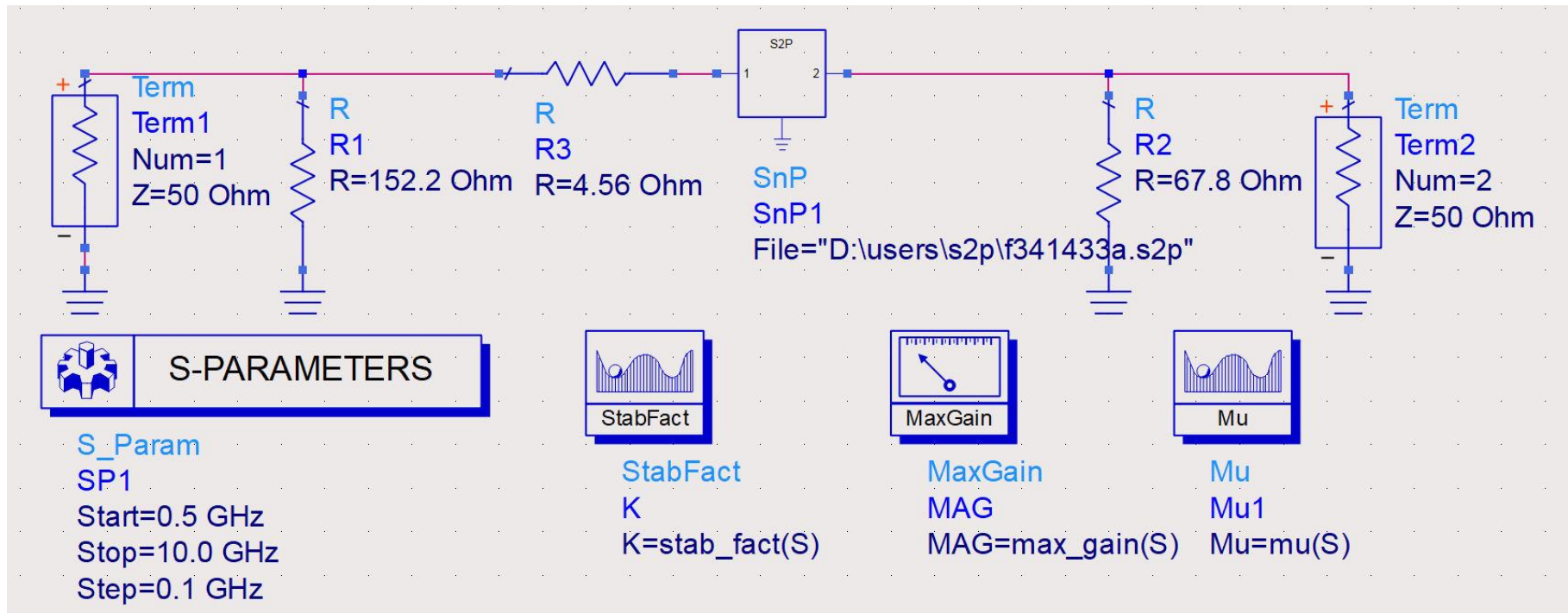


# Rezistenta serie la intrare

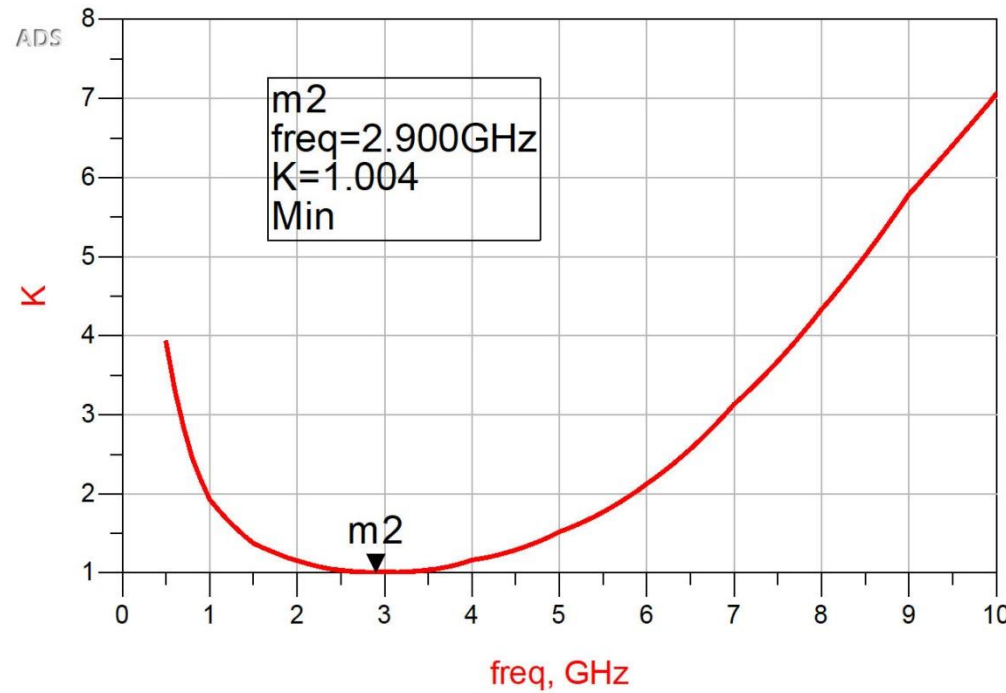
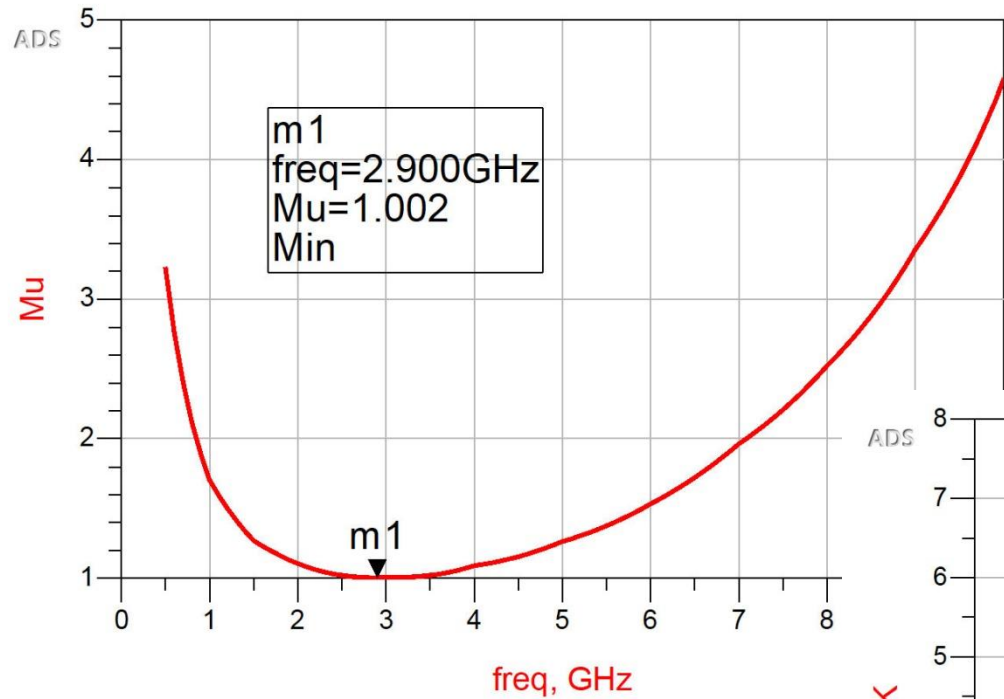
- $R_s = 2\Omega$
- $K = 1.008$ , MAG = 13.694dB @ 5GHz
  - fara stabilizare,  $K = 0.886$ , MAG = 14.248dB @ 5GHz



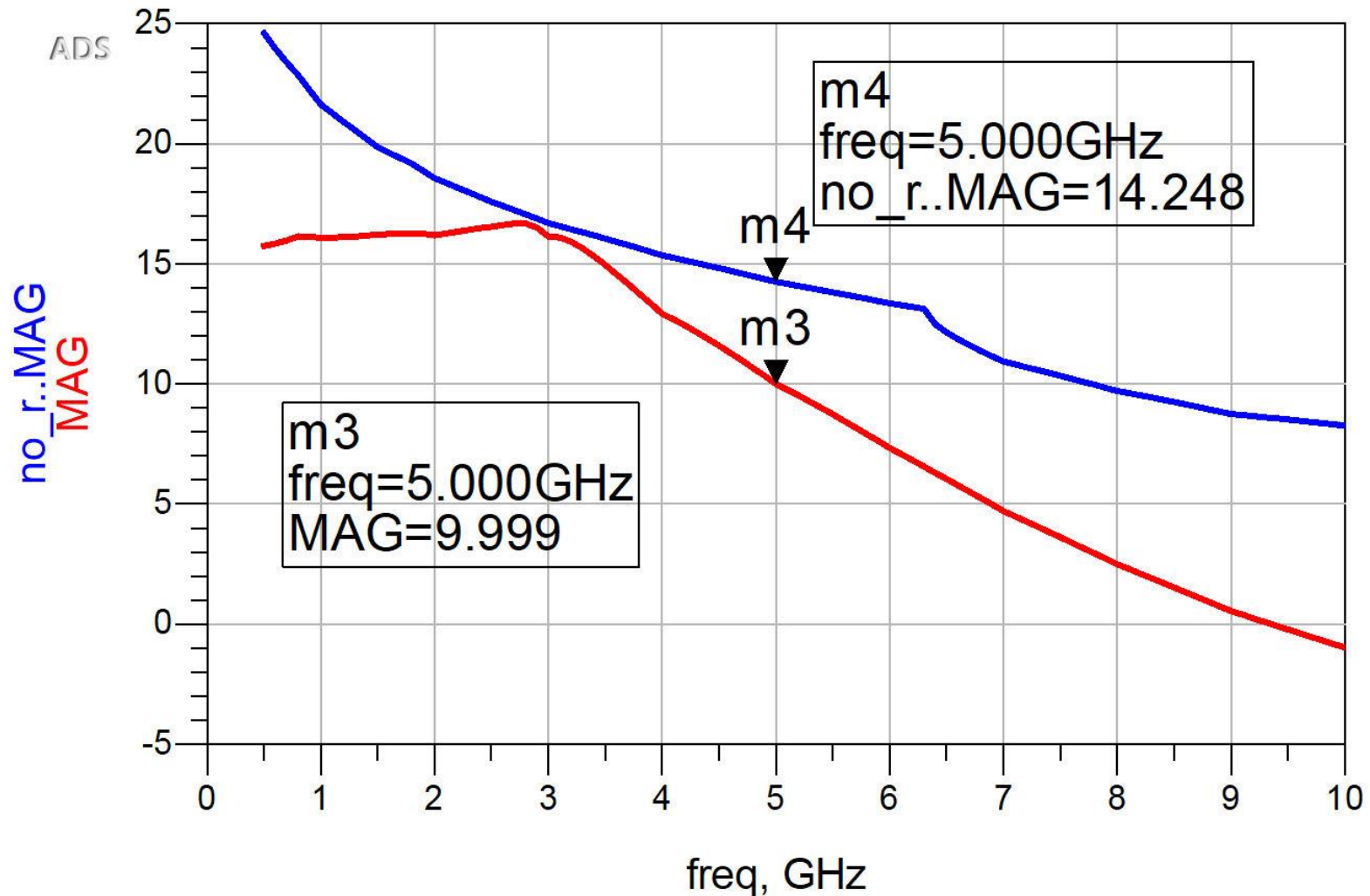
# Stabilizarea unui diport



# Stabilizarea unui dipoz



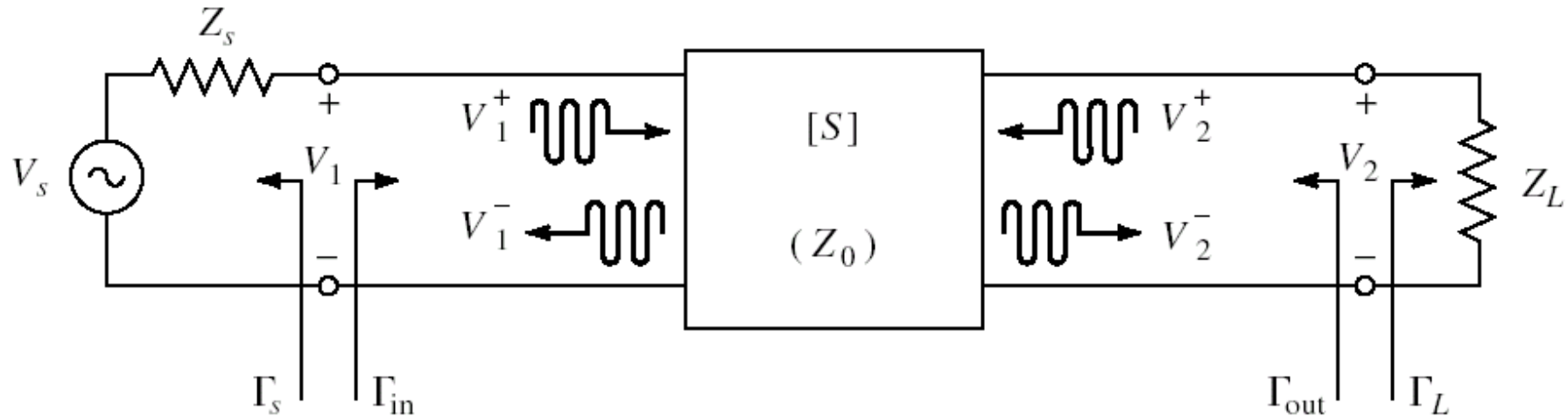
# Stabilizarea unui dipoz



Amplificatoare de microunde

# **Castigul amplificatoarelor de microunde**

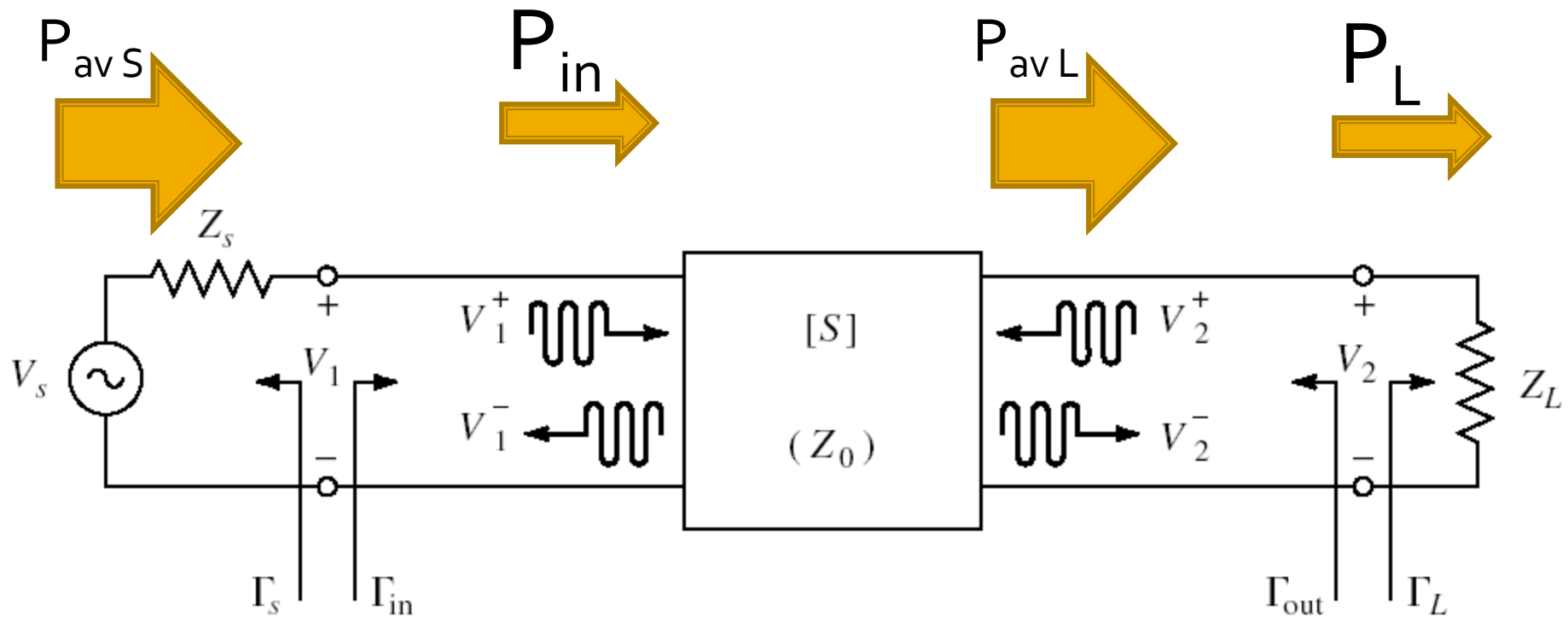
# Cuadripol Amplifier



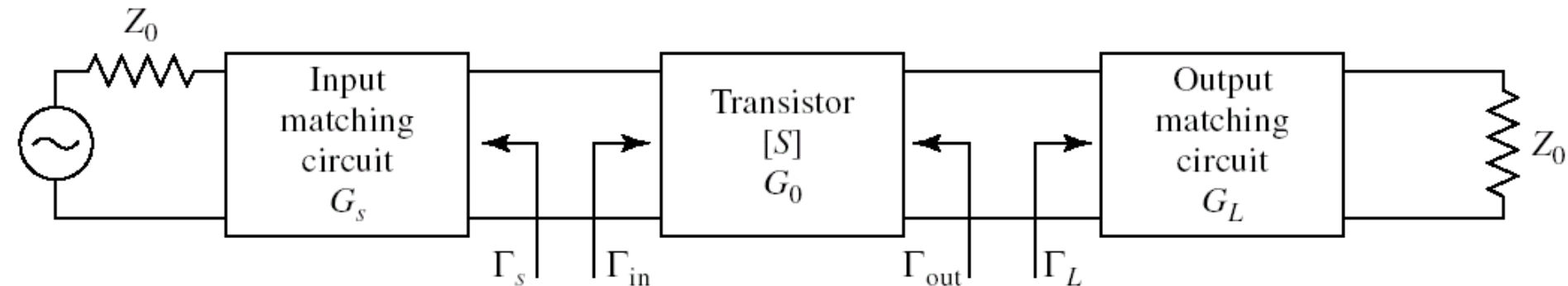
- marimi care intereseaza:
  - stabilitate
  - **castig de putere**
  - zgomot (uneori – semnal mic)
  - liniaritate (uneori – semnal mare)

# Puteri / Adaptare

- Doua porturi in care adaptarea influenteaza transferul de putere



# Proiectare pentru castig maxim



- Castig maxim de putere se obtine cand

$$\rightarrow \Gamma_{in} = \Gamma_S^* \quad \Gamma_{out} = \Gamma_L^*$$

- Pentru retele de adaptare fara pierderi

$$G_{T\max} = \frac{|S_{21}|^2 \cdot (1 - |\Gamma_S|^2) \cdot (1 - |\Gamma_L|^2)}{|1 - \Gamma_S \cdot \Gamma_{in}|^2 \cdot |1 - S_{22} \cdot \Gamma_L|^2} \quad G_{T\max} = \frac{1}{1 - |\Gamma_S|^2} \cdot |S_{21}|^2 \cdot \frac{1 - |\Gamma_L|^2}{|1 - S_{22} \cdot \Gamma_L|^2}$$

- Pentru tranzistor bilateral ( $S_{12} \neq 0$ )  $\Gamma_{in}$  si  $\Gamma_{out}$  se influenteaza reciproc deci adaptarea trebuie sa fie simultana

# Adaptare simultana

- Adaptarea simultana se poate realiza **numai** pentru amplificatoarele **neconditionat stabile** la frecventa de lucru, si solutia cu  $|\Gamma| < 1$  se obtine cu semnul “-”

$$\Gamma_S = \frac{B_1 - \sqrt{B_1^2 - 4 \cdot |C_1|^2}}{2 \cdot C_1}$$

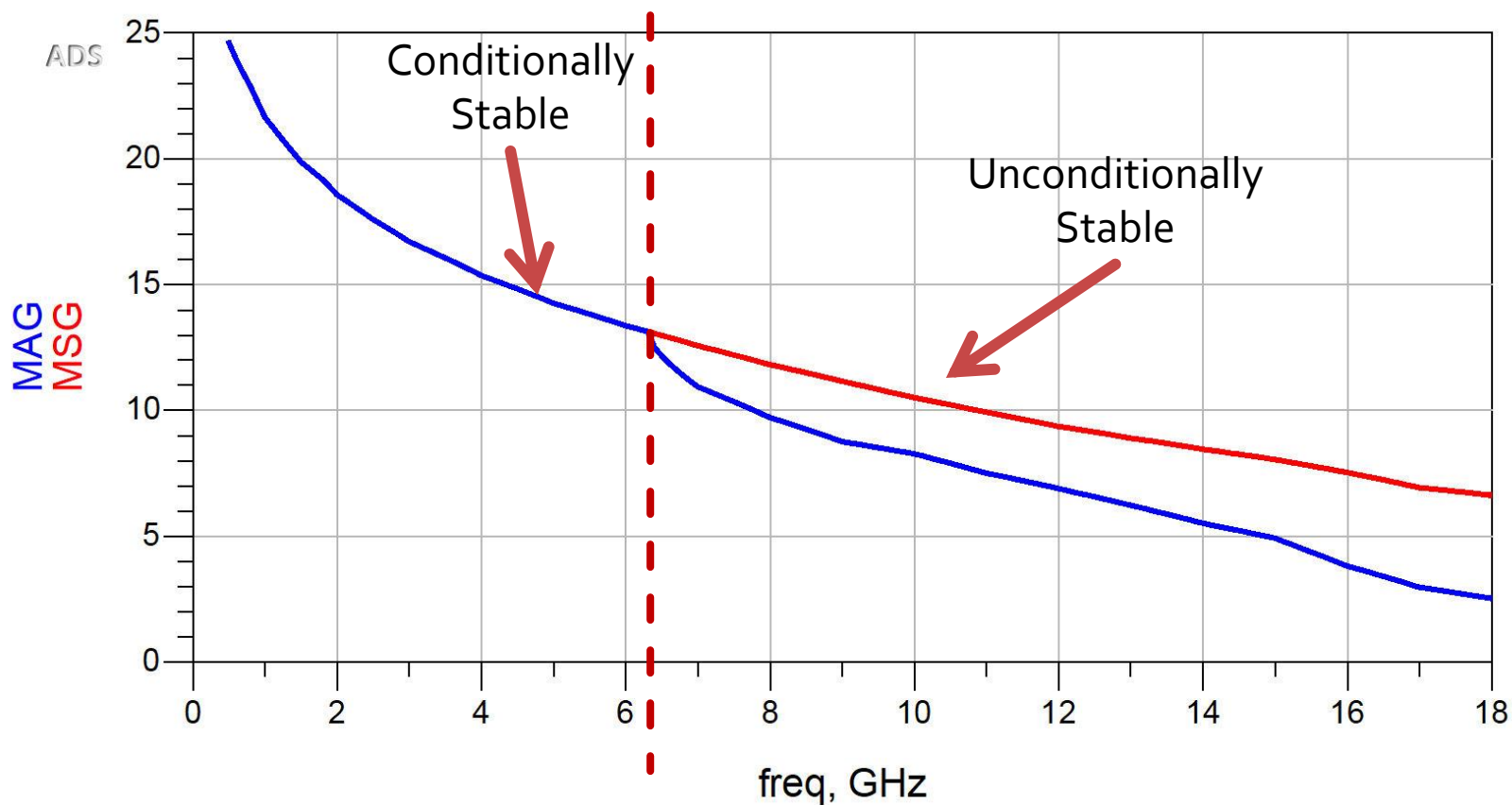
$$\begin{cases} B_1 = 1 + |S_{11}|^2 - |S_{22}|^2 - |\Delta|^2 \\ C_1 = S_{11} - \Delta \cdot S_{22}^* \end{cases}$$

$$\Gamma_L = \frac{B_2 - \sqrt{B_2^2 - 4 \cdot |C_2|^2}}{2 \cdot C_2}$$

$$\begin{cases} B_2 = 1 + |S_{22}|^2 - |S_{11}|^2 - |\Delta|^2 \\ C_2 = S_{22} - \Delta \cdot S_{11}^* \end{cases}$$

# Castig

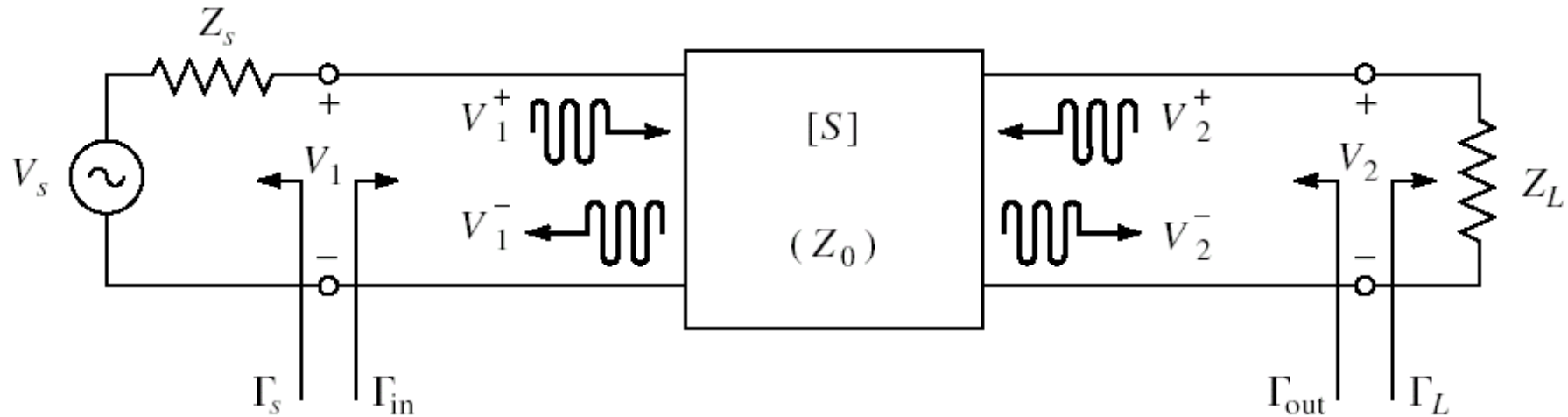
- ATF-34143 at  $V_{ds}=3V$   $I_d=20mA$ .
- @ $0.5\div18GHz$



Amplificatoare de microunde

# Proiectare pentru castig impus

# Cuadripol Amplifier



- marimi care intereseaza:
  - stabilitate
  - **castig de putere**
  - zgomot (uneori – semnal mic)
  - liniaritate (uneori – semnal mare)

# Factor de merit unilateral

- Permite estimarea erorii induse de ipoteza tranzistorului unilateral

$$S_{12} \approx 0$$

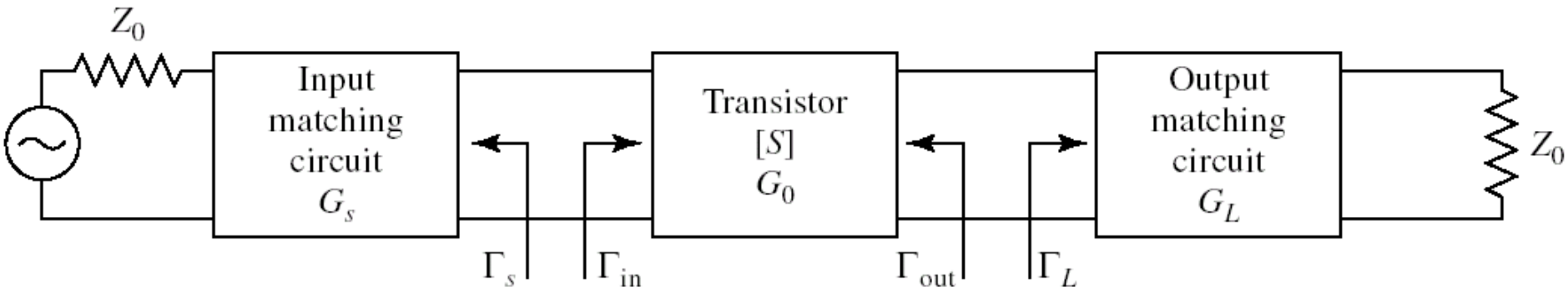
$$\frac{1}{(1+U)^2} < \frac{G_T}{G_{TU}} < \frac{1}{(1-U)^2}$$

$$U = \frac{|S_{12}| \cdot |S_{21}| \cdot |S_{11}| \cdot |S_{22}|}{\left(1 - |S_{11}|^2\right) \cdot \left(1 - |S_{22}|^2\right)}$$

- Se calculeaza U si abaterea maxima si minima a lui  $G_{TU}$  fata de  $G_T$ 
  - aceasta abatere trebuie prevazuta in proiectare ca rezerva pentru castigul maxim

$$-20 \cdot \log(1+U) < G_T [dB] - G_{TU} [dB] < -20 \cdot \log(1-U)$$

# Proiectare pentru castig impus



- Daca ipoteza tranzistorului unilateral este justificata:

$$G_{TU} = \frac{1 - |\Gamma_s|^2}{|1 - S_{11} \cdot \Gamma_s|^2} \cdot |S_{21}|^2 \cdot \frac{1 - |\Gamma_L|^2}{|1 - S_{22} \cdot \Gamma_L|^2}$$

$$G_s = \frac{1 - |\Gamma_s|^2}{|1 - S_{11} \cdot \Gamma_s|^2}$$

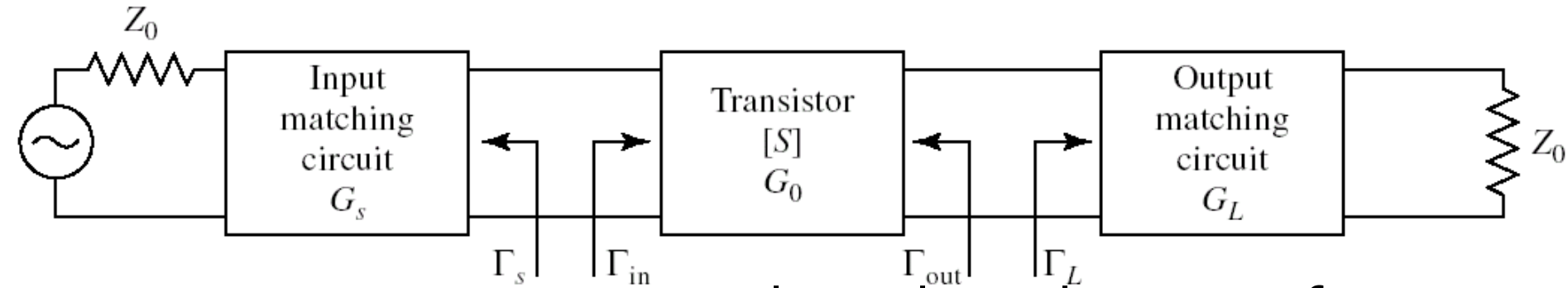
$$G_s = G_s(\Gamma_s)$$

$$G_0 = |S_{21}|^2$$

$$G_L = \frac{1 - |\Gamma_L|^2}{|1 - S_{22} \cdot \Gamma_L|^2}$$

$$G_L = G_L(\Gamma_L)$$

# Proiectare pentru castig impus

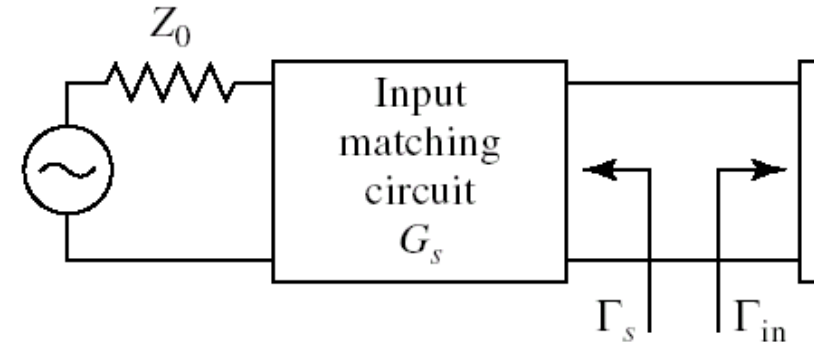


- **Daca** ipoteza tranzistorului unilateral este justificata:
  - castigul adaugat prin adaptare mai buna la intrare **nu** depinde de adaptarea la iesire  $G_s = G_s(\Gamma_s)$
  - castigul adaugat prin adaptare mai buna la iesire **nu** depinde de adaptarea la intrare  $G_L = G_L(\Gamma_L)$
- Adaptarile la intrare/iesire pot fi tratate independent
  - Se pot impune cerinte diferite intrare/iesire
  - se tine cont de compunerea castigurilor generate

$$G_T = G_s \cdot G_0 \cdot G_L$$

$$G_T [dB] = G_s [dB] + G_0 [dB] + G_L [dB]$$

# Adaptarea la intrare



$$G_s = \frac{1 - |\Gamma_s|^2}{|1 - S_{11} \cdot \Gamma_s|^2}$$

- Castig maxim pentru adaptare complex conjugata (putere) la intrare

$$\Gamma_s = S_{11}^* \Rightarrow G_{s \max} = \frac{1}{1 - |S_{11}|^2}$$

- Pentru oricare alta retea de adaptare

$$G_s = \frac{1 - |\Gamma_s|^2}{|1 - S_{11} \cdot \Gamma_s|^2} < G_{s \max} = \frac{1}{1 - |S_{11}|^2}$$

# Exemplu

- ATF-34143 at  $V_{ds}=3V$   $I_d=20mA$ .

- @5GHz

- $S_{11} = 0.64 \angle 139^\circ$
- $S_{12} = 0.119 \angle -21^\circ$
- $S_{21} = 3.165 \angle 16^\circ$
- $S_{22} = 0.22 \angle 146^\circ$

$$U = \frac{|S_{12}| \cdot |S_{21}| \cdot |S_{11}| \cdot |S_{22}|}{\left(1 - |S_{11}|^2\right) \cdot \left(1 - |S_{22}|^2\right)} = 0.094$$

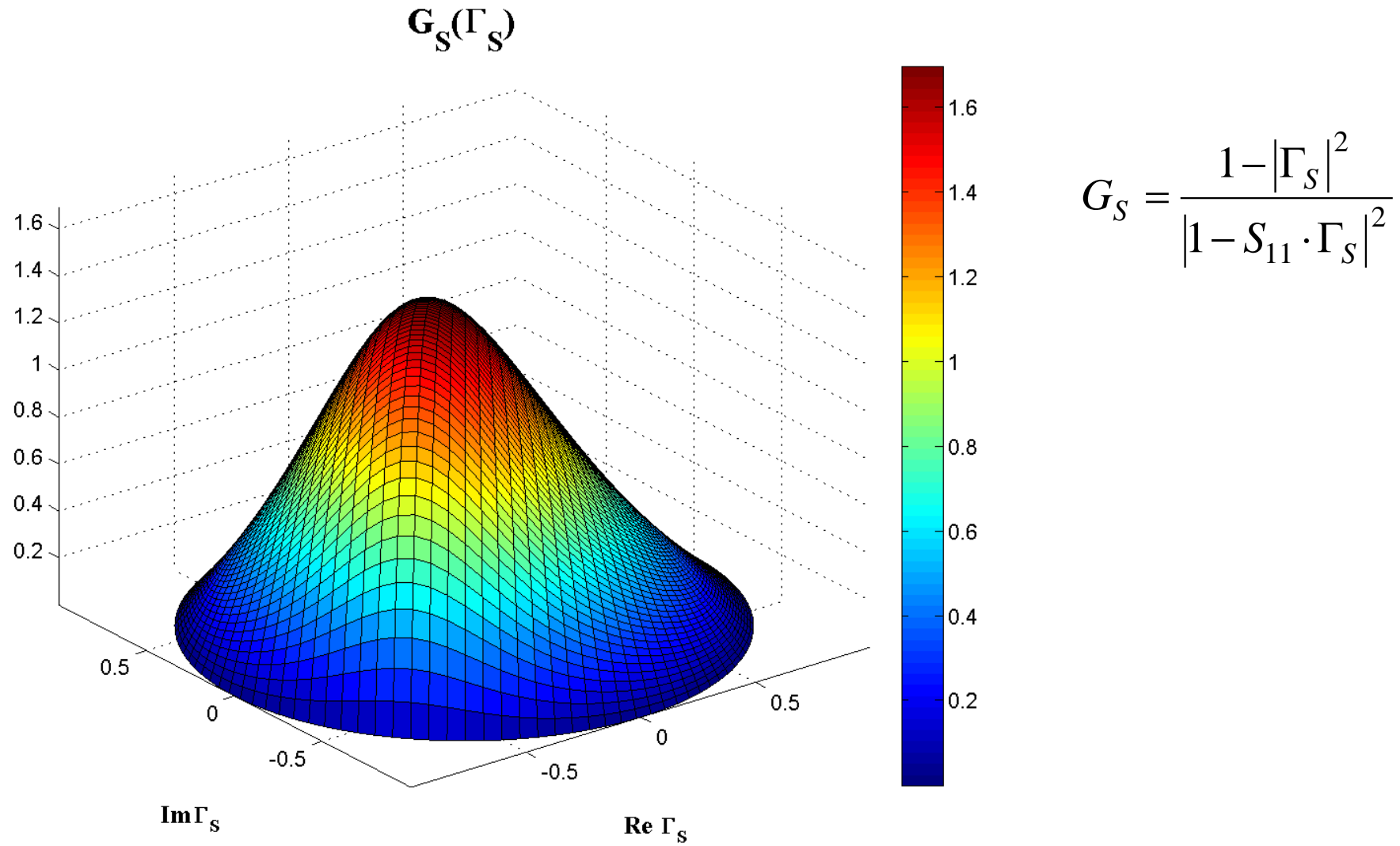
$$-0.783 \text{ dB} < G_T[\text{dB}] - G_{TU}[\text{dB}] < 0.861 \text{ dB}$$

$$G_{TU \max} = \frac{1}{1 - |S_{11}|^2} \cdot |S_{21}|^2 \cdot \frac{1}{1 - |S_{22}|^2} = 17.83$$

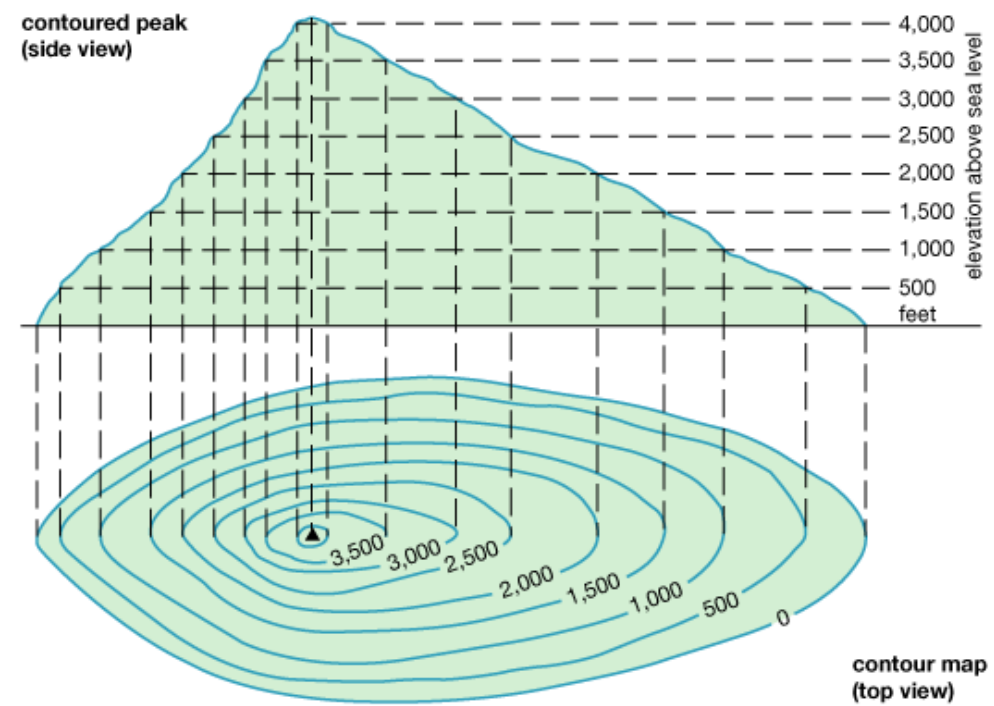
$$G_{TU \max}[\text{dB}] = 12.511 \text{ dB}$$

$$G_{S \max} = \frac{1}{1 - |S_{11}|^2} = 1.694 = 2.289 \text{ dB}$$

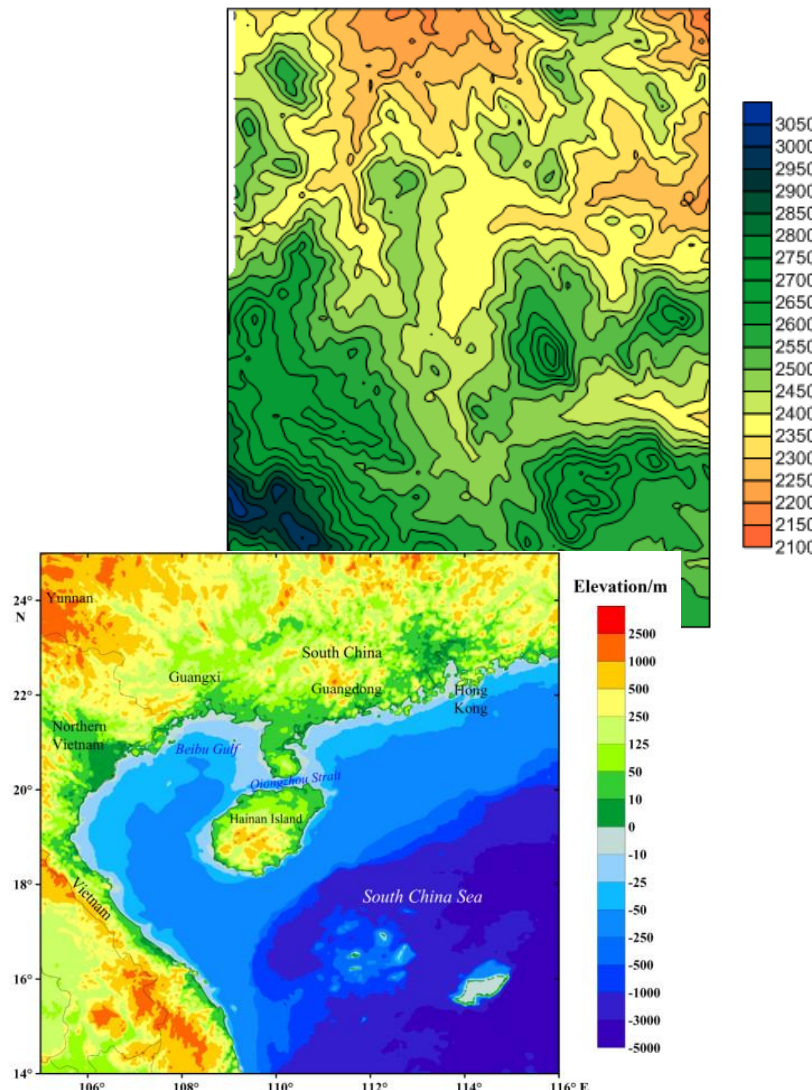
# $\mathbf{G}_S(\Gamma_S)$



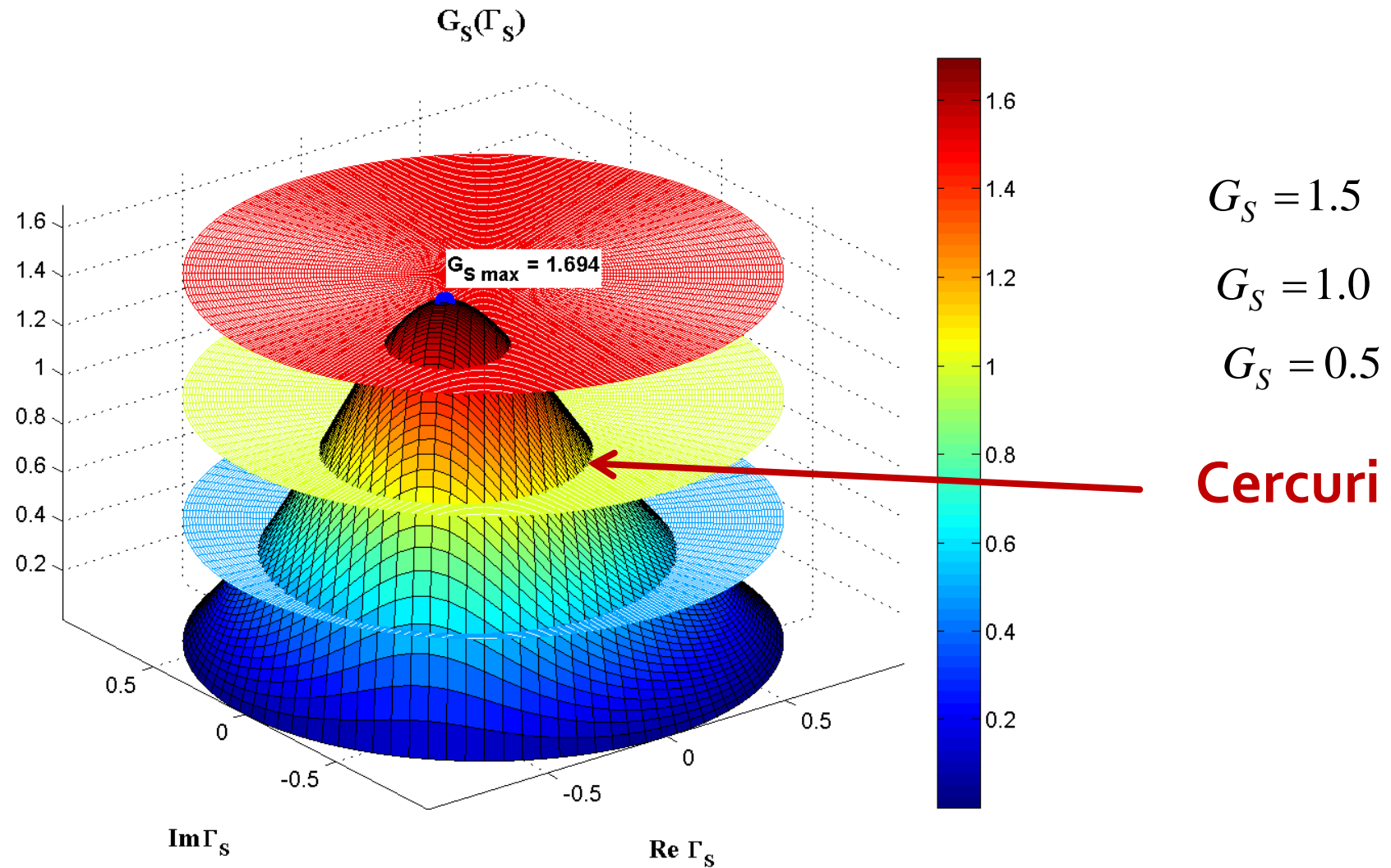
# Contour map/lines



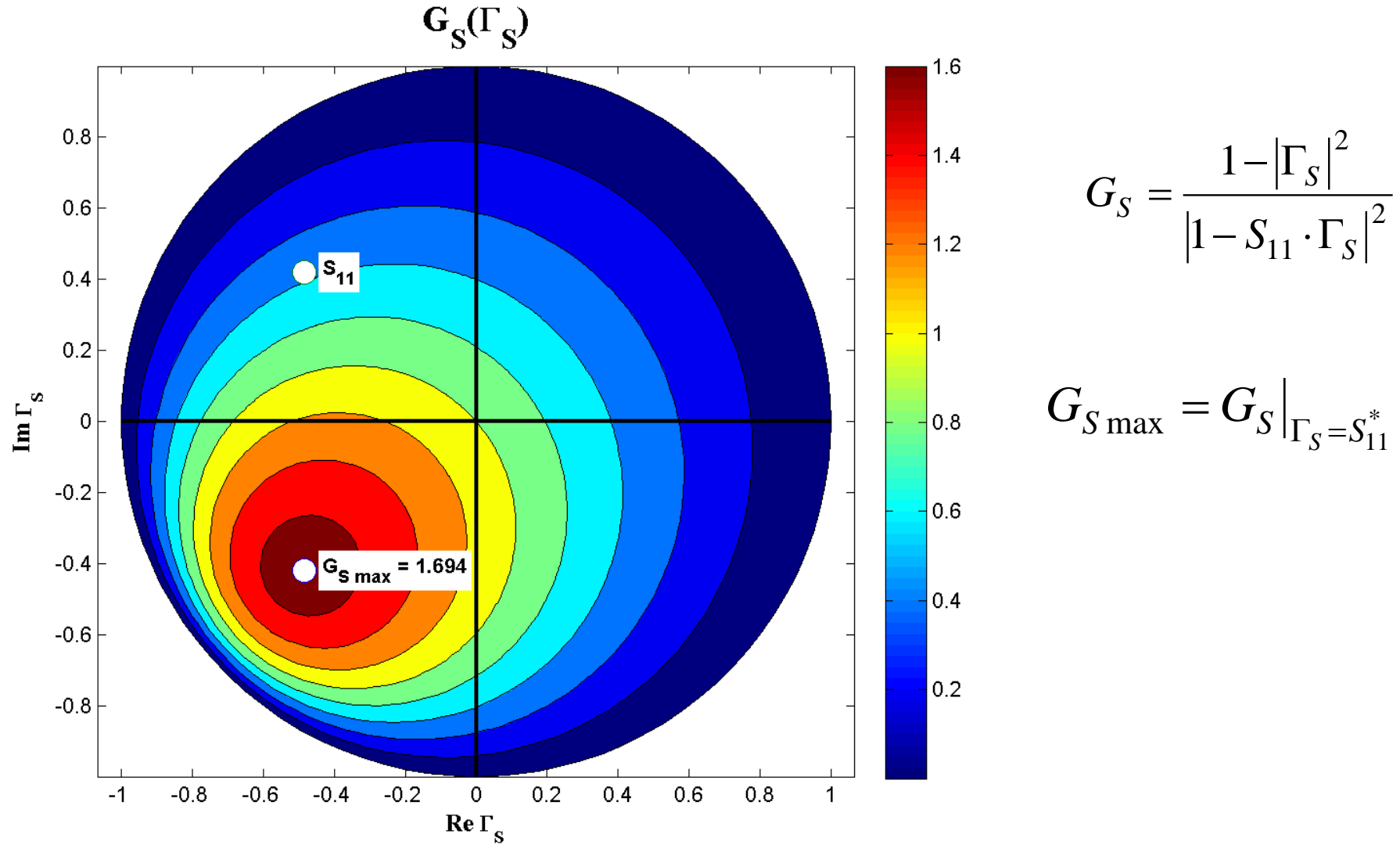
© 2011 Encyclopædia Britannica, Inc.



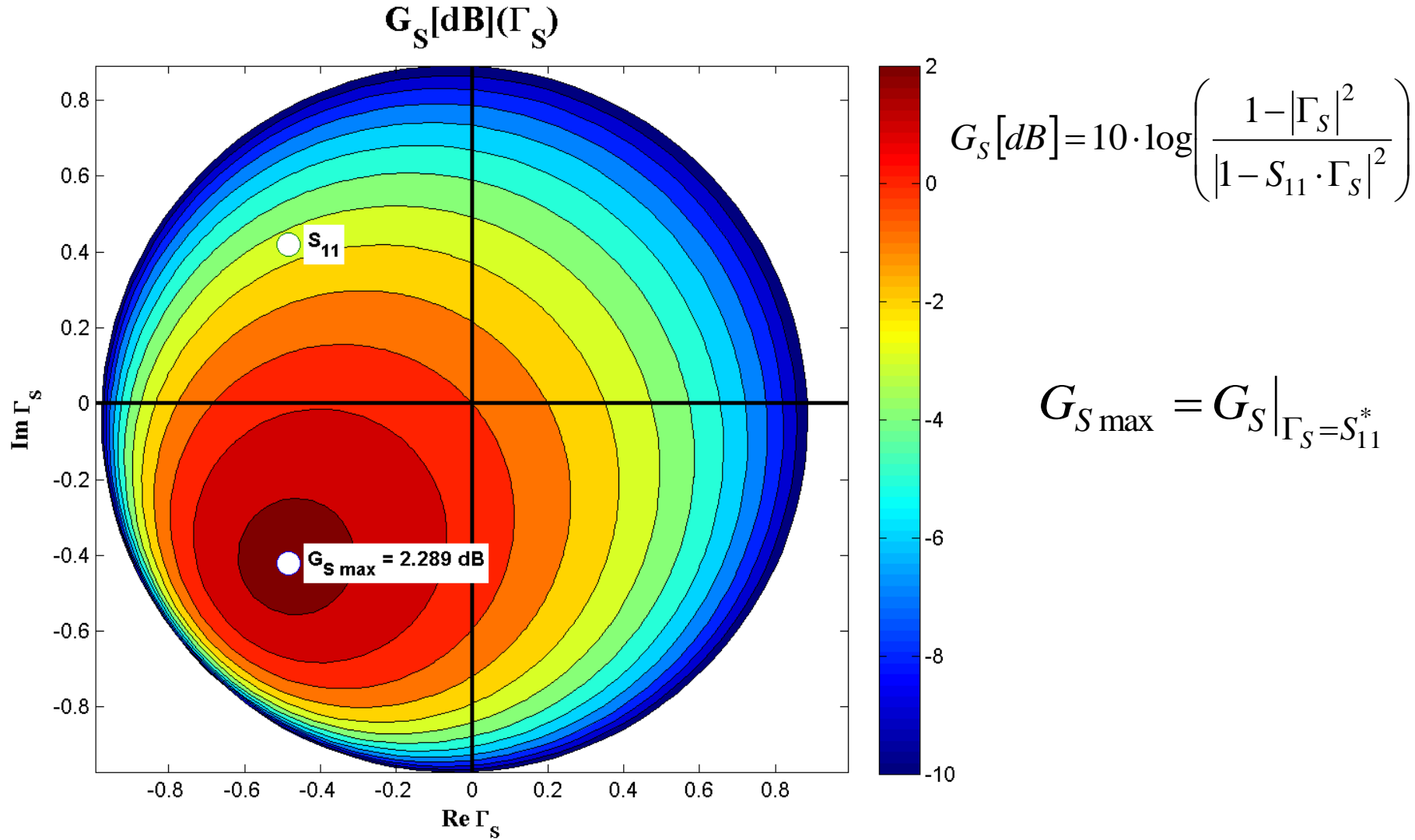
# $G_S(\Gamma_S)$ , nivel constant



# $G_S(\Gamma_S)$ , diagrama de nível



# $G_S[\text{dB}](\Gamma_S)$ , diagrama de nível



# Cercuri de castig constant la intrare

- Castig normat (coordonate liniare)

$$g_S = \frac{G_S}{G_{S\max}} = \frac{1 - |\Gamma_S|^2}{|1 - S_{11} \cdot \Gamma_S|^2} \cdot (1 - |S_{11}|^2) < 1$$

- Punctele de nivel constant, pentru un  $g_s < 1$  fixat

$$\begin{aligned} g_S \cdot |1 - S_{11} \cdot \Gamma_S|^2 &= (1 - |\Gamma_S|^2) \cdot (1 - |S_{11}|^2) \\ (g_S \cdot |S_{11}|^2 + 1 - |S_{11}|^2) \cdot |\Gamma_S|^2 - g_S \cdot (S_{11} \cdot \Gamma_S + S_{11}^* \cdot \Gamma_S^*) &= 1 - |S_{11}|^2 - g_S \\ \Gamma_S \cdot \Gamma_S^* - \frac{g_S \cdot (S_{11} \cdot \Gamma_S + S_{11}^* \cdot \Gamma_S^*)}{1 - (1 - g_S) \cdot |S_{11}|^2} &= \frac{1 - |S_{11}|^2 - g_S}{1 - (1 - g_S) \cdot |S_{11}|^2} \quad \leftarrow + \frac{g_S^2 \cdot |S_{11}|^2}{[1 - (1 - g_S) \cdot |S_{11}|^2]^2} \end{aligned}$$

# Cercuri de castig constant la intrare

$$\left| \Gamma_S - \frac{g_S \cdot S_{11}^*}{1 - (1 - g_S) \cdot |S_{11}|^2} \right| = \frac{\sqrt{1 - g_S} \cdot (1 - |S_{11}|^2)}{1 - (1 - g_S) \cdot |S_{11}|^2} \quad |\Gamma_S - C_S| = R_S$$
$$C_S = \frac{g_S \cdot S_{11}^*}{1 - (1 - g_S) \cdot |S_{11}|^2} \quad R_S = \frac{\sqrt{1 - g_S} \cdot (1 - |S_{11}|^2)}{1 - (1 - g_S) \cdot |S_{11}|^2}$$

- Ecuatia unui cerc in planul complex in care reprezint  $\Gamma_S$
- **Interpretare:** Orice punct  $\Gamma_S$  care reprezentat in planul complex se gaseste **pe** cercul desenat pentru  $g_{\text{cerc}} = G_{\text{cerc}}/G_{S\max}$  va conduce la obtinerea castigului  $G_S = G_{\text{cerc}}$ 
  - Orice punct **in exteriorul** acestui cerc va genera un castig  $G_S < G_{\text{cerc}}$
  - Orice punct **in interiorul** acestui cerc va genera un castig  $G_S > G_{\text{cerc}}$

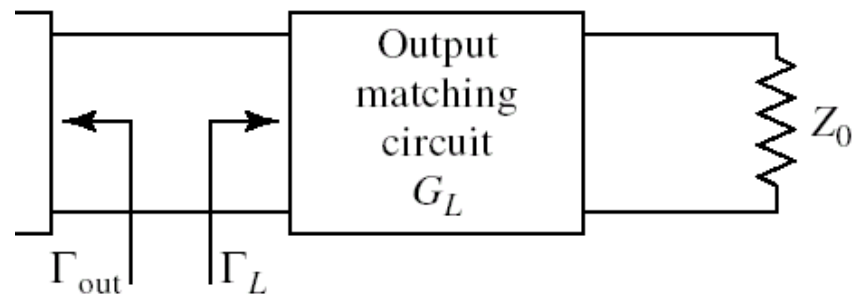
# Cercuri de castig constant la intrare

$$C_S = \frac{g_S \cdot S_{11}^*}{1 - (1 - g_S) \cdot |S_{11}|^2}$$

$$R_S = \frac{\sqrt{1 - g_S} \cdot (1 - |S_{11}|^2)}{1 - (1 - g_S) \cdot |S_{11}|^2}$$

- Centrele cercurilor se gasesc pe segmentul care unește  $\Gamma_S = S_{11}^*$  cu centrul diagramei Smith
- Cercurile se traseaza (traditional, CAD) in **coordonate logaritmice** ([dB])
  - relatiile de calcul sunt in coordonate **liniare** !
- Cercul corespunzator lui  $G_S = 0 \text{ dB}$  trece prin origine

# Cercuri de castig constant la iesire



$$G_L = \frac{1 - |\Gamma_L|^2}{|1 - S_{22} \cdot \Gamma_L|^2}$$

- Castig maxim  $\Gamma_L = S_{22}^* \Rightarrow G_{L\max} = \frac{1}{1 - |S_{22}|^2}$

$$g_L = \frac{G_L}{G_{L\max}} = \frac{1 - |\Gamma_L|^2}{|1 - S_{22} \cdot \Gamma_L|^2} \cdot (1 - |S_{22}|^2) < 1$$

- Calcul similar

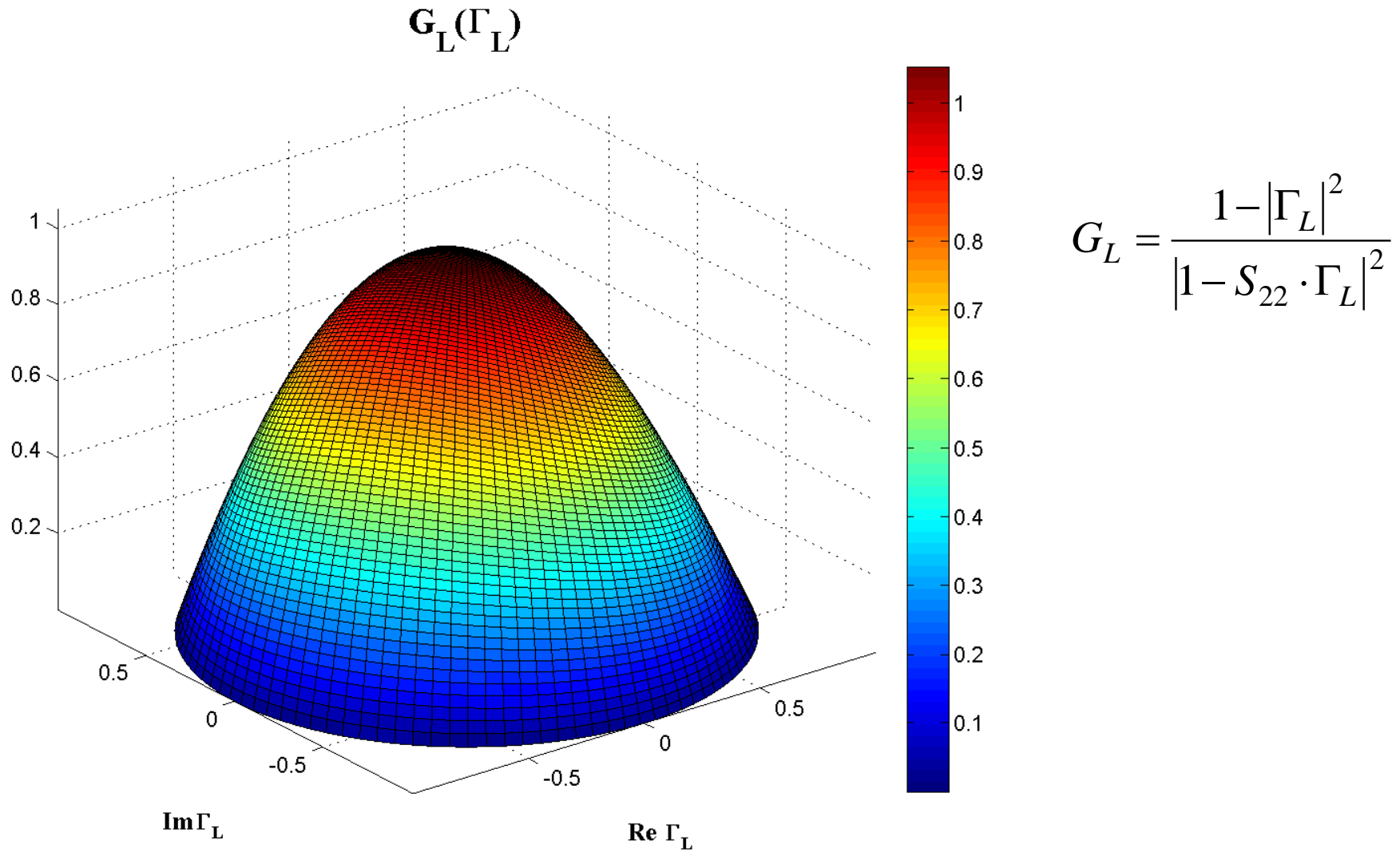
$$C_L = \frac{g_L \cdot S_{22}^*}{1 - (1 - g_L) \cdot |S_{22}|^2}$$

$$R_L = \frac{\sqrt{1 - g_L} \cdot (1 - |S_{22}|^2)}{1 - (1 - g_L) \cdot |S_{22}|^2}$$

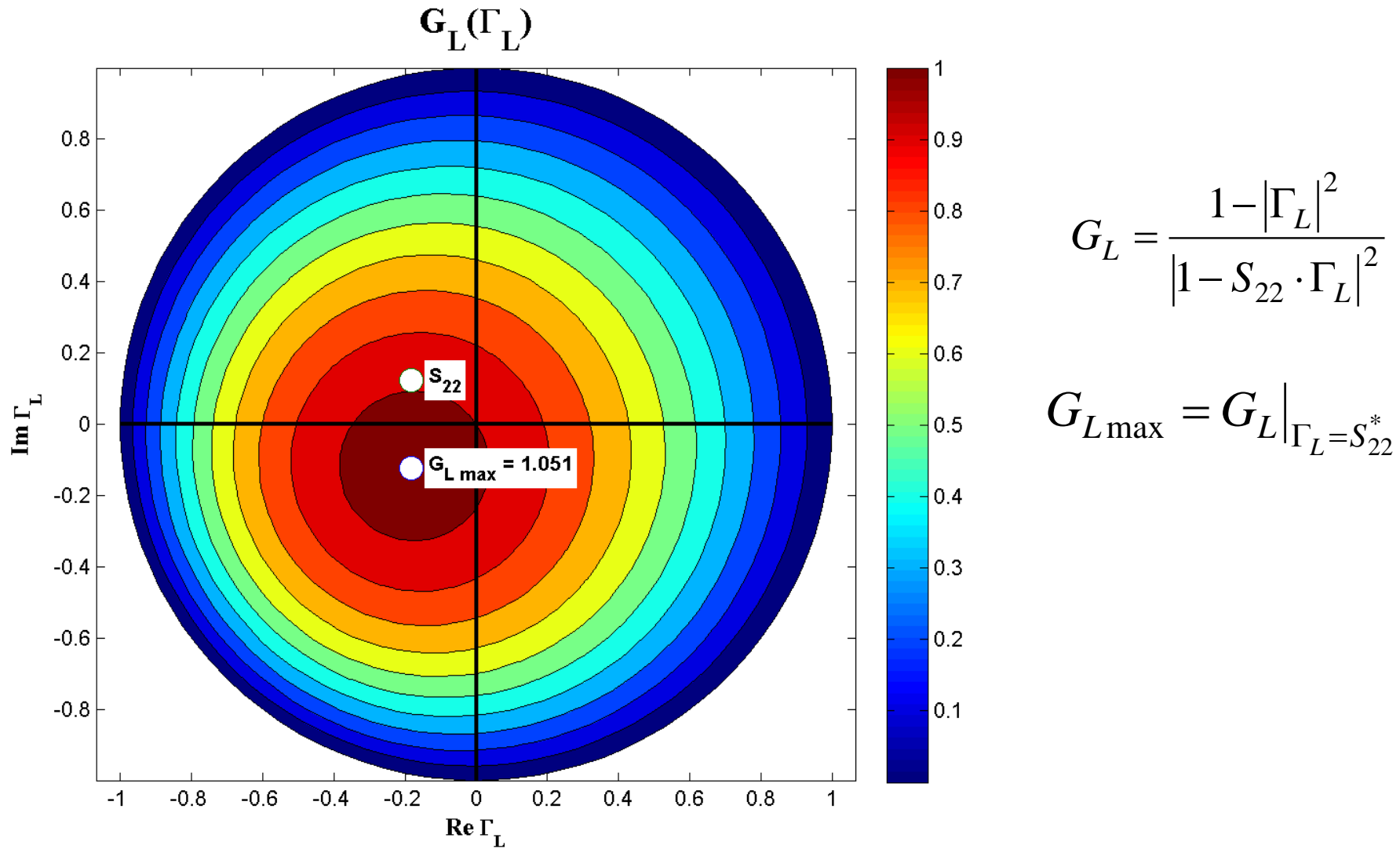
- Exemplu

$$G_{L\max} = \frac{1}{1 - |S_{22}|^2} = 1.051 = 0.215 \text{ dB}$$

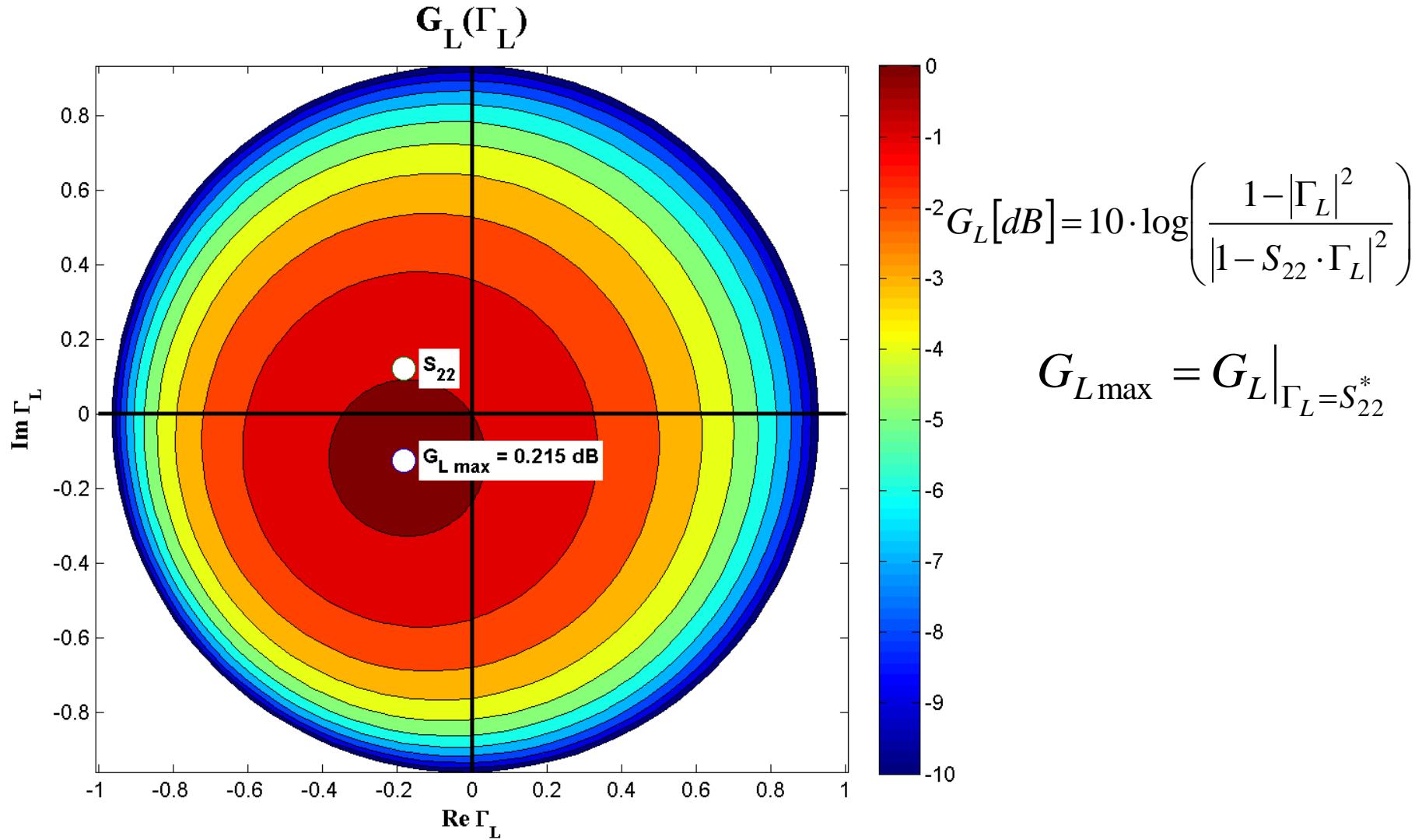
# $\mathbf{G}_L(\Gamma_L)$



# $G_L(\Gamma_L)$ , diagrama de nível

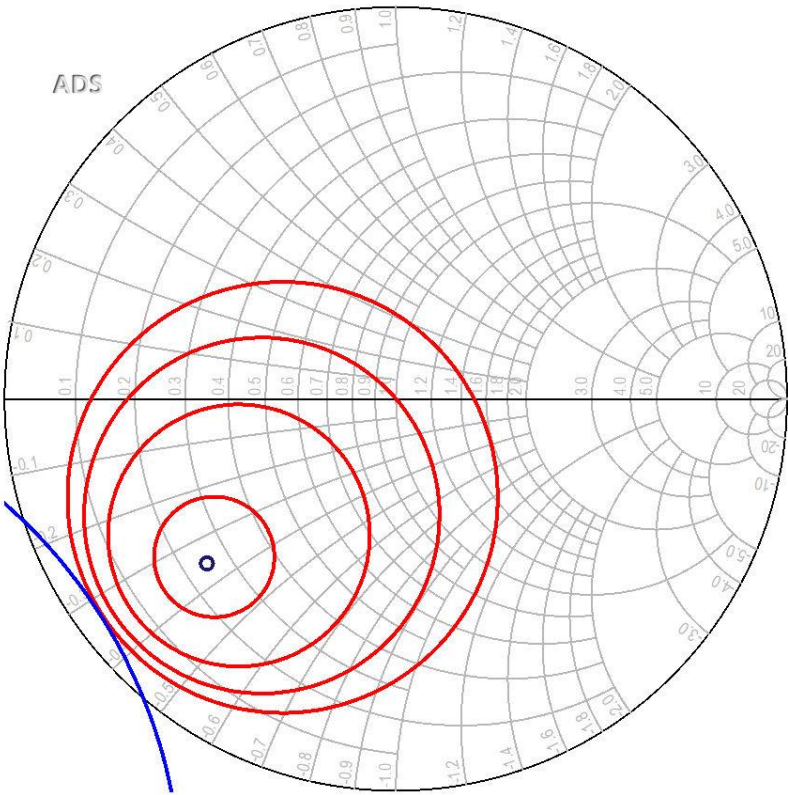


# $G_L[\text{dB}](\Gamma_L)$ , diagrama de nível

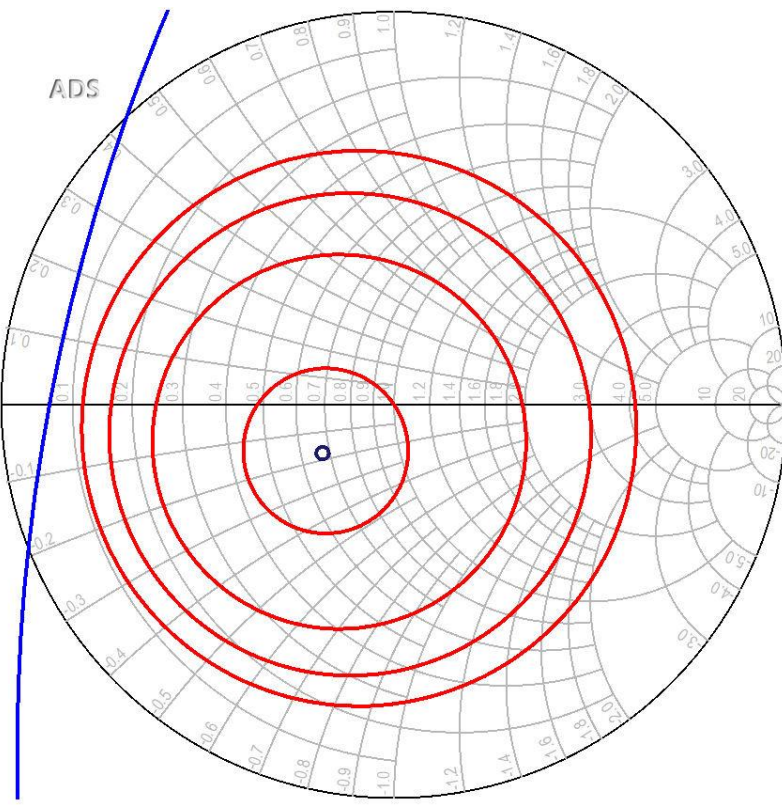


# ADS

conj(S(1,1))  
CSIN  
CCCIN



conj(S(2,2))  
CSOUT  
CCCOUT



- Cerculile se reprezinta pentru valorile cerute in dB
- Este utila calcularea  $G_{S\max}$  si  $G_{L\max}$  anterior

# Proiectare pentru castig impus

- Se calculeaza  $G_o$ ,  $G_{S_{max}}$ ,  $G_{L_{max}}$
- Pentru obtinerea castigului impus se **aleg** valorile suplimentare necesare (suplimentar la  $G_o$ )
  - se tine cont de abaterea caracterizata de factorul de merit U

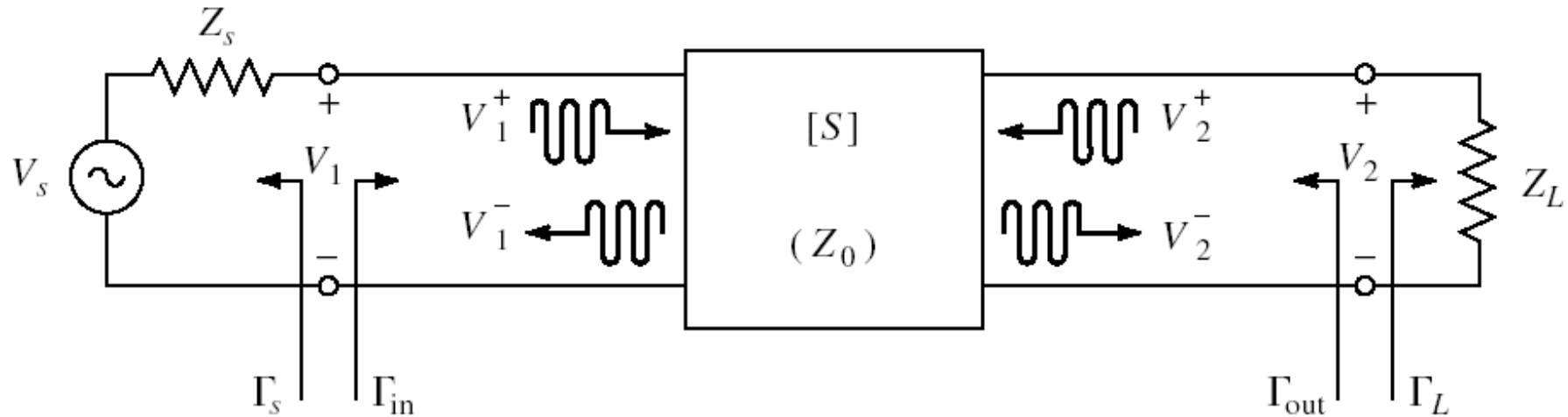
$$G_{dorit}[dB] = G_{S\_dor}[dB] + G_0[dB] + G_{L\_dor}[dB]$$

- Se reprezinta cercurile de castig pentru valorile alese  $G_{S\_dor}$ ,  $G_{L\_dor}$
- Se proiecteaza retelele de adaptare care muta coeficientul de reflexie **pe** sau **in interiorul** cercurilor dorite (in functie de aplicatie)

Amplificatoare de microunde

# **Proiectare pentru zgomot redus**

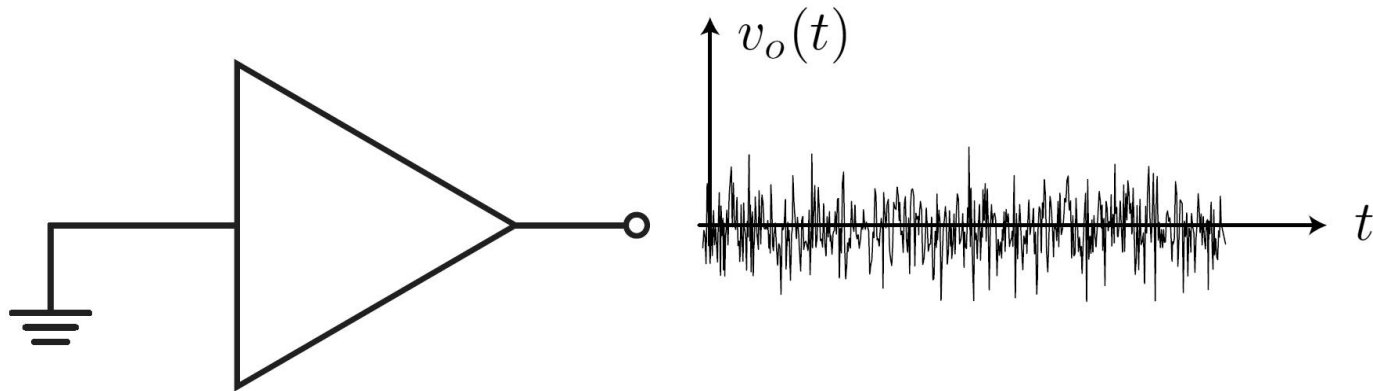
# Cuadripol Amplifier



- marimi care intereseaza:
  - stabilitate
  - castig de putere
  - **zgomot (uneori – semnal mic)**
  - liniaritate (uneori – semnal mare)

# Zgomot

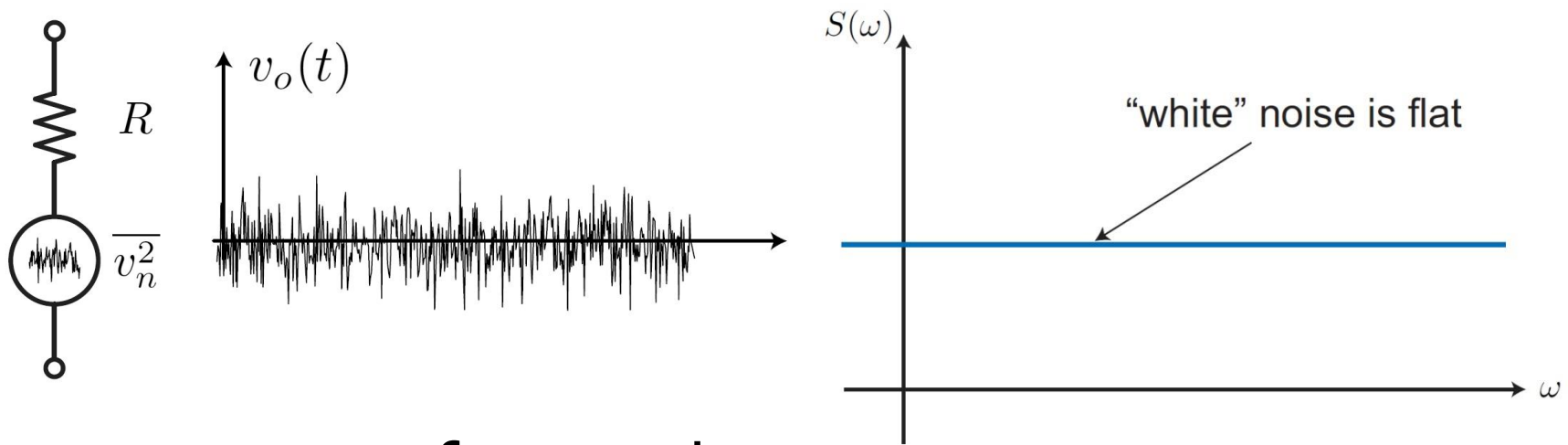
- Zgomot: variatii aleatorii ale semnalului



$$\overline{v_n(t)} = \langle v_n(t) \rangle = \frac{1}{T} \int_0^T v_n(t) dt = 0$$

$$\overline{v_n^2(t)} = \langle v_n^2(t) \rangle = \frac{1}{T} \int_0^T v_n^2(t) dt \neq 0 \quad V_{n(ef)} = \sqrt{\overline{v_n^2(t)}}$$

# Zgomot



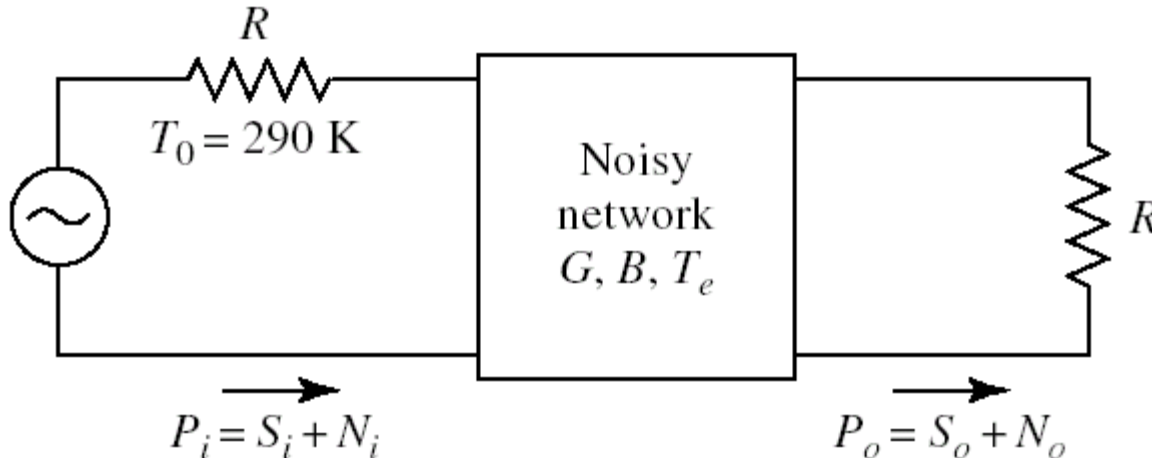
- tensiunea efectiva de zgomot

$$V_{n(ef)} = \sqrt{4kTB R}$$

- puterea disponibila de zgomot (furnizata restului circuitului - maxim)

$$P_n = kTB$$

# Factor de zgomot

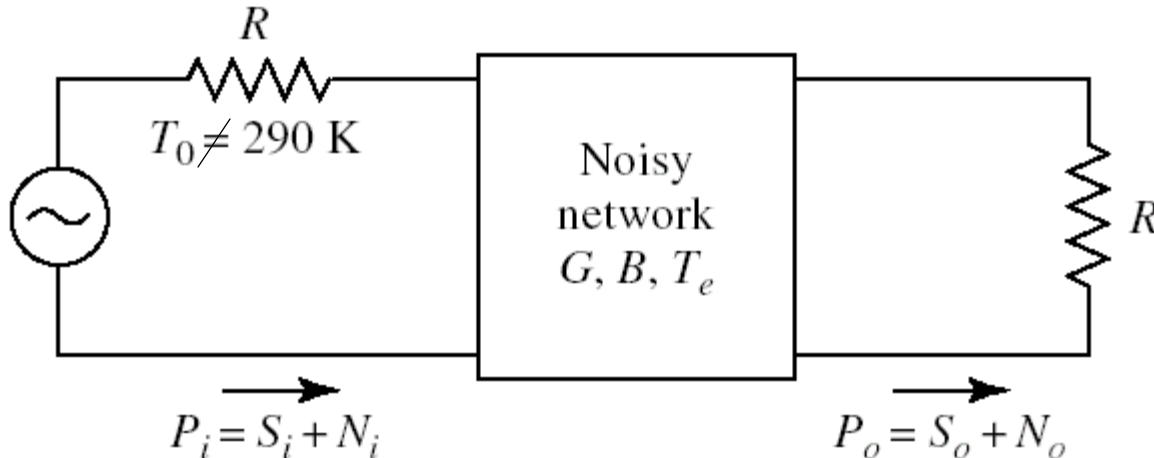


- Factorul de zgomot  $F$  caracterizeaza degradarea raportului semnal/zgomot intre intrarea si iesirea unei componente, cand la intrare se aplica o putere de zgomot de referinta ( $T_0 = 290\text{K}$ )

$$F = \left. \frac{S_i/N_i}{S_o/N_o} \right|_{T_0=290K}$$

$$V_{n(ef)} = \sqrt{4kTB R}$$
$$P_n = kTB$$

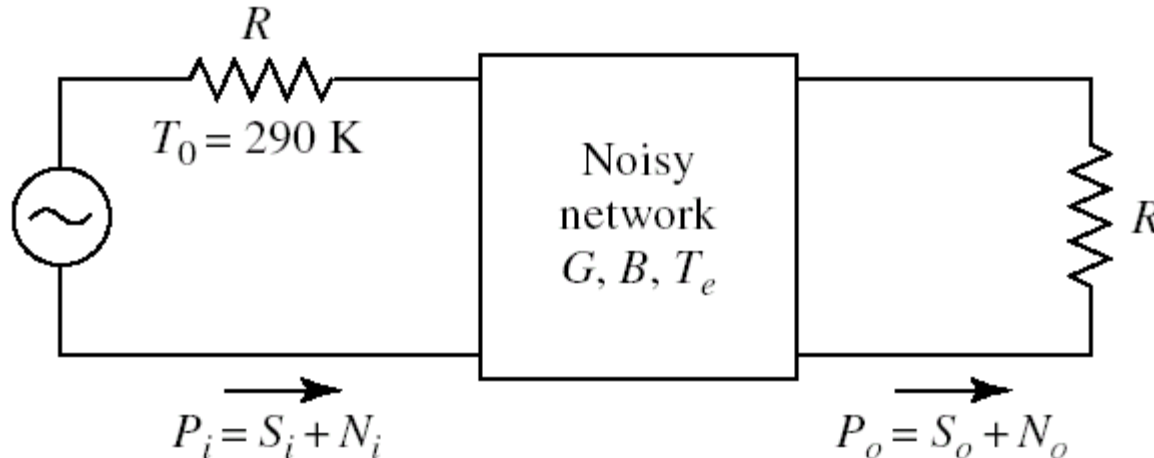
# Factor de zgomot



- Factorul de zgomot  $F$  **nu** caracterizeaza direct degradarea raportului semnal/zgomot intre intrarea si iesirea unei componente, cand la intrare se aplica o putere de zgomot diferita de cea de referinta

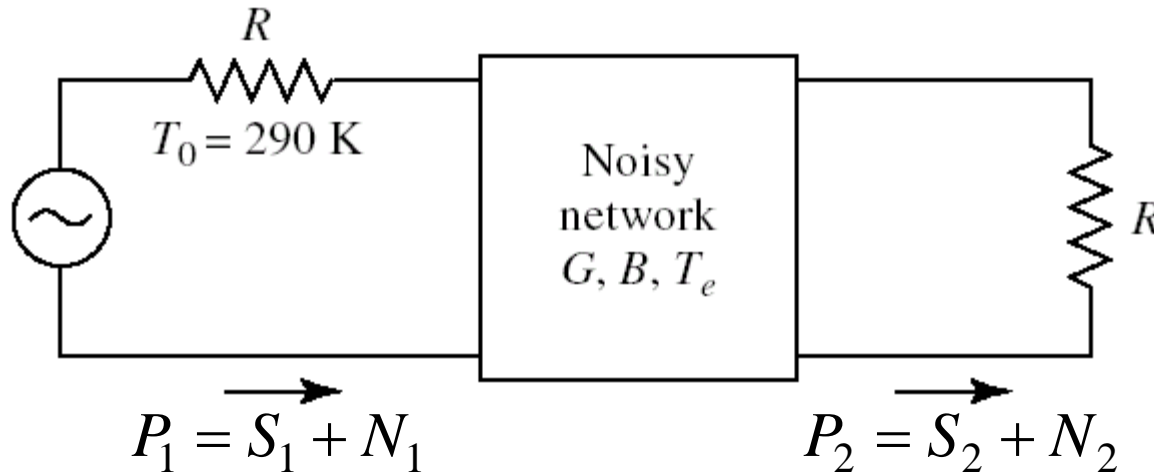
$$F \neq \left. \frac{S_i/N_i}{S_o/N_o} \right|_{T_0 \neq 290K}$$

# Factor de zgomot



- In general, puterea de zgomot la ieșire se obtine cu două componente:
  - o putere datorată zgomotului de intrare amplificat cu castigul  $G$  (depinde de puterea de zgomot de la intrare)
  - o putere de zgomot generată intern de dispozitiv (care **nu** depinde de puterea de zgomot de la intrare)

# Factor de zgomot



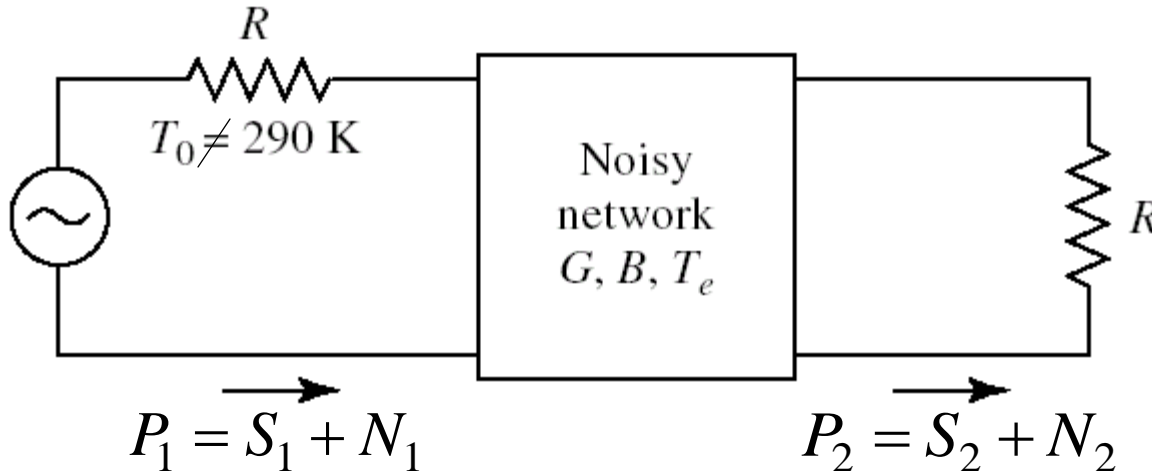
- Estimarea puterii de zgomot adaugate se poate face plecand de la definitia factorului de zgomot:

$$F = \left. \frac{S_1/N_1}{S_2/N_2} \right|_{T_0=290K, N_1=N_0}$$

$$N_2 = F \cdot N_0 \cdot \frac{S_2}{S_1} = F \cdot N_0 \cdot G$$

$$N_2 = N_0 \cdot G + (F - 1) \cdot N_0 \cdot G$$

# Factor de zgomot

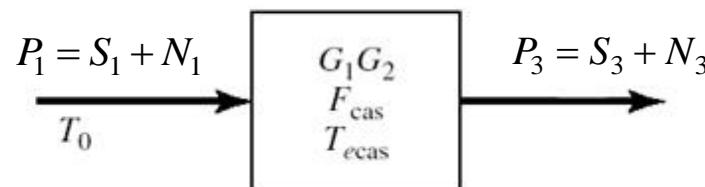
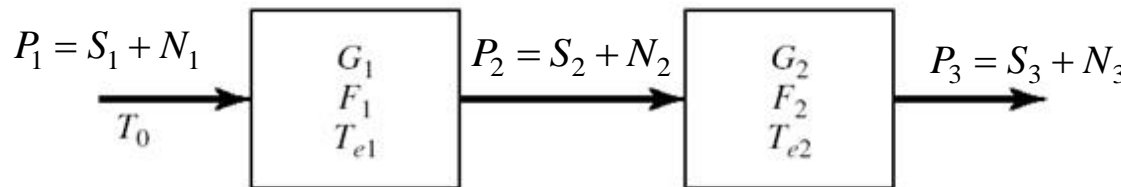


- Se identifica cele două termeni:
  - zgomotul de intrare amplificat
  - zgomotul adăugat intern
- Pentru o situație în care la intrare nu am zgomotul de referință ( $N_1 \neq N_0$ )

$$N_2 = N_0 \cdot G + (F - 1) \cdot N_0 \cdot G$$

$$N_2 = N_1 \cdot G + (F - 1) \cdot N_0 \cdot G$$

# Factor de zgomot al circuitelor cascade



$$N_2 = N_1 \cdot G_1 + (F_1 - 1) \cdot N_0 \cdot G_1$$

$$G_{cas} = G_1 \cdot G_2$$

$$N_3 = N_2 \cdot G_2 + (F_2 - 1) \cdot N_0 \cdot G_2$$

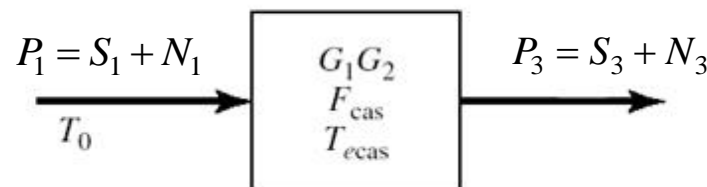
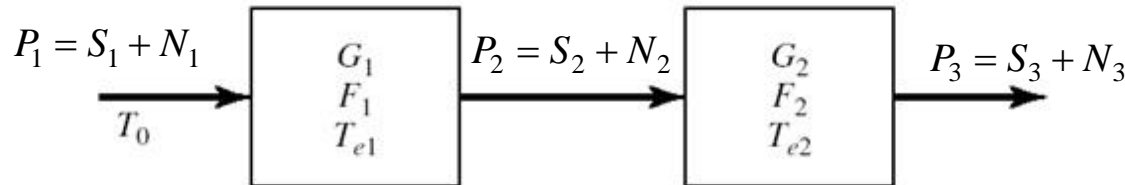
$$N_3 = N_1 \cdot G_{cas} + (F_{cas} - 1) \cdot N_0 \cdot G_{cas}$$



$$N_3 = [N_1 \cdot G_1 + (F_1 - 1) \cdot N_0 \cdot G_1] \cdot G_2 + (F_2 - 1) \cdot N_0 \cdot G_2$$

$$N_3 = \textcircled{N_1 \cdot G_1 \cdot G_2} + (F_1 - 1) \cdot N_0 \cdot G_1 \cdot G_2 + (F_2 - 1) \cdot N_0 \cdot G_2$$

# Factor de zgomot al circuitelor cascade



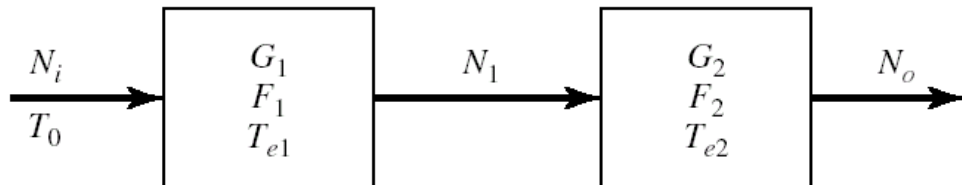
$$N_3 = \textcircled{N_1 \cdot G_1 \cdot G_2} + (F_1 - 1) \cdot N_0 \cdot G_1 \cdot G_2 + (F_2 - 1) \cdot N_0 \cdot G_2$$

$$G_{cas} = G_1 \cdot G_2 \quad N_3 = \textcircled{N_1 \cdot G_{cas}} + (F_{cas} - 1) \cdot N_0 \cdot G_{cas}$$

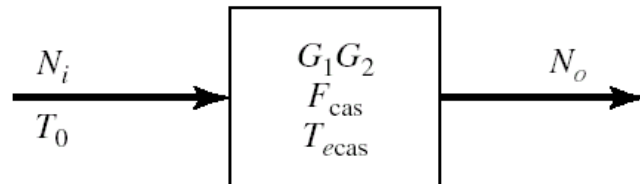
$$(F_1 - 1) \cdot N_0 \cdot G_1 \cdot G_2 + (F_2 - 1) \cdot N_0 \cdot G_2 = (F_{cas} - 1) \cdot N_0 \cdot G_1 \cdot G_2$$

$$F_{cas} = F_1 + \frac{1}{G_1} (F_2 - 1)$$

# Factor de zgomot al circuitelor cascade



(a)



(b)

$$G_{cas} = G_1 \cdot G_2$$

$$F_{cas} = F_1 + \frac{1}{G_1} (F_2 - 1)$$

- Ecuatia Friis (!coordonate liniare)

$$F_{cas} = F_1 + \frac{F_2 - 1}{G_1} + \frac{F_3 - 1}{G_1 \cdot G_2} + \frac{F_4 - 1}{G_1 \cdot G_2 \cdot G_3} + \dots$$

# Formula lui Friis (zgomot)

$$F_{cas} = F_1 + \frac{F_2 - 1}{G_1} + \frac{F_3 - 1}{G_1 \cdot G_2} + \frac{F_4 - 1}{G_1 \cdot G_2 \cdot G_3} + \dots$$

- Formula lui Friis arata ca
  - zgomotul unor circuite in cascada este in mare parte determinat de circuitul de la intrare
  - zgomotul introdus de celelalte circuite este redus
    - $-1$
    - impartire la  $G$  (de obicei supraunitar)

# Formula lui Friis (zgomot)

$$F_{cas} = F_1 + \frac{F_2 - 1}{G_1} + \frac{F_3 - 1}{G_1 \cdot G_2} + \frac{F_4 - 1}{G_1 \cdot G_2 \cdot G_3} + \dots$$

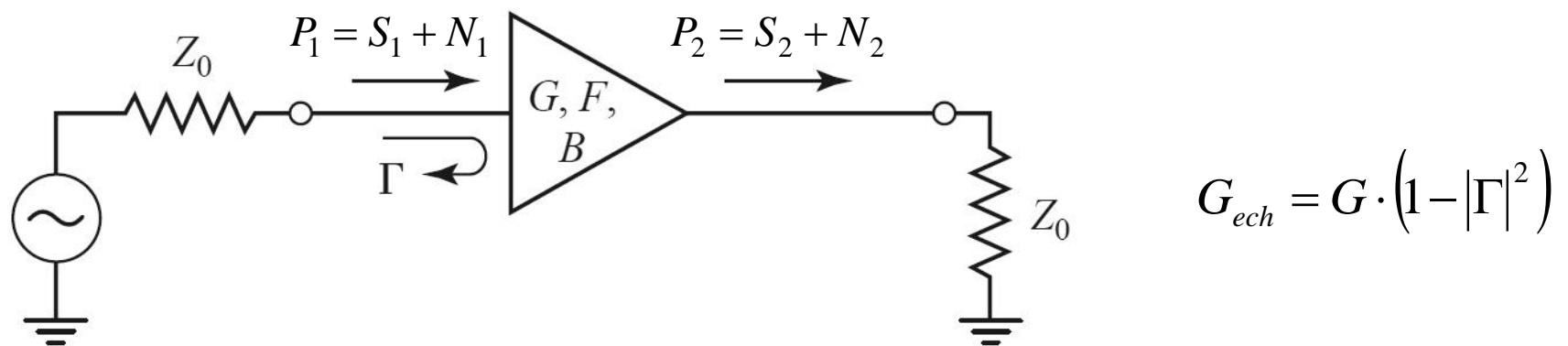
- Formula lui Friis, efecte:
  - in amplificatoare multietaj:
    - e esential ca primul etaj de amplificare sa fie nezgomotos, chiar cu sacrificarea in parte a castigului
    - urmatoarele etaje pot fi optimizate pentru castig
  - pentru un singur amplificator:
    - la intrare e important sa introducem elemente nezgomotoase (reactive, linii fara pierderi)
    - circuitul de adaptare la iesire are o influenta mai mica (zgomotul este generat intr-un punct in care semnalul este deja amplificat de tranzistor)

$$V_{n(ef)} = \sqrt{4kTBR}$$

$$P_n = kTB$$

# Zgomotul amplificatoarelor dezadaptate

- Un amplificator dezadaptat la intrare ( $\Gamma \neq 0$ )



$$N_2 = N_1 \cdot G \cdot (1 - |\Gamma|^2) + (F - 1) \cdot N_0 \cdot G = N_1 \cdot G \cdot (1 - |\Gamma|^2) + \frac{F - 1}{1 - |\Gamma|^2} \cdot N_0 \cdot G \cdot (1 - |\Gamma|^2)$$

$$N_2 = N_1 \cdot G_{ech} + (F_{ech} - 1) \cdot N_0 \cdot G_{ech}$$

$$F_{ech} = 1 + \frac{F - 1}{1 - |\Gamma|^2} \geq F$$

- Obtinerea unui zgomot redus **necesa**tă o buna adaptare de impedanta

# Exemplu

- ATF-34143 at  $V_{ds}=3V$   $I_d=20mA$ .

- @5GHz

- $S_{11} = 0.64 \angle 139^\circ$
- $S_{12} = 0.119 \angle -21^\circ$
- $S_{21} = 3.165 \angle 16^\circ$
- $S_{22} = 0.22 \angle 146^\circ$
- $F_{min} = 0.54$  (**tipic [dB]**)
- $\Gamma_{opt} = 0.45 \angle 174^\circ$
- $r_n = 0.03$

```
!ATF-34143
IS-PARAMETERS at Vds=3V Id=20mA. LAST UPDATED 01-29-99
```

```
# ghz s ma r 50
```

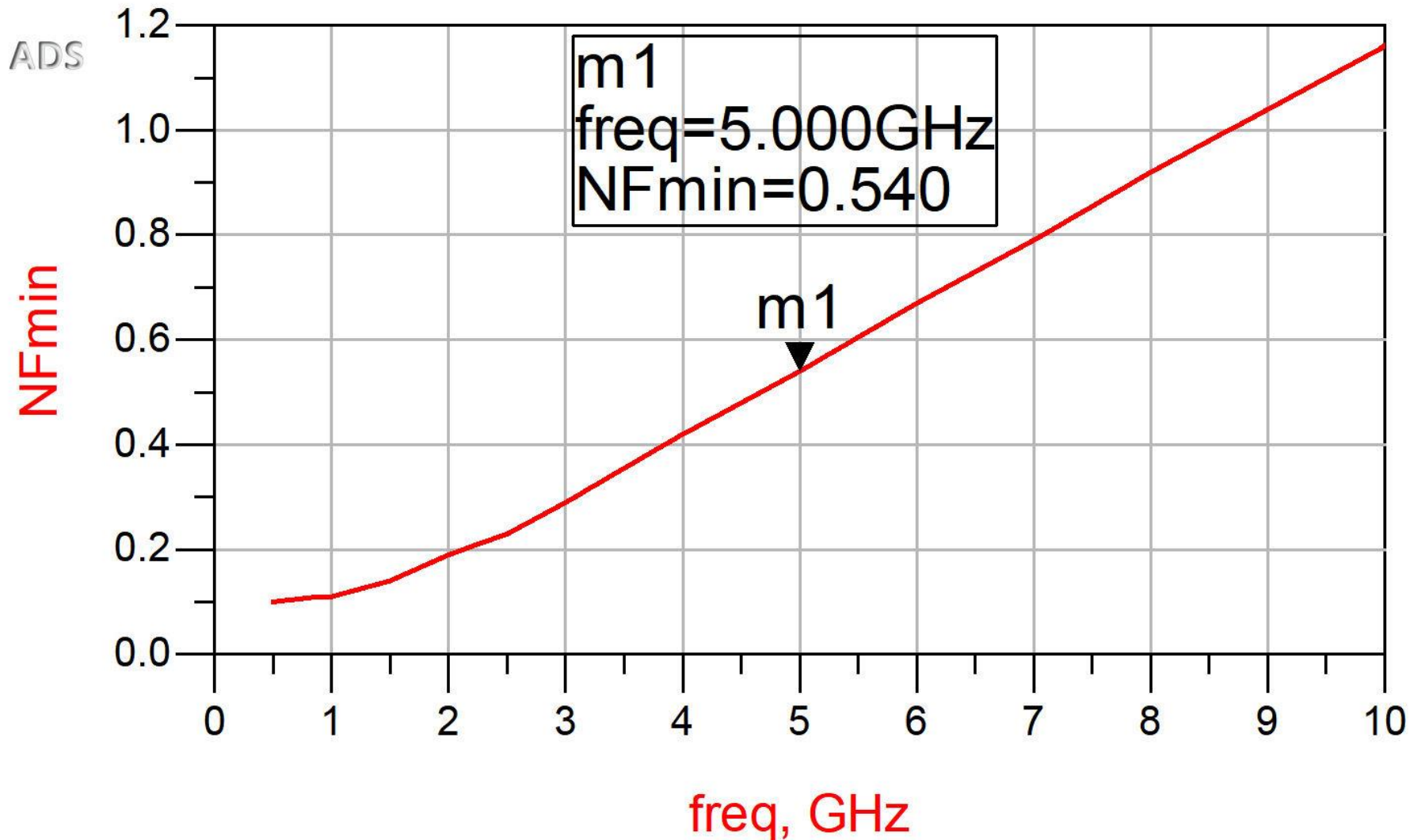
```
2.0 0.75 -126 6.306 90 0.088 23 0.26 -120
2.5 0.72 -145 5.438 75 0.095 15 0.25 -140
3.0 0.69 -162 4.762 62 0.102 7 0.23 -156
4.0 0.65 166 3.806 38 0.111 -8 0.22 174
5.0 0.64 139 3.165 16 0.119 -21 0.22 146
6.0 0.65 114 2.706 -5 0.125 -35 0.23 118
7.0 0.66 89 2.326 -27 0.129 -49 0.25 91
8.0 0.69 67 2.017 -47 0.133 -62 0.29 67
9.0 0.72 48 1.758 -66 0.135 -75 0.34 46
```

```
!FREQ Fopt GAMMA OPT RN/Zo
!GHZ dB MAG ANG -
```

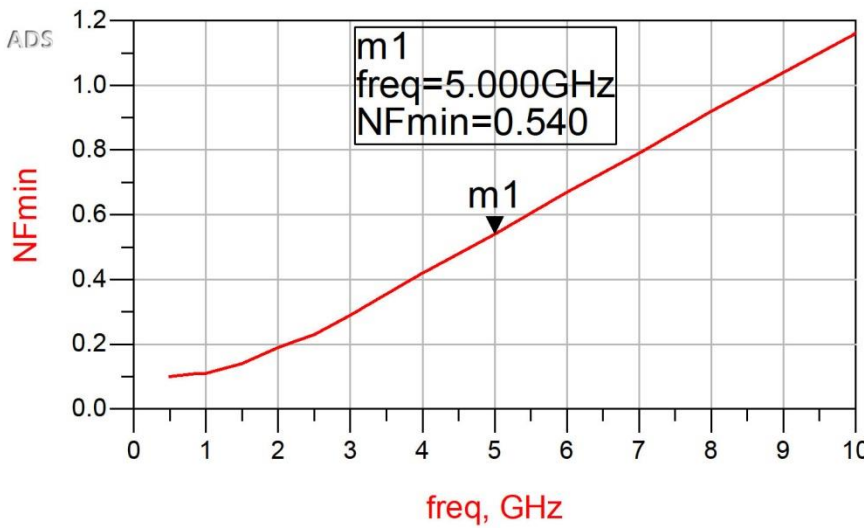
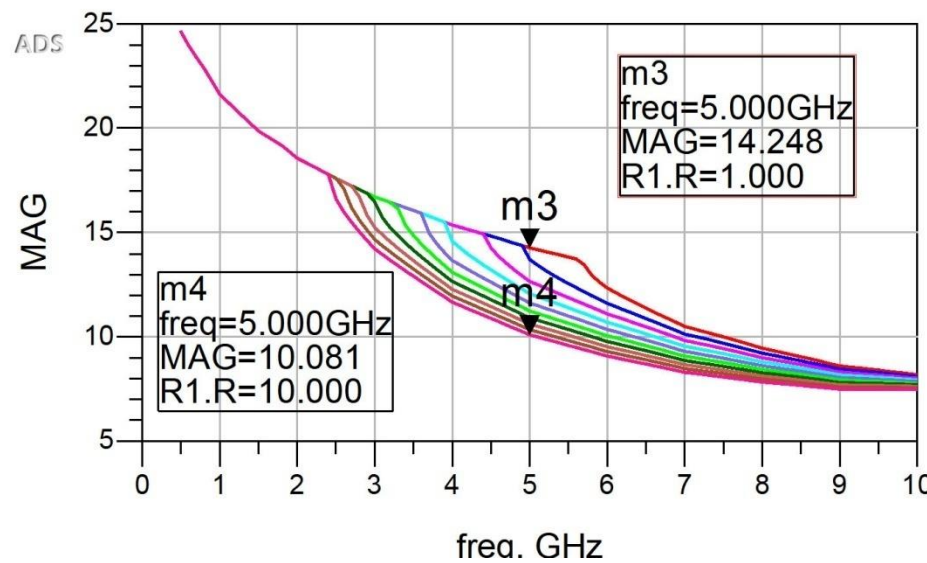
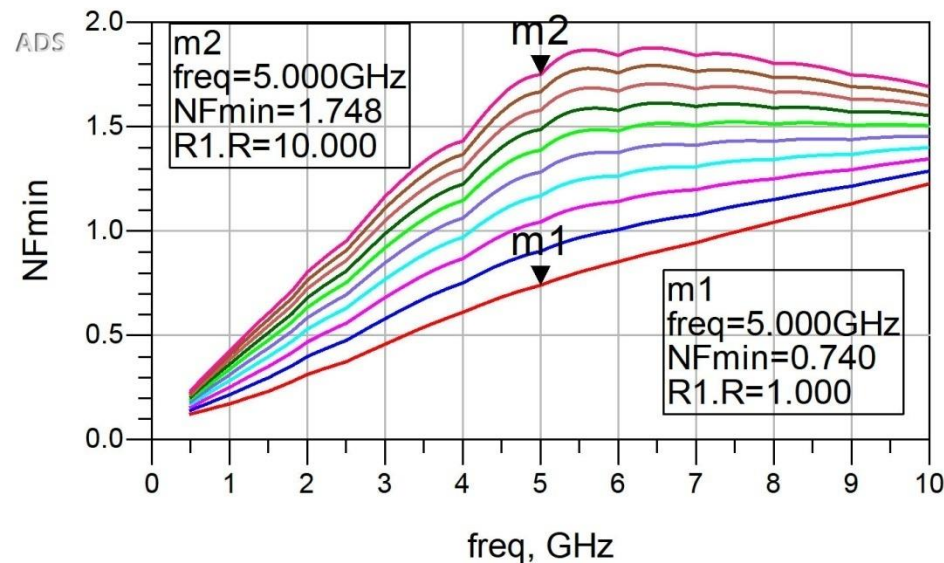
```
2.0 0.19 0.71 66 0.09
2.5 0.23 0.65 83 0.07
3.0 0.29 0.59 102 0.06
4.0 0.42 0.51 138 0.03
```

```
5.0 0.54 0.45 174 0.03
6.0 0.67 0.42 -151 0.05
7.0 0.79 0.42 -118 0.10
8.0 0.92 0.45 -88 0.18
9.0 1.04 0.51 -63 0.30
10.0 1.16 0.61 -43 0.46
```

# Exemplu

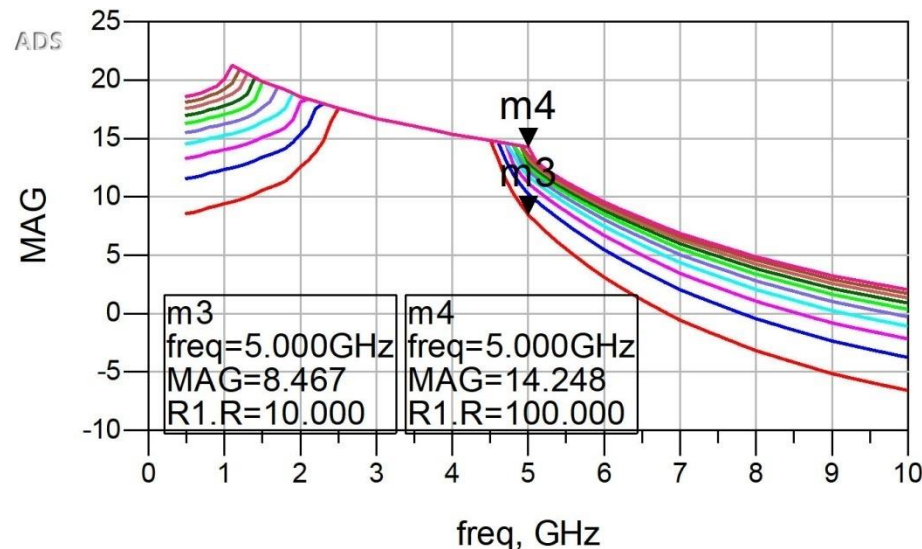
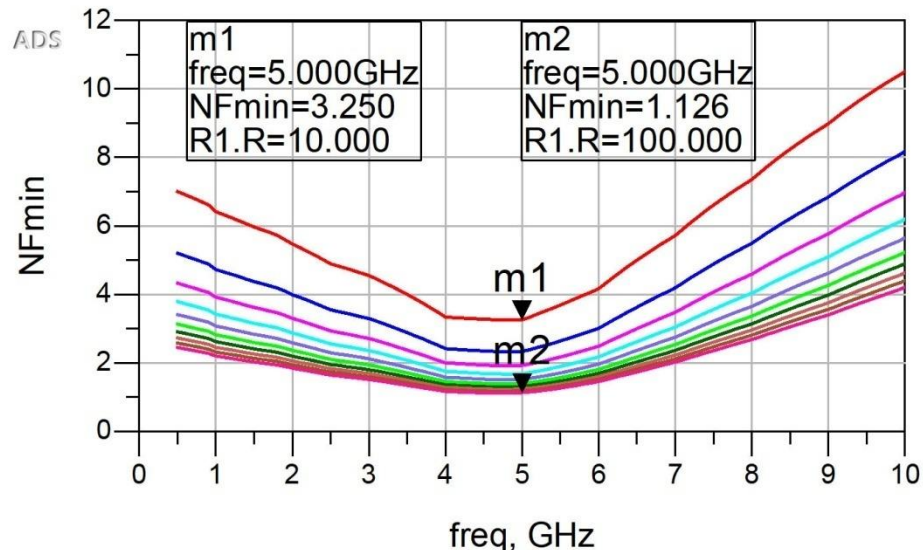


# Stabilizare R serie la intrare

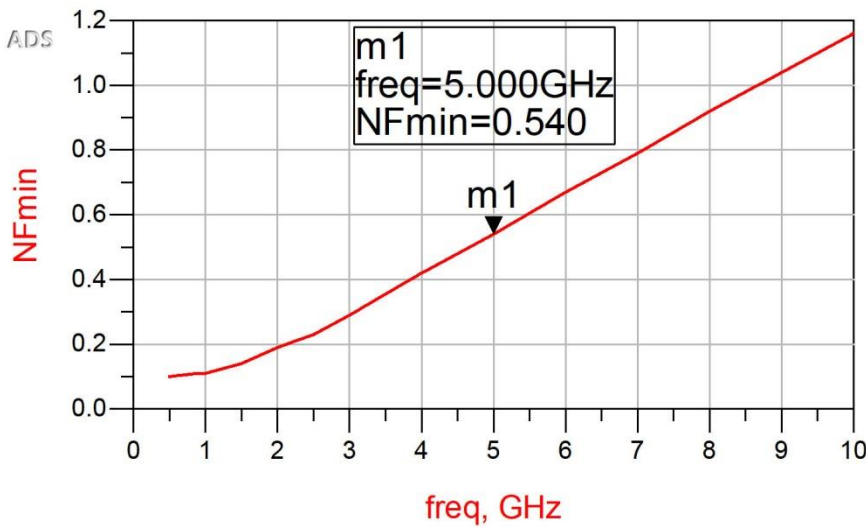


$$R_{SS} = 1 \div 10 \Omega$$

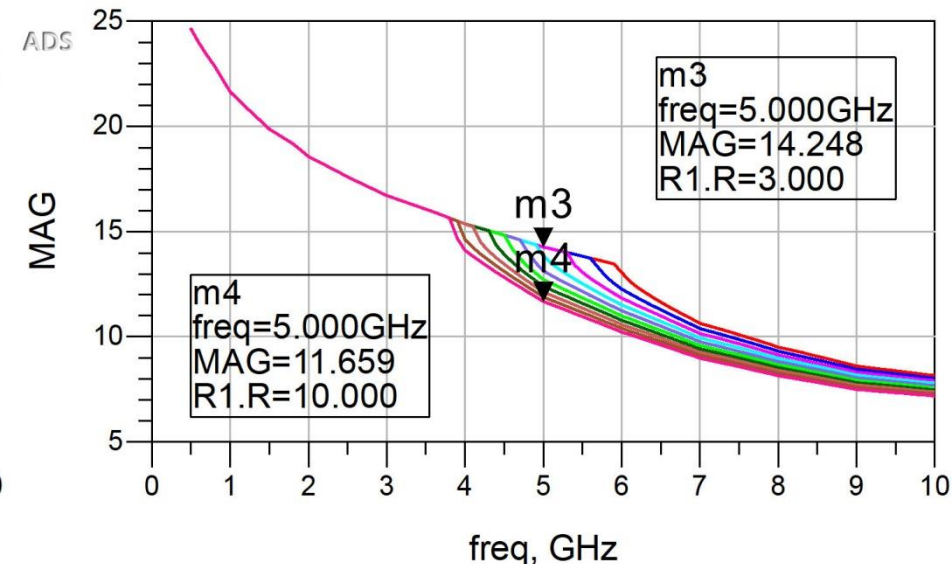
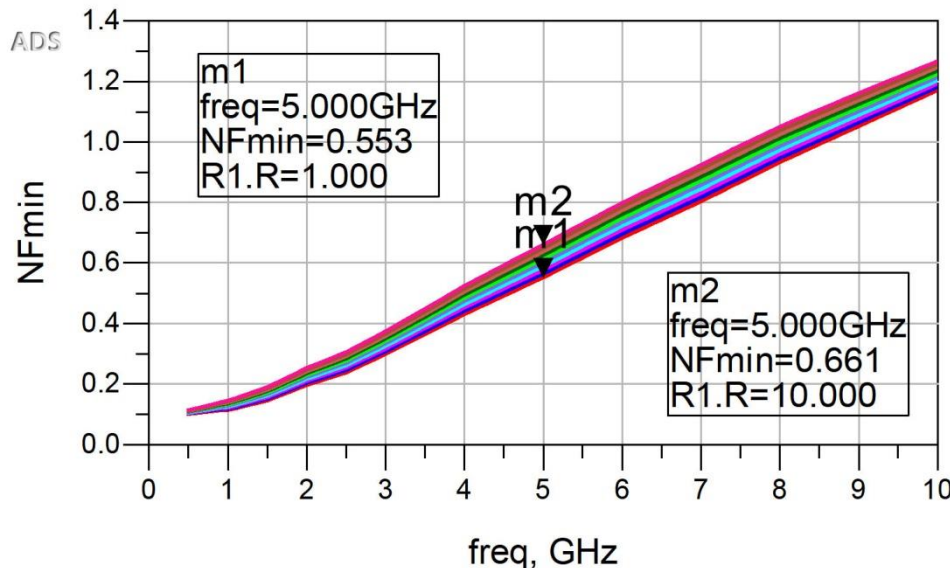
# Stabilizare R paralel la intrare



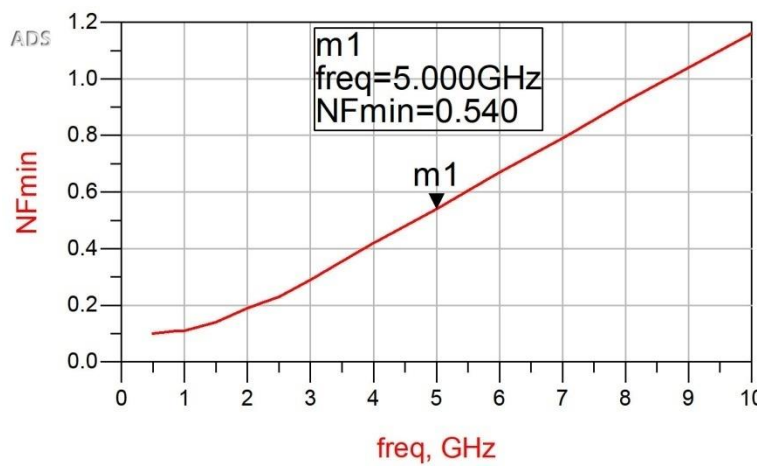
$$R_{PS} = 10 \div 100 \Omega$$



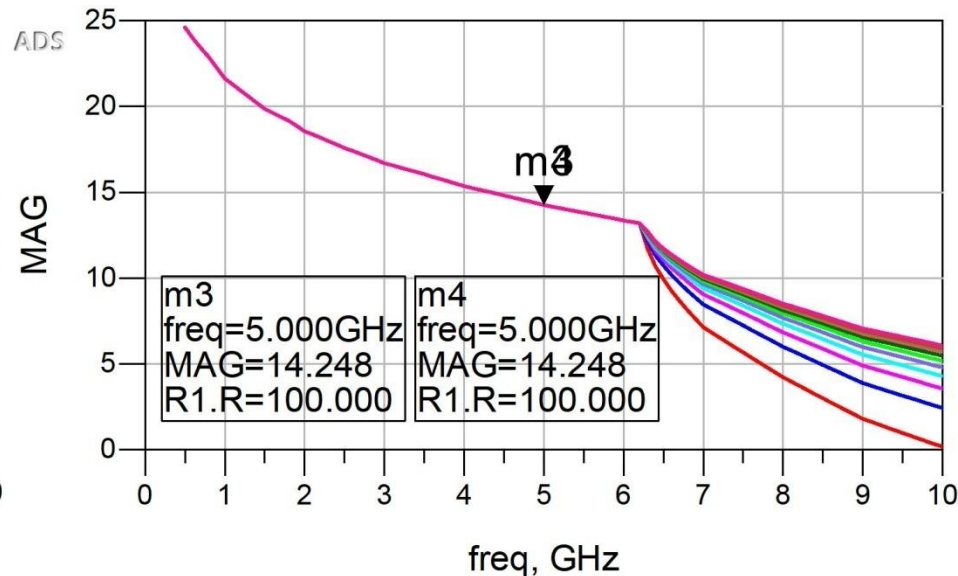
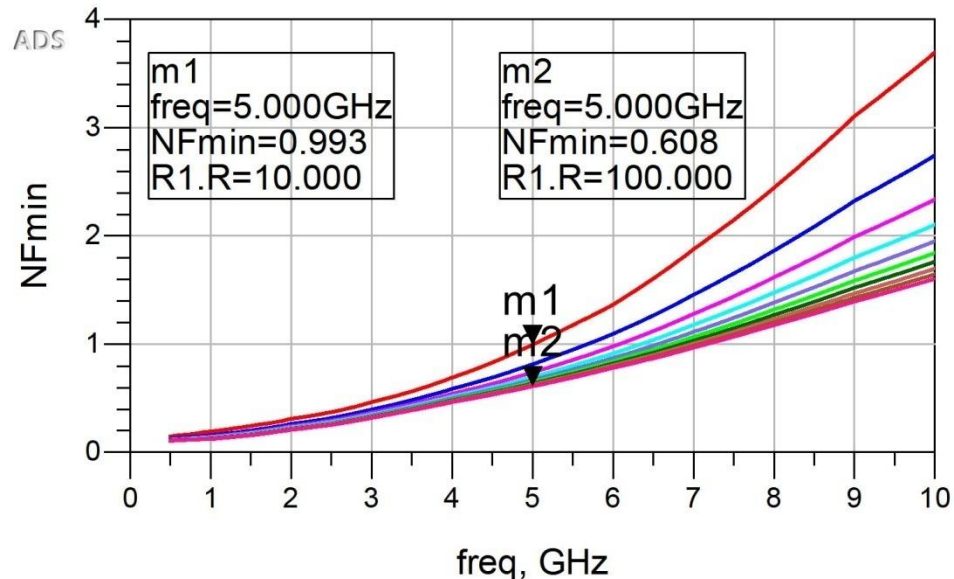
# Stabilizare R serie la ieșire



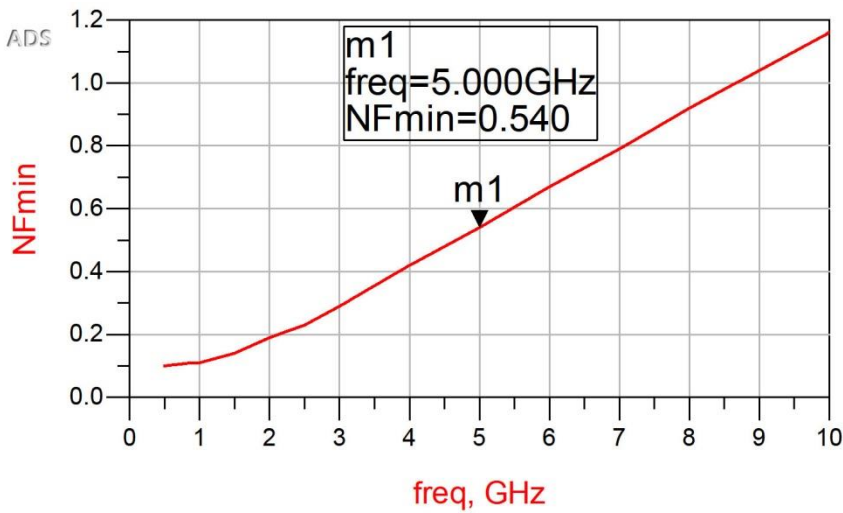
$$R_{SL} = 1 \div 10 \Omega$$



# Stabilizare R paralel la ieșire



$$R_{PL} = 10 \div 100 \Omega$$



# Zgomotul unui amplificator

- Caracterizat de 3 parametri (2 reali + 1 complex):

$$F_{\min}, r_n = \frac{R_N}{Z_0}, \Gamma_{opt}$$

$$F = F_{\min} + \frac{R_N}{G_S} \cdot |Y_S - Y_{opt}|^2 \quad Y_S = \frac{1}{Z_0} \cdot \frac{1 - \Gamma_S}{1 + \Gamma_S} \quad Y_{opt} = \frac{1}{Z_0} \cdot \frac{1 - \Gamma_{opt}}{1 + \Gamma_{opt}}$$

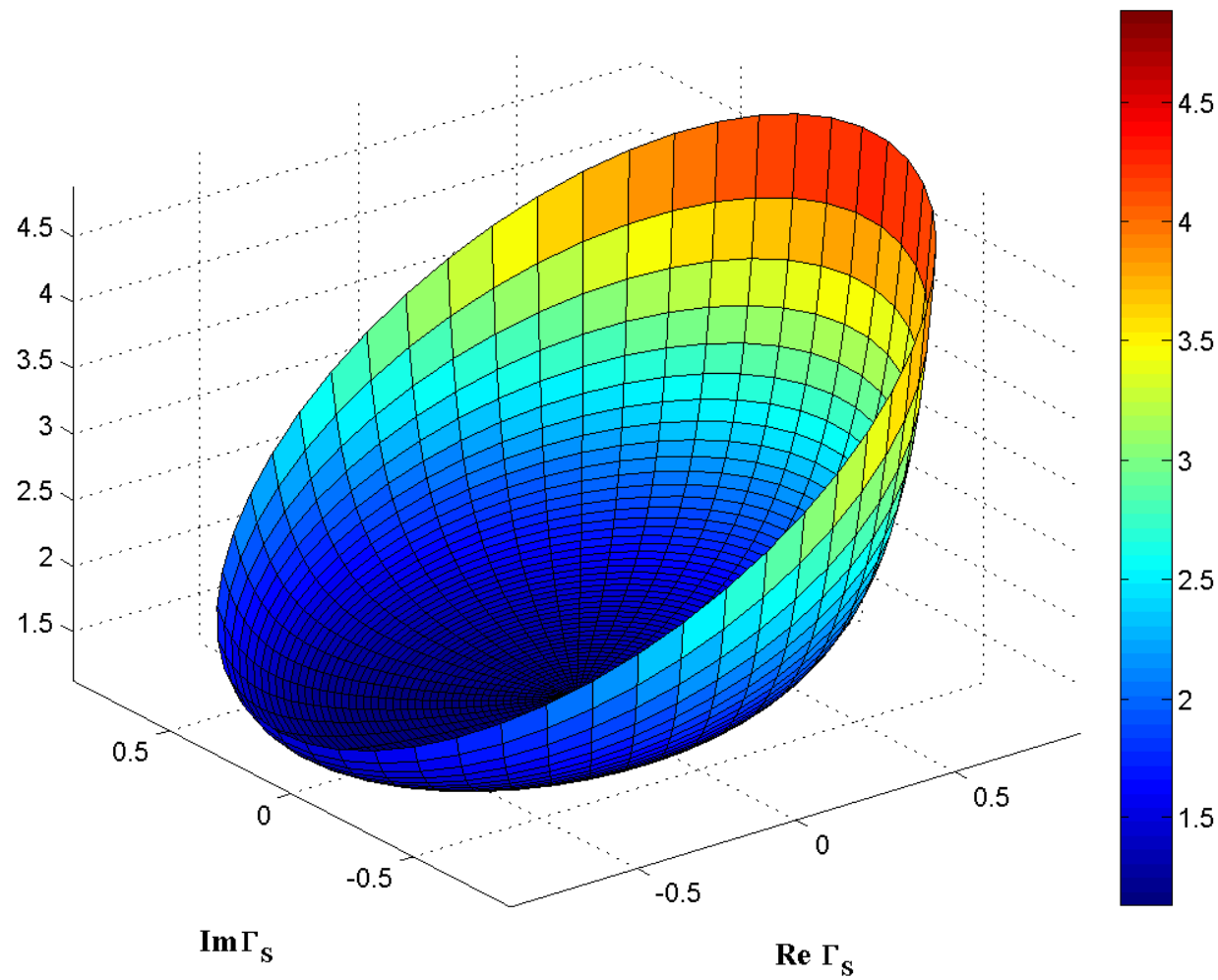
$$F = F_{\min} + 4 \cdot r_n \cdot \frac{|\Gamma_S - \Gamma_{opt}|^2}{(1 - |\Gamma_S|^2) \cdot |1 + \Gamma_{opt}|^2}$$

- $\Gamma_{opt}$  reprezinta coeficientul optim de reflexie la intrare

$$\Gamma_S = \Gamma_{opt} \Rightarrow F = F_{\min}$$

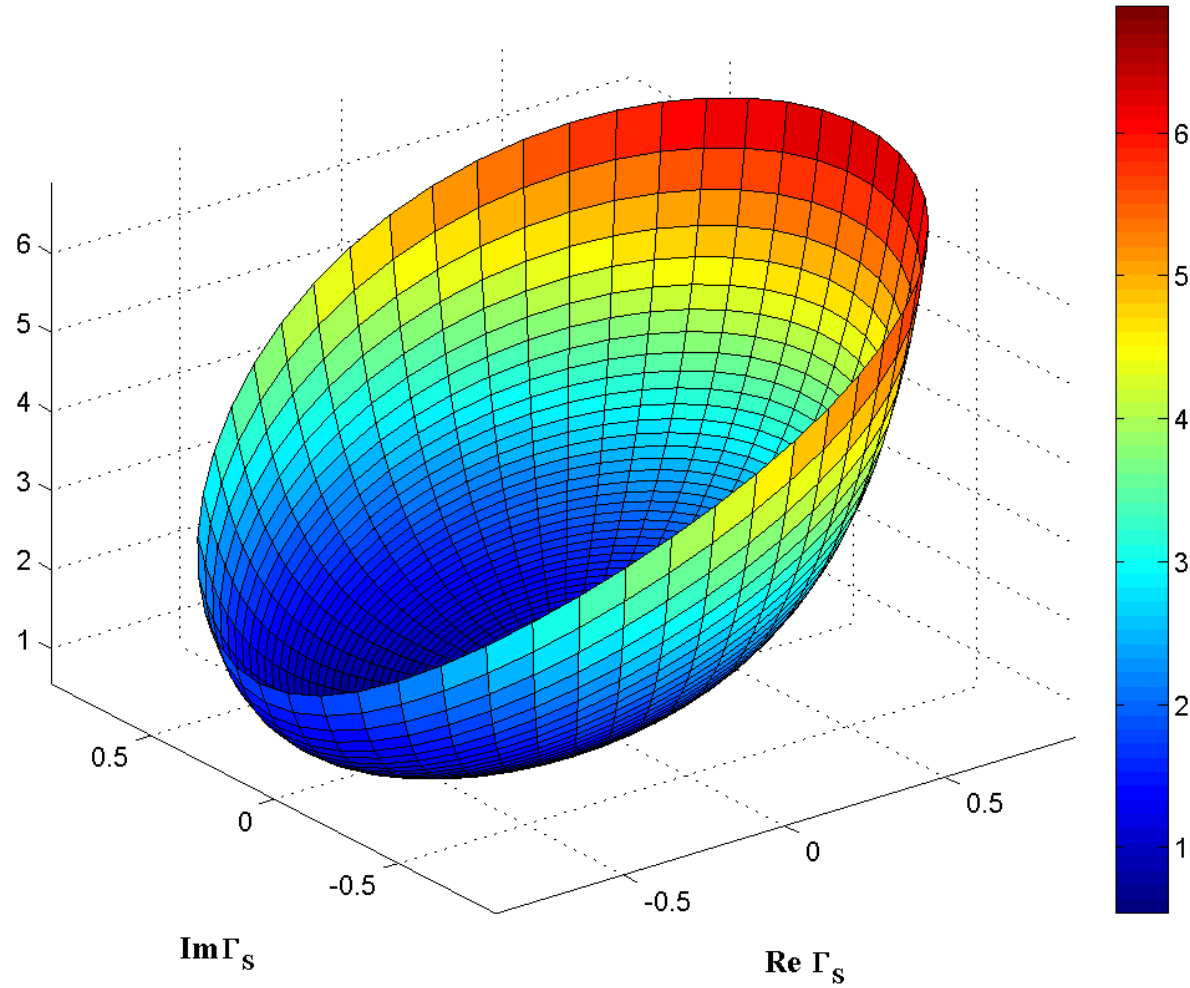
# $F(\Gamma_s)$

$F(\Gamma_s)$

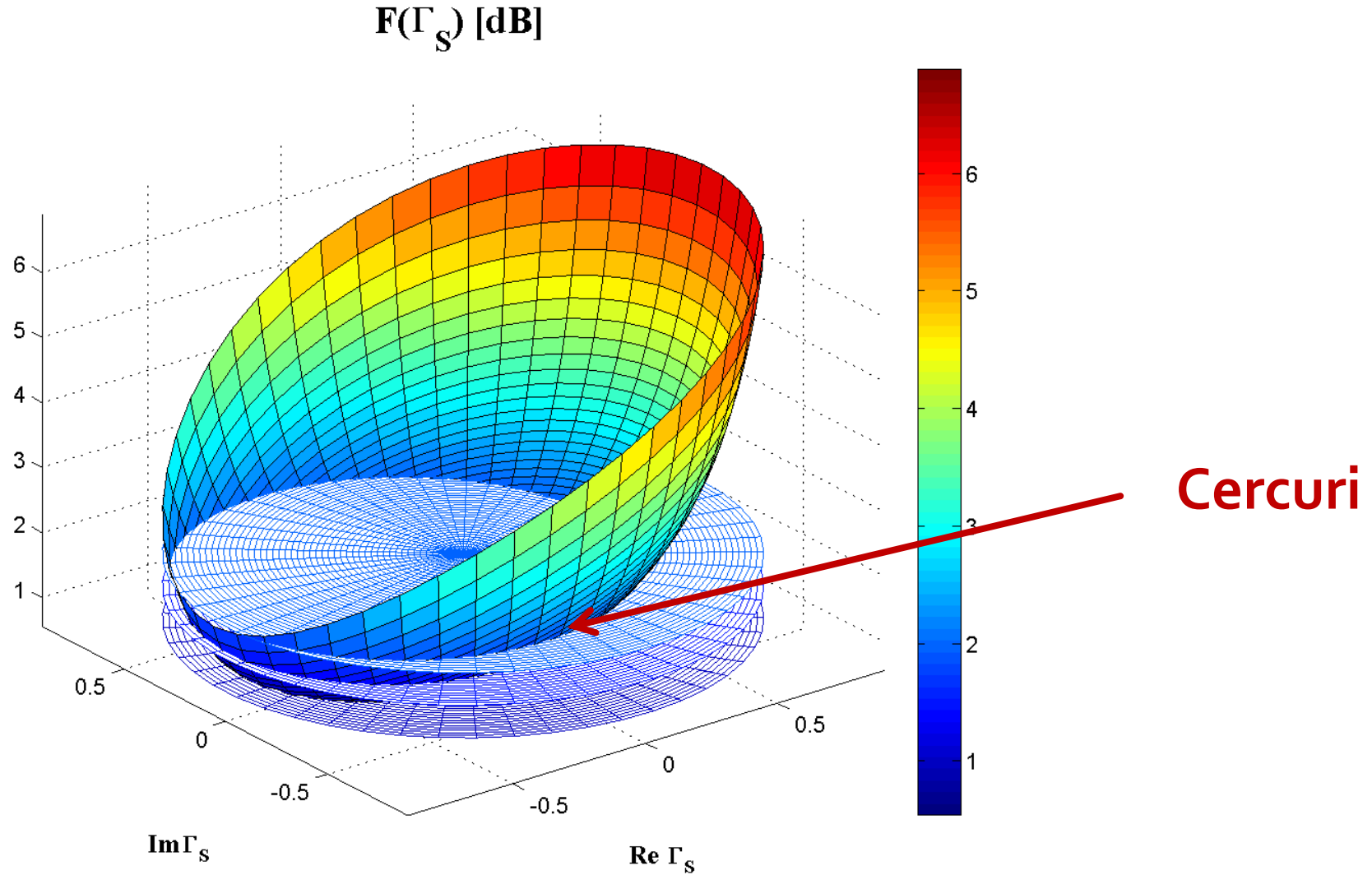


# $F[dB](\Gamma_S)$

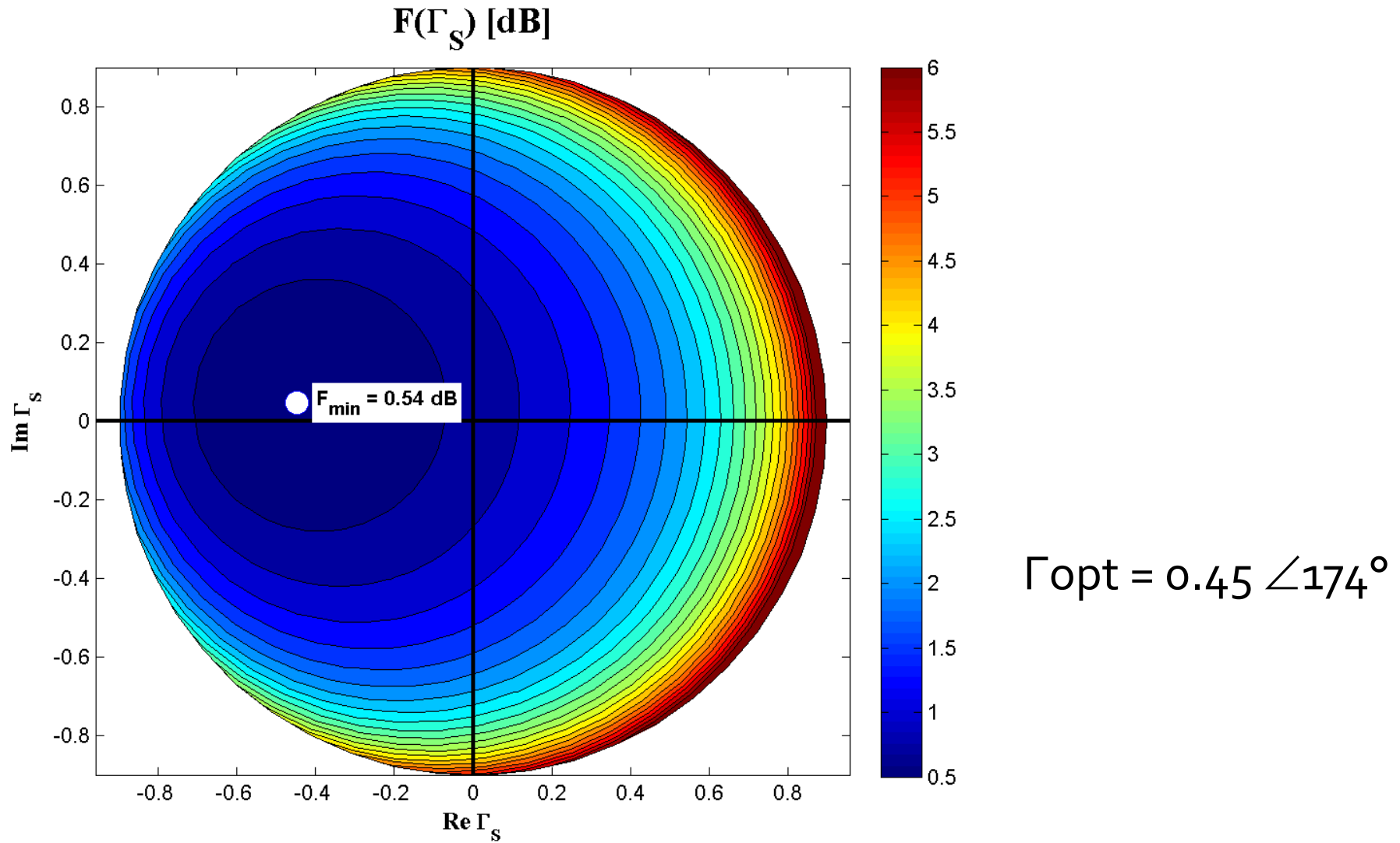
$F(\Gamma_S) [dB]$



# $F[\text{dB}](\Gamma_s)$ , diagrama de nivel



# $G_S[\text{dB}](\Gamma_S)$ , diagrama de nível



# Cercuri de zgromot constant

- Se noteaza cu  $N$  (parametru de zgromot)
  - $N$  constant pentru  $F$  constant

$$N = \frac{|\Gamma_S - \Gamma_{opt}|^2}{1 - |\Gamma_S|^2} = \frac{F - F_{\min}}{4 \cdot r_n} \cdot \left|1 + \Gamma_{opt}\right|^2$$

$$(\Gamma_S - \Gamma_{opt}) \cdot (\Gamma_S^* - \Gamma_{opt}^*) = N \cdot (1 - |\Gamma_S|^2)$$

$$\Gamma_S \cdot \Gamma_S^* + N \cdot |\Gamma_S|^2 - (\Gamma_S \cdot \Gamma_{opt}^* - \Gamma_S^* \cdot \Gamma_{opt}) + \Gamma_{opt} \cdot \Gamma_{opt}^* = N$$

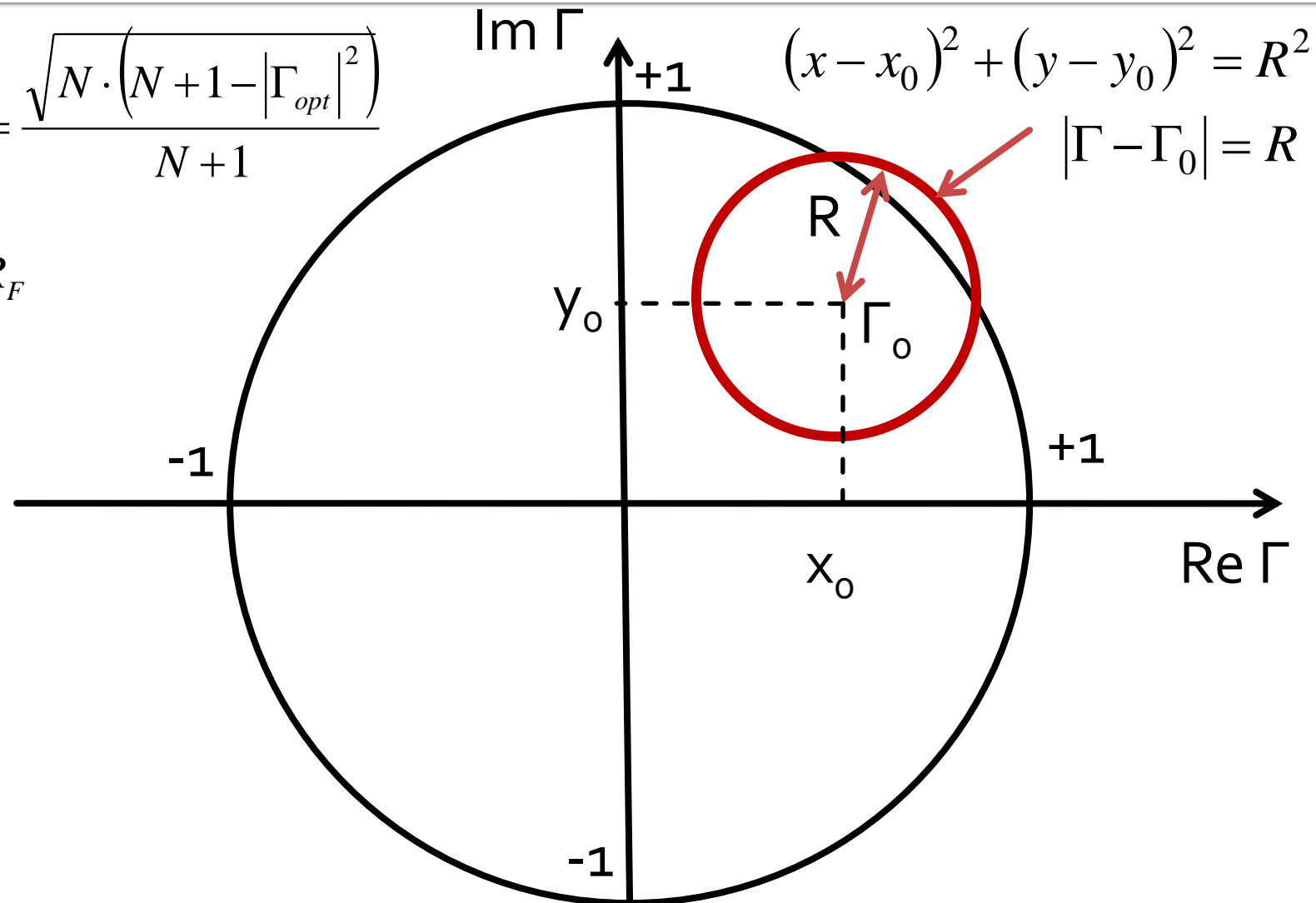
$$\Gamma_S \cdot \Gamma_S^* - \frac{\Gamma_S \cdot \Gamma_{opt}^* - \Gamma_S^* \cdot \Gamma_{opt}}{N+1} = \frac{N - |\Gamma_{opt}|^2}{N+1}$$

$$+ \frac{|\Gamma_{opt}|^2}{(N+1)^2}$$

# Zgomot

$$\left| \Gamma_s - \frac{\Gamma_{opt}}{N+1} \right| = \frac{\sqrt{N \cdot (N+1 - |\Gamma_{opt}|^2)}}{N+1}$$

$$|\Gamma_s - C_F| = R_F$$



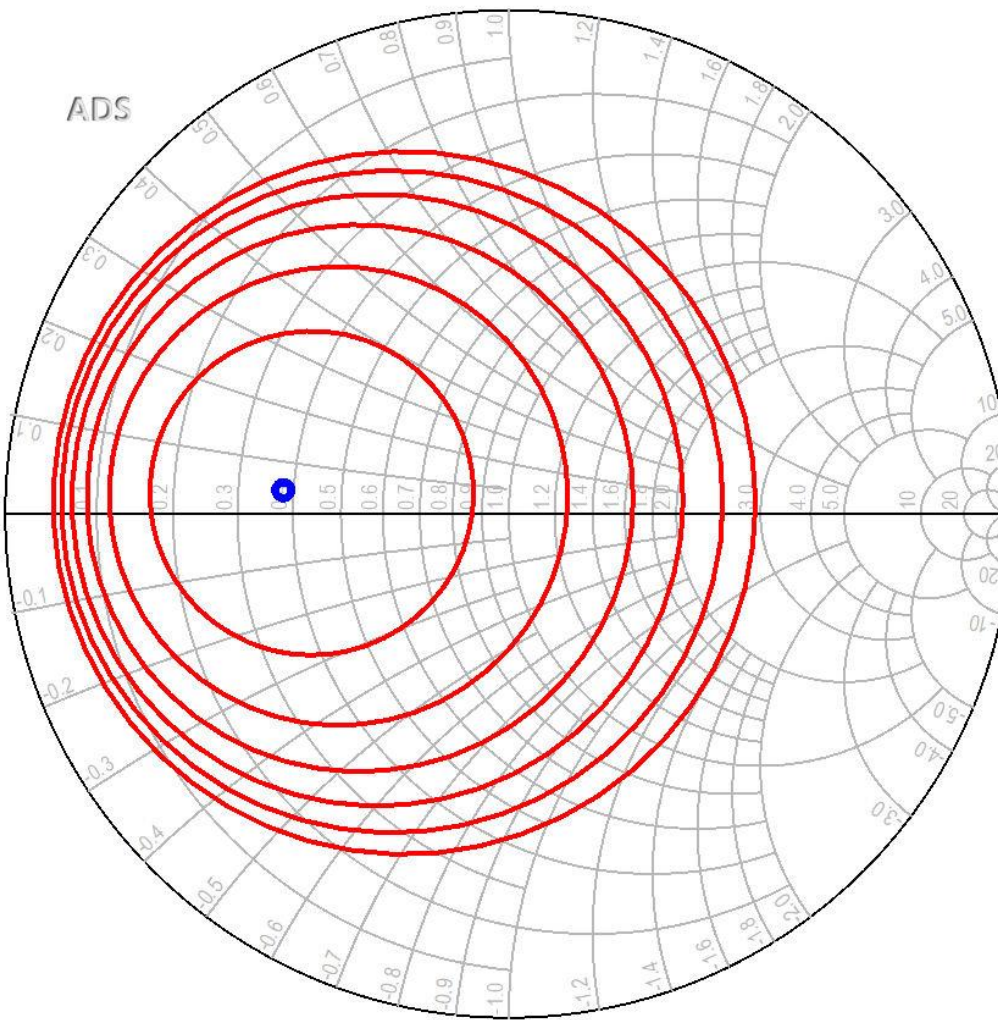
# Cercuri de zgomot constant

$$\left| \Gamma_S - \frac{\Gamma_{opt}}{N+1} \right| = \frac{\sqrt{N \cdot (N+1 - |\Gamma_{opt}|^2)}}{N+1}$$
$$|\Gamma_S - C_F| = R_F$$
$$C_F = \frac{\Gamma_{opt}}{N+1}$$
$$R_F = \frac{\sqrt{N \cdot (N+1 - |\Gamma_{opt}|^2)}}{N+1}$$

- Locul geometric al punctelor caracterizate de factor de zgomot constant este un cerc
- **Interpretare:** Orice punct  $\Gamma_S$  care reprezentat in planul complex se gaseste **pe** cercul desenat pentru  $F_{cerc}$  va conduce la obtinerea factorului de zgomot  $F = F_{cerc}$ 
  - Orice punct **in exteriorul** acestui cerc va genera un factor de zgomot  $F > F_{cerc}$
  - Orice punct **in interiorul** acestui cerc va genera un factor de zgomot  $F < F_{cerc}$

# ADS

$S_{opt}$   
CZ

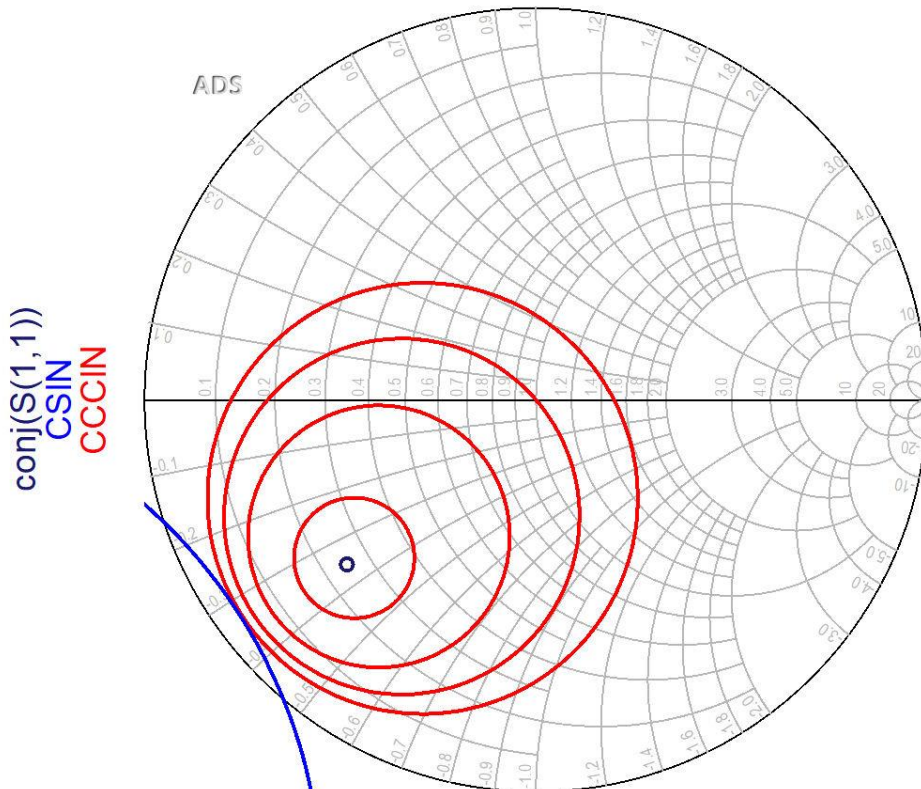
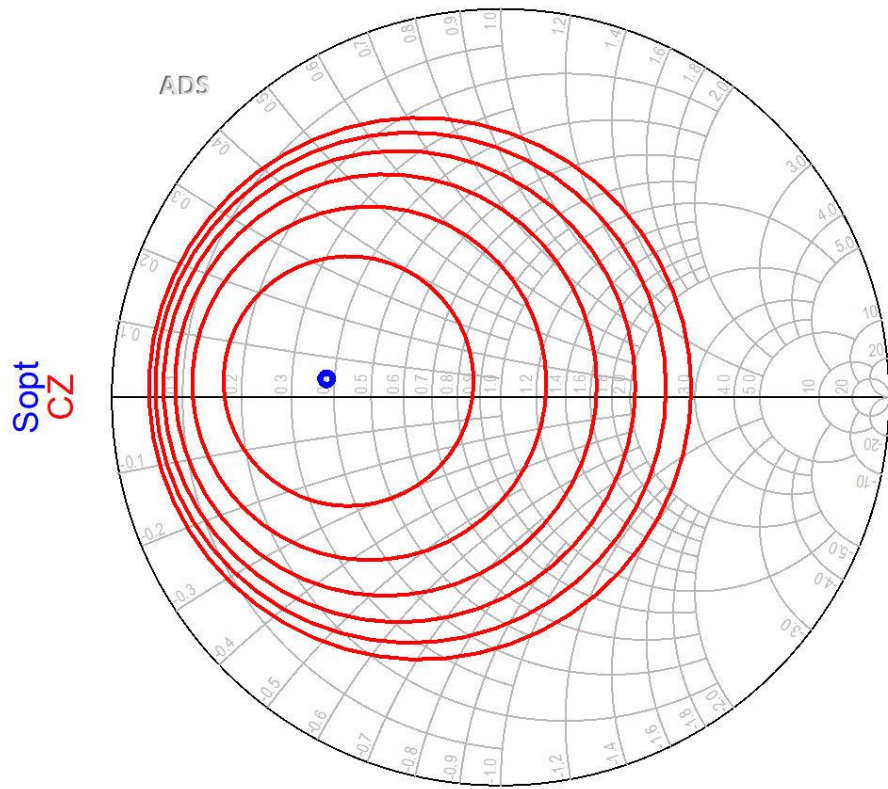


# Cercuri de zgomot constant

- Se observa ca zgomotul generat de tranzistor depinde numai de modul in care se realizeaza adaptarea la intrare
- Se poate obtine un minim ( $F_{\min}$  care este parametru de catalog pentru tranzistor)
- Daca se urmareste realizarea unui amplificator de zgomot redus (**LNA**) o metoda uzuala este:
  - adaptarea la intrare a tranzistorului din considerente de zgomot
  - adaptarea la iesire utilizata pentru compensarea castigului (daca sunt elemente cu pierderi adaptarea la iesire poate adauga zgomot propriu, dar nu se influenteaza in nici un fel zgomotul generat de tranzistor)

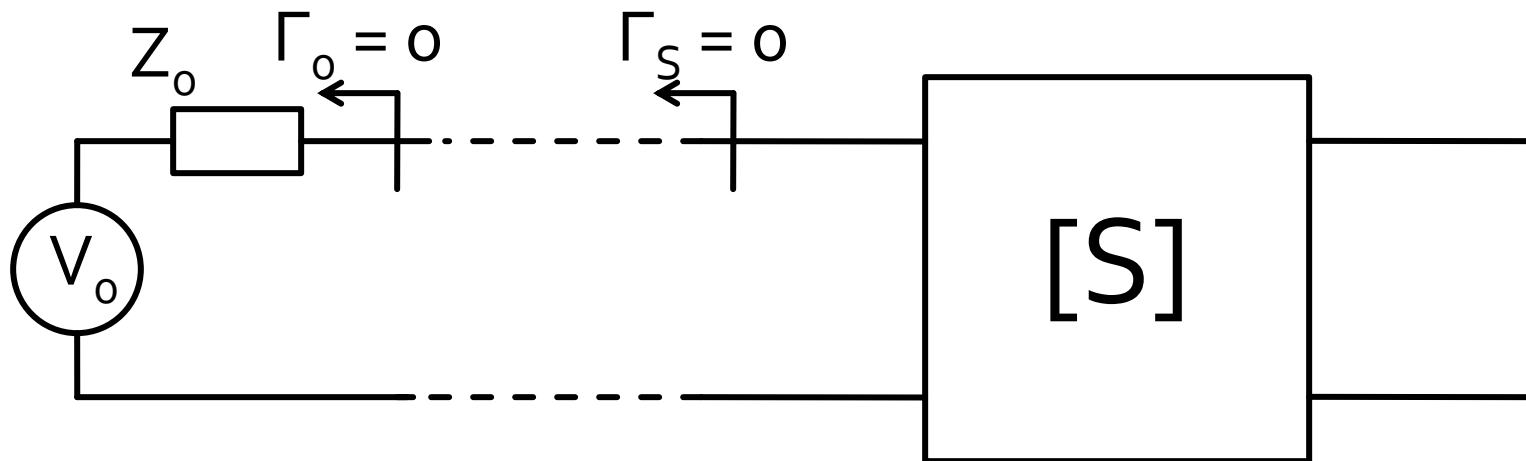
# LNA – Low Noise Amplifier

- De obicei un tranzistor potrivit pentru implementarea unui LNA la o anumita frecventa va avea cercurile de castig la intrare si cercurile de zgomot in aceeasi zona pentru  $\Gamma_s$



# Adaptare – 1

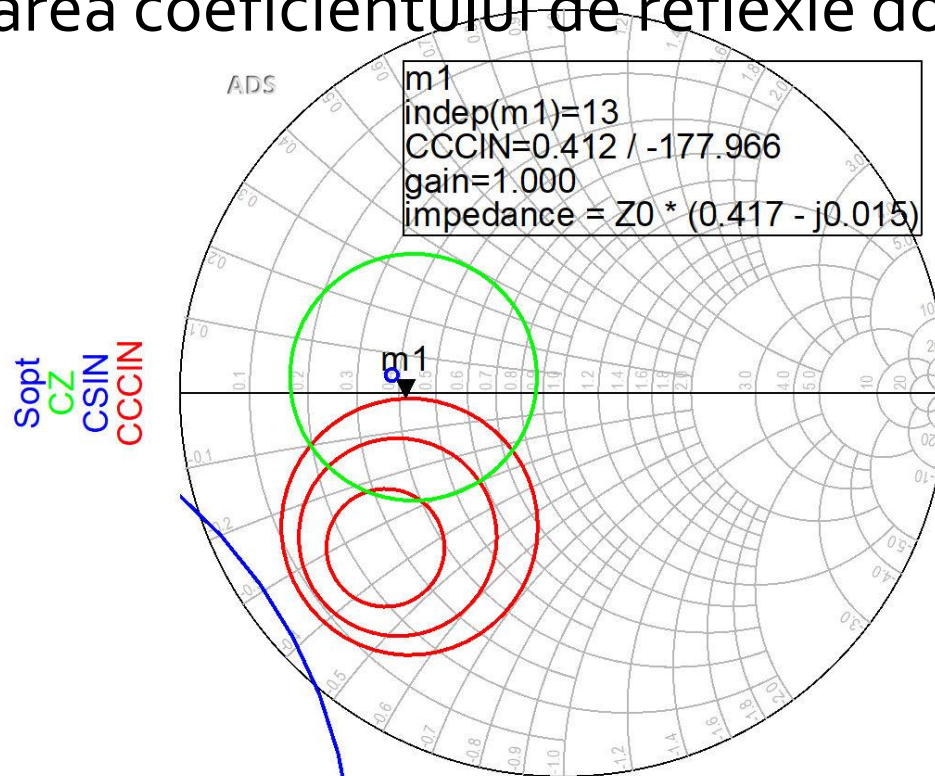
- Conectarea amplificatorului (tranzistorului) direct la sursa de semnal oferă un coeficient de reflexie la intrarea tranzistorului egal cu **0** (complex,  $\Gamma_o = 0 + 0 \cdot j$ )
  - de cele mai multe ori acest coeficient de reflexie nu oferă condiții optime de castig si/sau zgomot



# Adaptare – 2

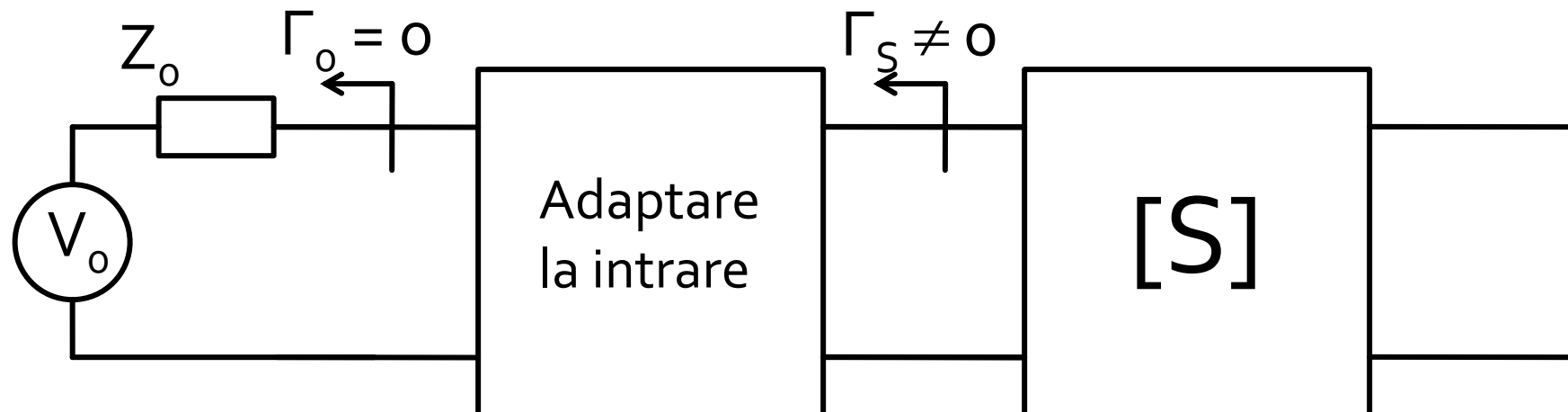
- Se deseneaza pe diagrama Smith cercurile de stabilitate/castig/zgomot, in functie de aplicatia
- Se alege punctul cu o pozitionare dorita relativ la aceste cercuri (de asemenea dependent de aplicatie)
- Se determina valoarea coeficientului de reflexie dorit la intrare  $\Gamma_S$

$$\Gamma_S = 0.412 \angle -177.966^\circ$$



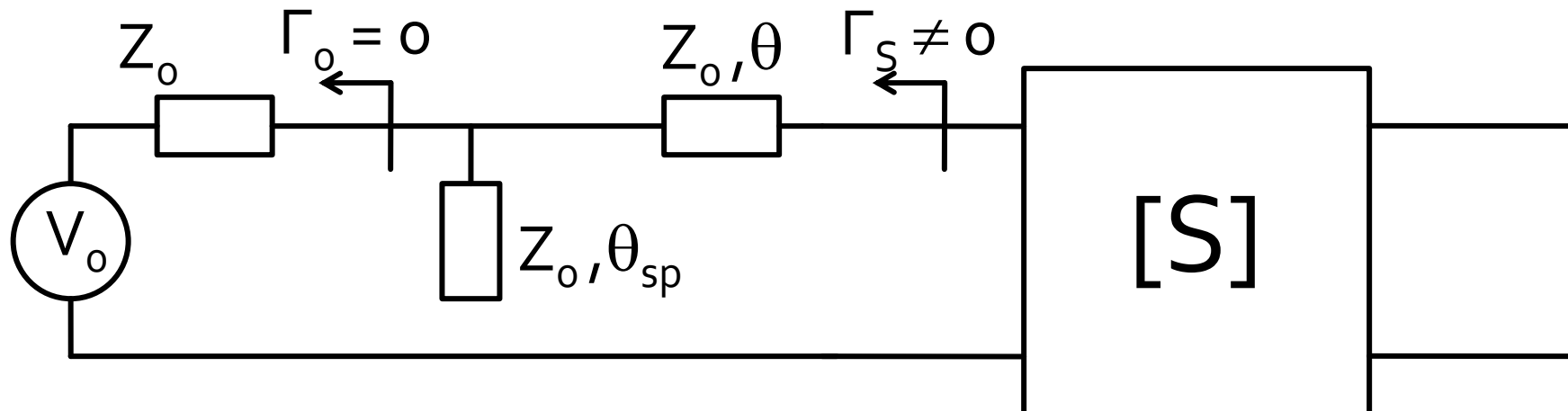
# Adaptare – 3

- Se interpune reteaua de adaptare la intrare care permite obtinerea lui  $\Gamma_S$  determinat anterior



# Adaptare – 4

- Varianta cea mai simplă de implementare, și pentru care există relații analitice de calcul constă în introducerea (în ordine, de la tranzistor spre sursă  $Z_0$ ):
  - o secțiune de linie serie, cu impedanța caracteristică  $Z_0$  și lungime electrică  $\theta$
  - un **stub paralel**, lasat în gol la capăt, realizat dintr-o linie cu impedanța caracteristică  $Z_0$  și lungime electrică  $\theta_{sp}$

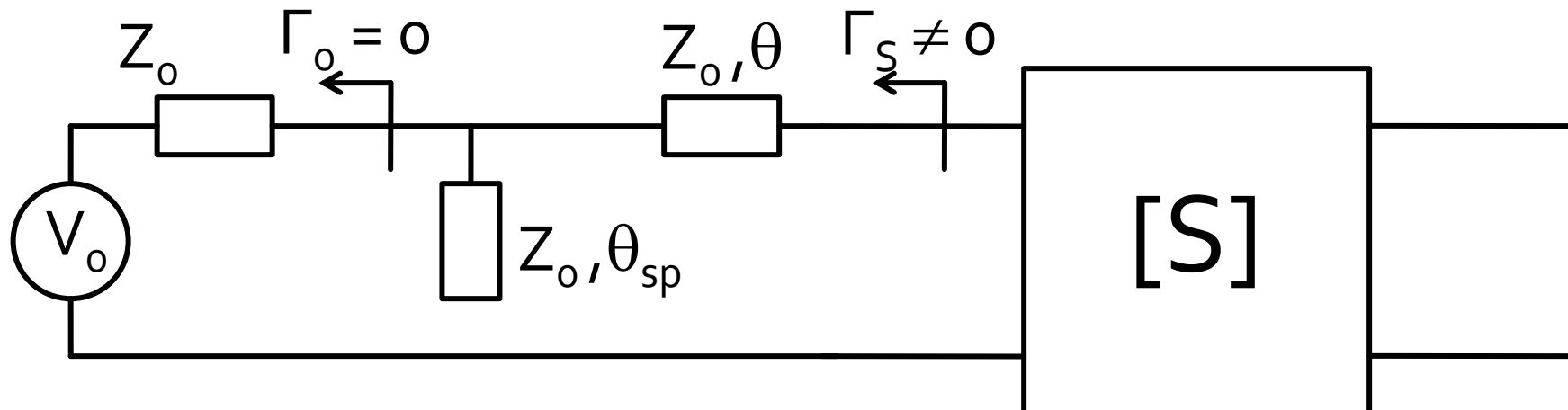


# Adaptare – 5

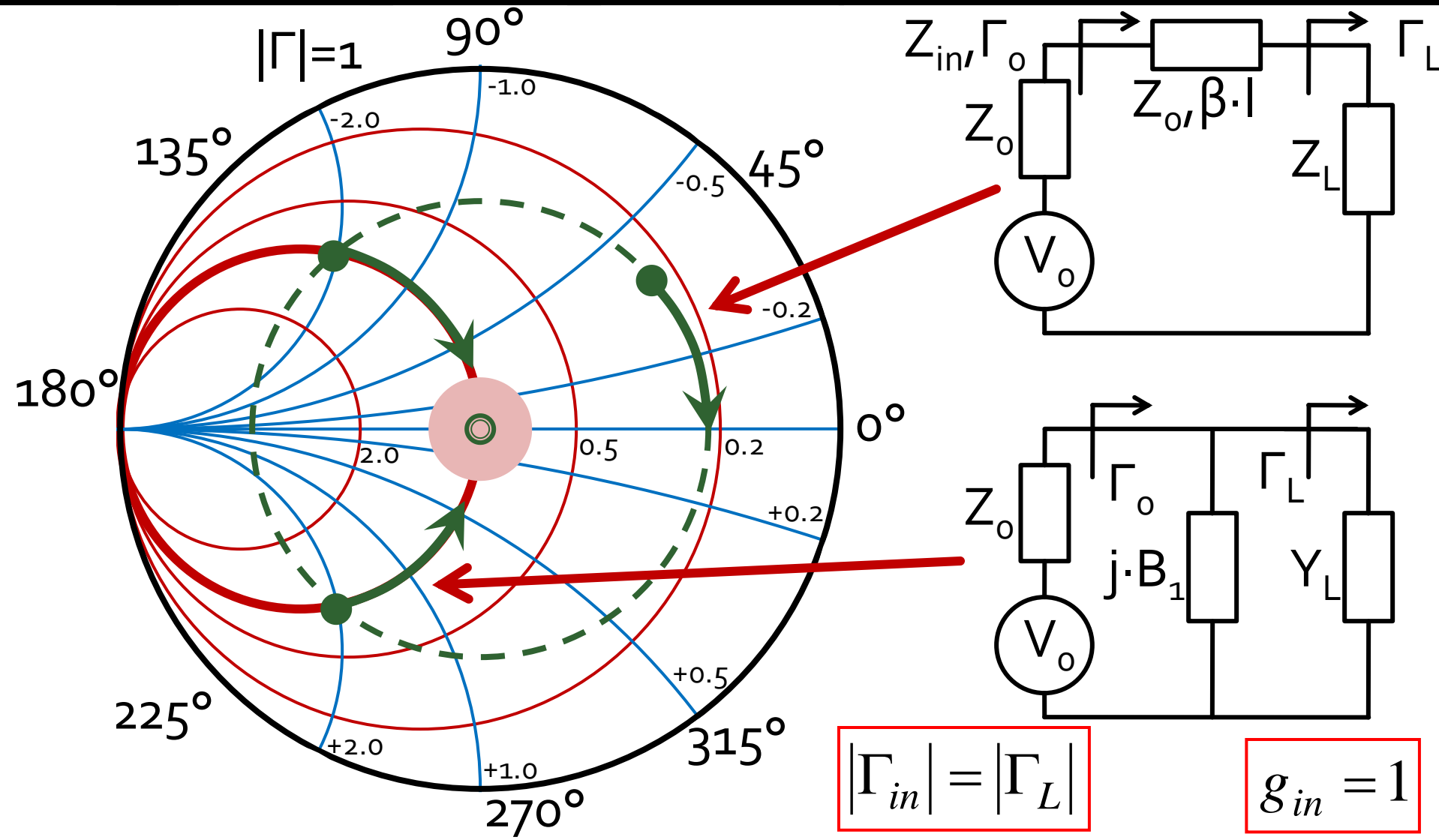
- Relatiile de calcul depind numai de  $\Gamma_s$  (modul si faza)

$$\cos(\varphi_s + 2\theta) = -|\Gamma_s| \quad \tan \theta_{sp} = \frac{\mp 2 \cdot |\Gamma_s|}{\sqrt{1 - |\Gamma_s|^2}}$$

- Prima ecuatie are doua solutii, semnul solutiei alese impune semnul utilizat in a doua ecuatie



# Adaptare cu stub-uri, C8



# Exemplu, LNA @ 5 GHz

- ATF-34143 at  $V_{ds}=3V$   $I_d=20mA$ .
- @5GHz
  - $S_{11} = 0.64 \angle 139^\circ$
  - $S_{12} = 0.119 \angle -21^\circ$
  - $S_{21} = 3.165 \angle 16^\circ$
  - $S_{22} = 0.22 \angle 146^\circ$
  - $F_{min} = 0.54$  (**tipic [dB]**)
  - $\Gamma_{opt} = 0.45 \angle 174^\circ$
  - $r_n = 0.03$

```
!ATF-34143
IS-PARAMETERS at Vds=3V Id=20mA. LAST UPDATED 01-29-99
```

```
# ghz s ma r 50
```

```
2.0 0.75 -126 6.306 90 0.088 23 0.26 -120
2.5 0.72 -145 5.438 75 0.095 15 0.25 -140
3.0 0.69 -162 4.762 62 0.102 7 0.23 -156
4.0 0.65 166 3.806 38 0.111 -8 0.22 174
5.0 0.64 139 3.165 16 0.119 -21 0.22 146
6.0 0.65 114 2.706 -5 0.125 -35 0.23 118
7.0 0.66 89 2.326 -27 0.129 -49 0.25 91
8.0 0.69 67 2.017 -47 0.133 -62 0.29 67
9.0 0.72 48 1.758 -66 0.135 -75 0.34 46
```

```
!FREQ Fopt GAMMA OPT RN/Zo
!GHZ dB MAG ANG -
```

```
2.0 0.19 0.71 66 0.09
2.5 0.23 0.65 83 0.07
3.0 0.29 0.59 102 0.06
4.0 0.42 0.51 138 0.03
5.0 0.54 0.45 174 0.03
6.0 0.67 0.42 -151 0.05
7.0 0.79 0.42 -118 0.10
8.0 0.92 0.45 -88 0.18
9.0 1.04 0.51 -63 0.30
10.0 1.16 0.61 -43 0.46
```

# Exemplu, LNA @ 5 GHz

- Amplificator de zgomot redus
- La intrare e necesar un compromis intre
  - zgomot (cerc de zgomot constant ~~la intrare~~)
  - castig (cerc de castig constant la intrare)
  - stabilitate (cerc de stabilitate la intrare)
- La iesire zgomotul **nu intervine** (nu exista influenta). Compromis intre:
  - castig (cerc de castig constant la iesire)
  - stabilitate (cerc de stabilitate la iesire)

# Exemplu, LNA @ 5 GHz

$$U = \frac{|S_{12}| \cdot |S_{21}| \cdot |S_{11}| \cdot |S_{22}|}{(1 - |S_{11}|^2) \cdot (1 - |S_{22}|^2)} = 0.094 \quad -0.783 \text{ dB} < G_T[\text{dB}] - G_{TU}[\text{dB}] < 0.861 \text{ dB}$$

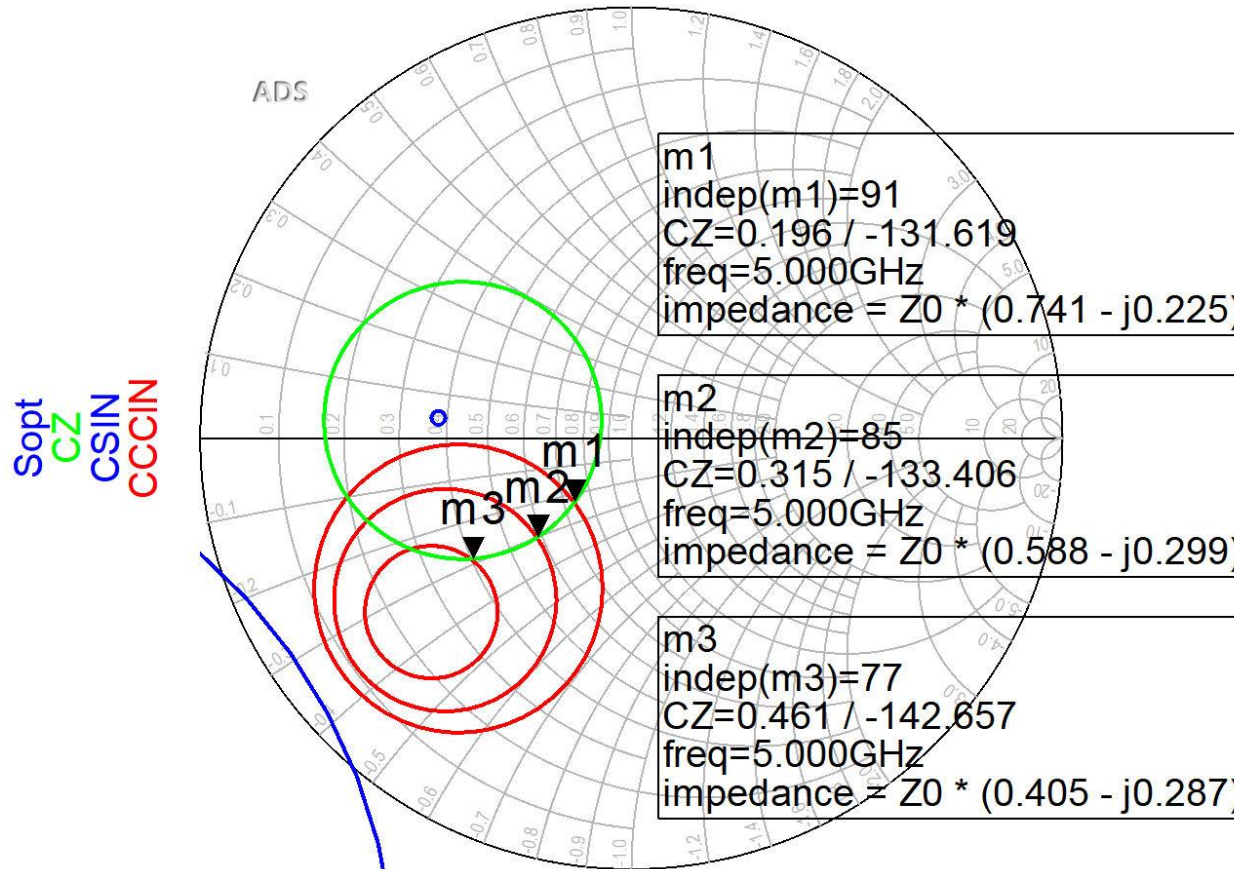
$$G_{TU\max} = \frac{1}{1 - |S_{11}|^2} \cdot |S_{21}|^2 \cdot \frac{1}{1 - |S_{22}|^2} = 17.83 \quad G_{TU\max}[\text{dB}] = 12.511 \text{ dB}$$

$$G_0 = |S_{21}|^2 = 10.017 = 10.007 \text{ dB}$$

$$G_{S\max} = \frac{1}{1 - |S_{11}|^2} = 1.694 = 2.289 \text{ dB} \quad G_{L\max} = \frac{1}{1 - |S_{22}|^2} = 1.051 = 0.215 \text{ dB}$$

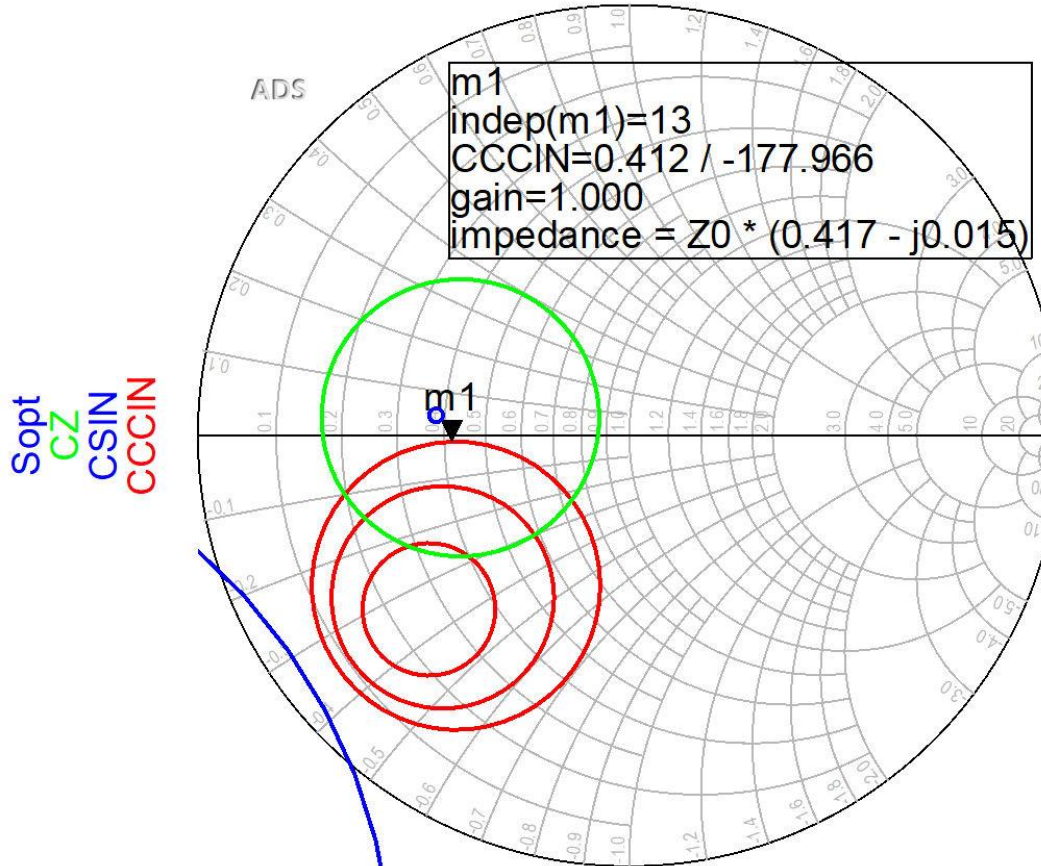
- În cazul particular prezent  $G_{L\max} = 0.21 \text{ dB}$ , amplificatorul ar putea functiona cu ieșirea conectată direct la o sarcină de  $50\Omega$
- Absenta retelei de adaptare la ieșire nu conduce la o pierdere importantă de castig, dar elimina posibilitatea ca prin reglaj să se compenseze compromisul castig/zgomot introdus la intrare

# Adaptare la intrare



- Pentru reteaua de adaptare la intrare
  - CZ: 0.75dB
  - CCCIN: 1dB, 1.5dB, 2 dB
- Aleg (Q mic → banda largă) pozitia m1

# Adaptare la intrare



- Daca se sacrifică 1.2dB castig la intrare pentru conditii convenabile F,Q (Gs = 1 dB)
- Se prefera obtinerea unui zgomot mai mic

# Adaptare la intrare

## ■ Pozitia m1 de pe grafic

$$\Gamma_S = 0.412 \angle -178^\circ$$

$$|\Gamma_S| = 0.412; \quad \varphi = -178^\circ$$

$$\cos(\varphi + 2\theta) = -|\Gamma_S|$$

$$\text{Im}[y_S(\theta)] = \frac{\mp 2 \cdot |\Gamma_S|}{\sqrt{1 - |\Gamma_S|^2}}$$

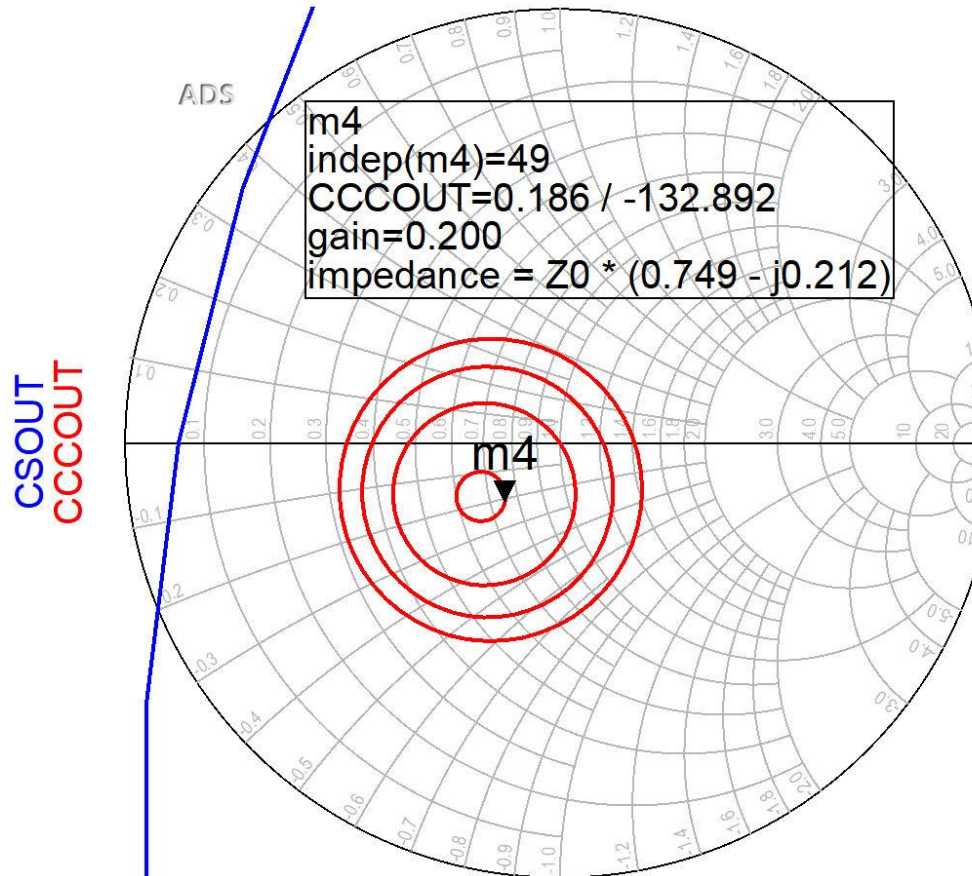
$$\cos(\varphi + 2\theta) = -0.412 \Rightarrow (\varphi + 2\theta) = \pm 114.33^\circ$$

---

$$(\varphi + 2\theta) = \begin{cases} +114.33^\circ \\ -114.33^\circ \end{cases} \quad \theta = \begin{cases} 146.2^\circ \\ 31.8^\circ \end{cases} \quad \text{Im}[y_S(\theta)] = \begin{cases} -0.904 \\ +0.904 \end{cases} \quad \theta_{sp} = \begin{cases} 137.9^\circ \\ 42.1^\circ \end{cases}$$

---

# Adaptare la ieșire



- CCCOUT: -0.4dB, -0.2dB, 0dB, +0.2dB
- Lipsa conditiilor privitoare la zgomot ofera posibilitatea obtinerii unui castig mai mare (spre maxim)

# Adaptare la iesire

## ■ Pozitia m<sub>4</sub> de pe grafic

$$\Gamma_L = 0.186 \angle -132.9^\circ$$

$$|\Gamma_L| = 0.186; \quad \varphi = -132.9^\circ$$

$$\cos(\varphi + 2\theta) = -|\Gamma_L|$$

$$\text{Im}[y_L(\theta)] = \frac{-2 \cdot |\Gamma_L|}{\sqrt{1 - |\Gamma_L|^2}} = -0.379$$

$$\cos(\varphi + 2\theta) = -0.186 \Rightarrow (\varphi + 2\theta) = \pm 100.72^\circ$$

---

$$(\varphi + 2\theta) = \begin{cases} +100.72^\circ \\ -100.72^\circ \end{cases} \quad \theta = \begin{cases} 116.8^\circ \\ 16.1^\circ \end{cases} \quad \text{Im}[y_L(\theta)] = \begin{cases} -0.379 \\ +0.379 \end{cases} \quad \theta_{sp} = \begin{cases} 159.3^\circ \\ 20.7^\circ \end{cases}$$

---

# LNA

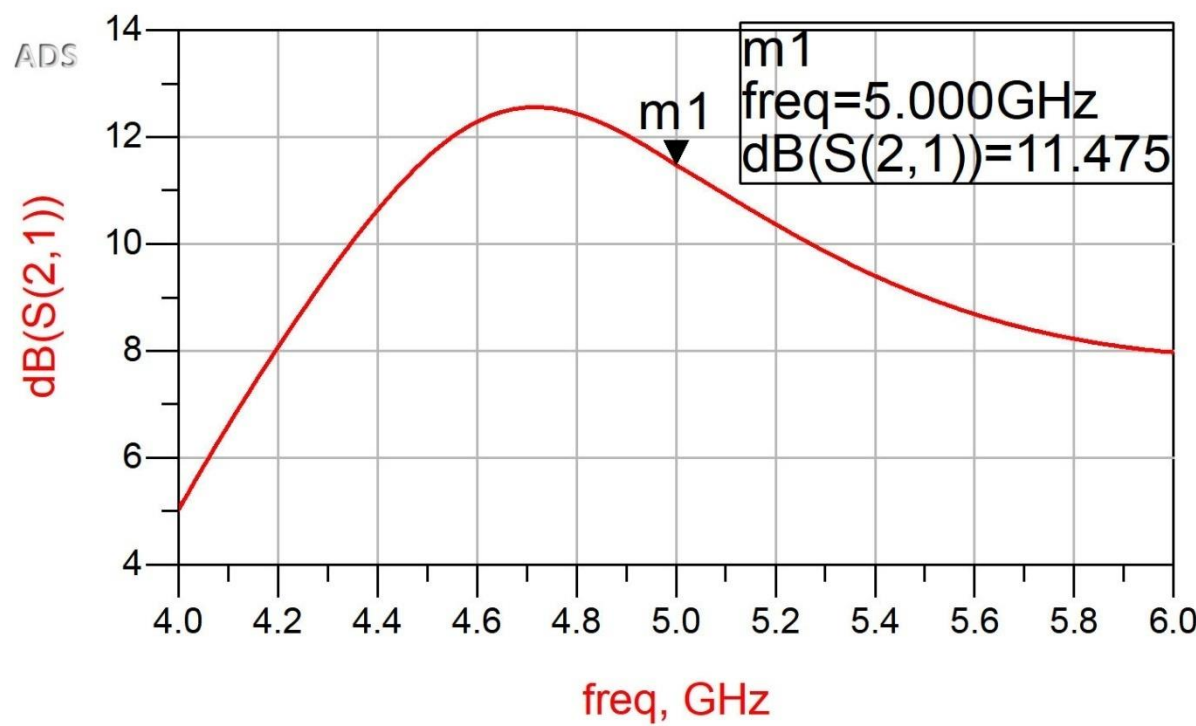
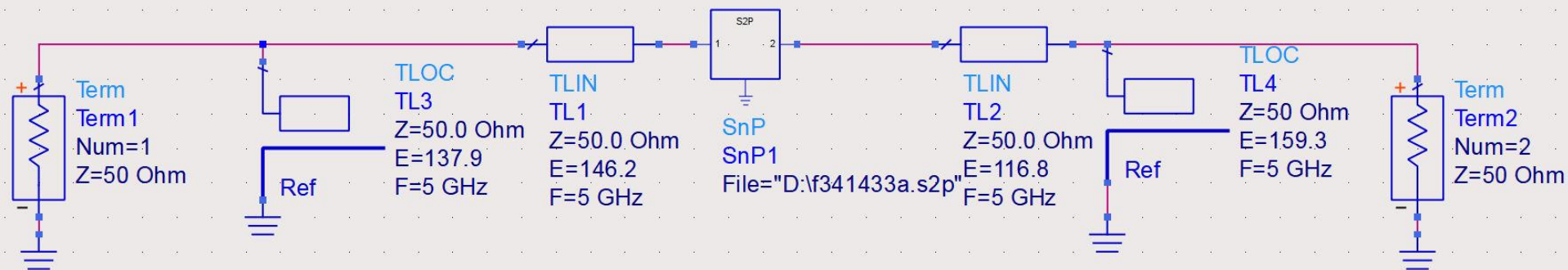
- Se estimeaza obtinerea unui castig (in ipoteza unilaterală,  $\pm 0.9$  dB)

$$G_T[\text{dB}] = G_S[\text{dB}] + G_0[\text{dB}] + G_L[\text{dB}]$$

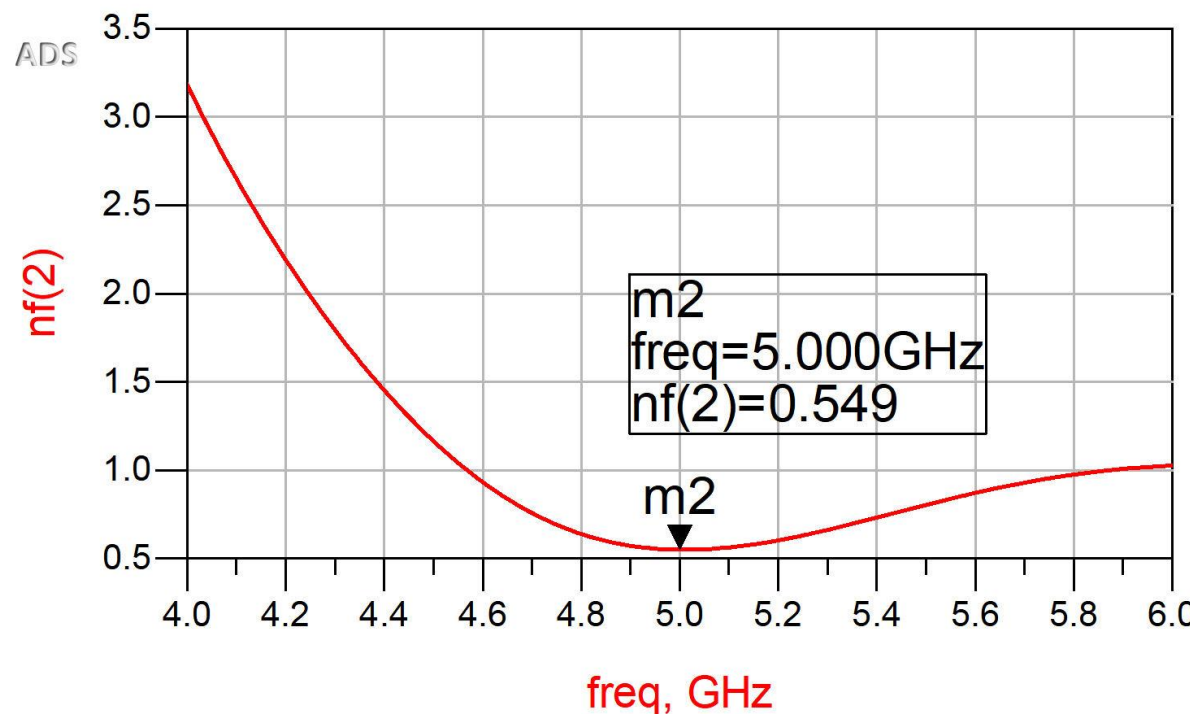
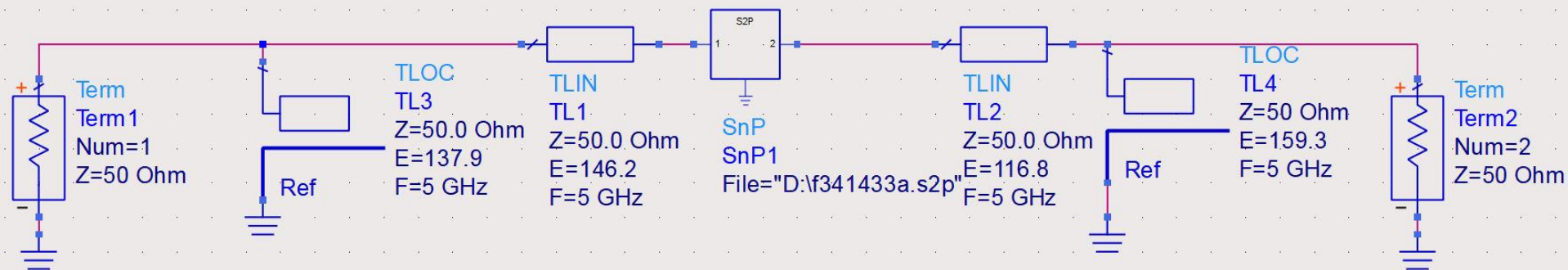
$$G_T[\text{dB}] = 1 \text{ dB} + 10 \text{ dB} + 0.2 \text{ dB} = 11.2 \text{ dB}$$

- Se estimeaza obtinerea unui factor de zgomot sub 0.75 dB (destul de apropiat de minim  $\sim 0.6$  dB)

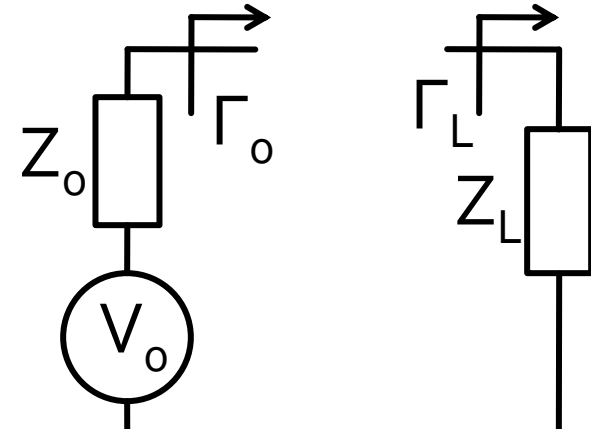
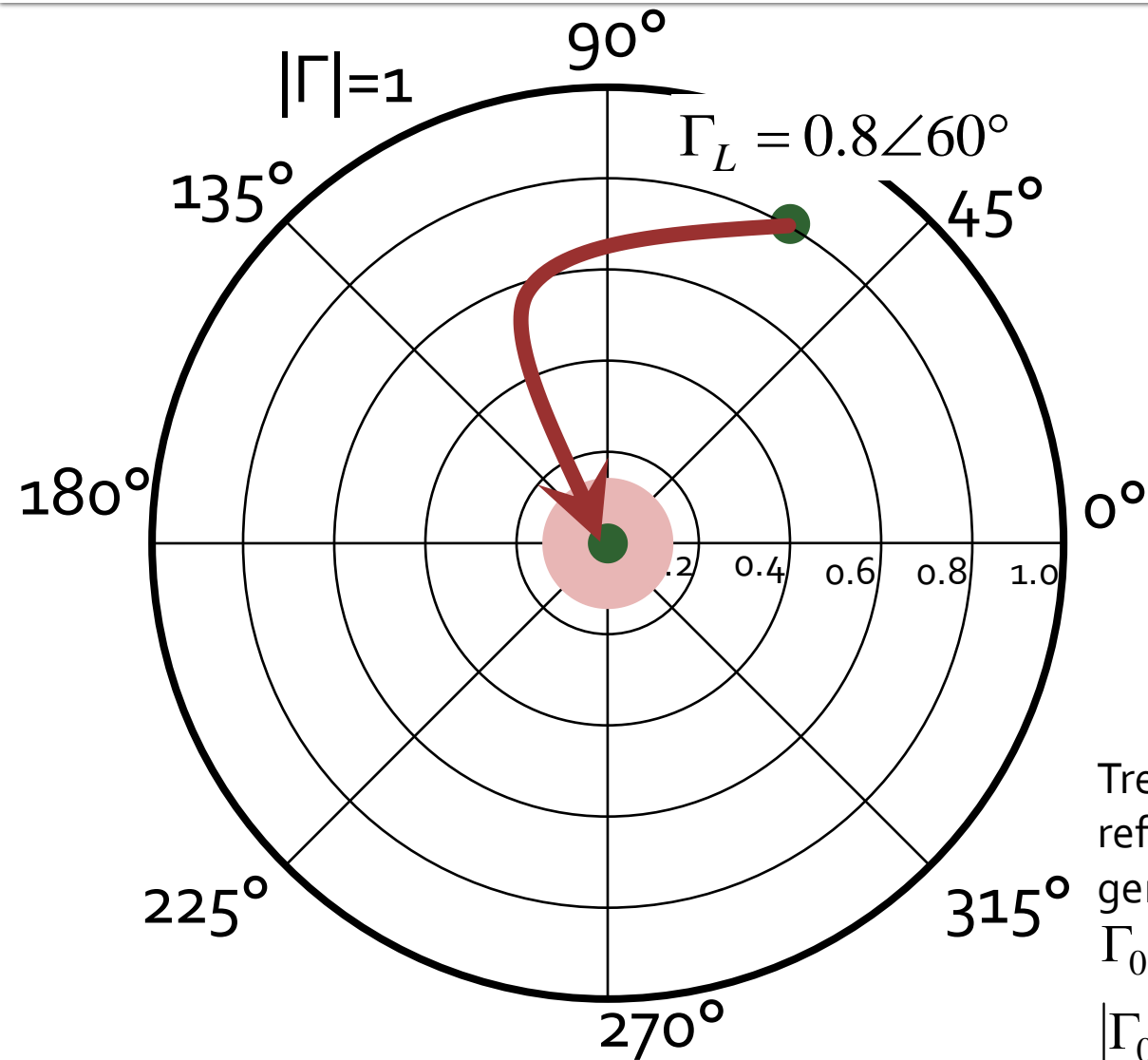
# ADS



# ADS



# Diagrama Smith, adaptare, $Z_L \neq Z_o$

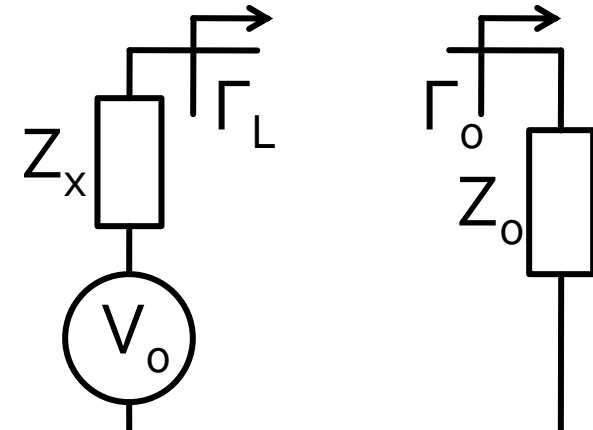
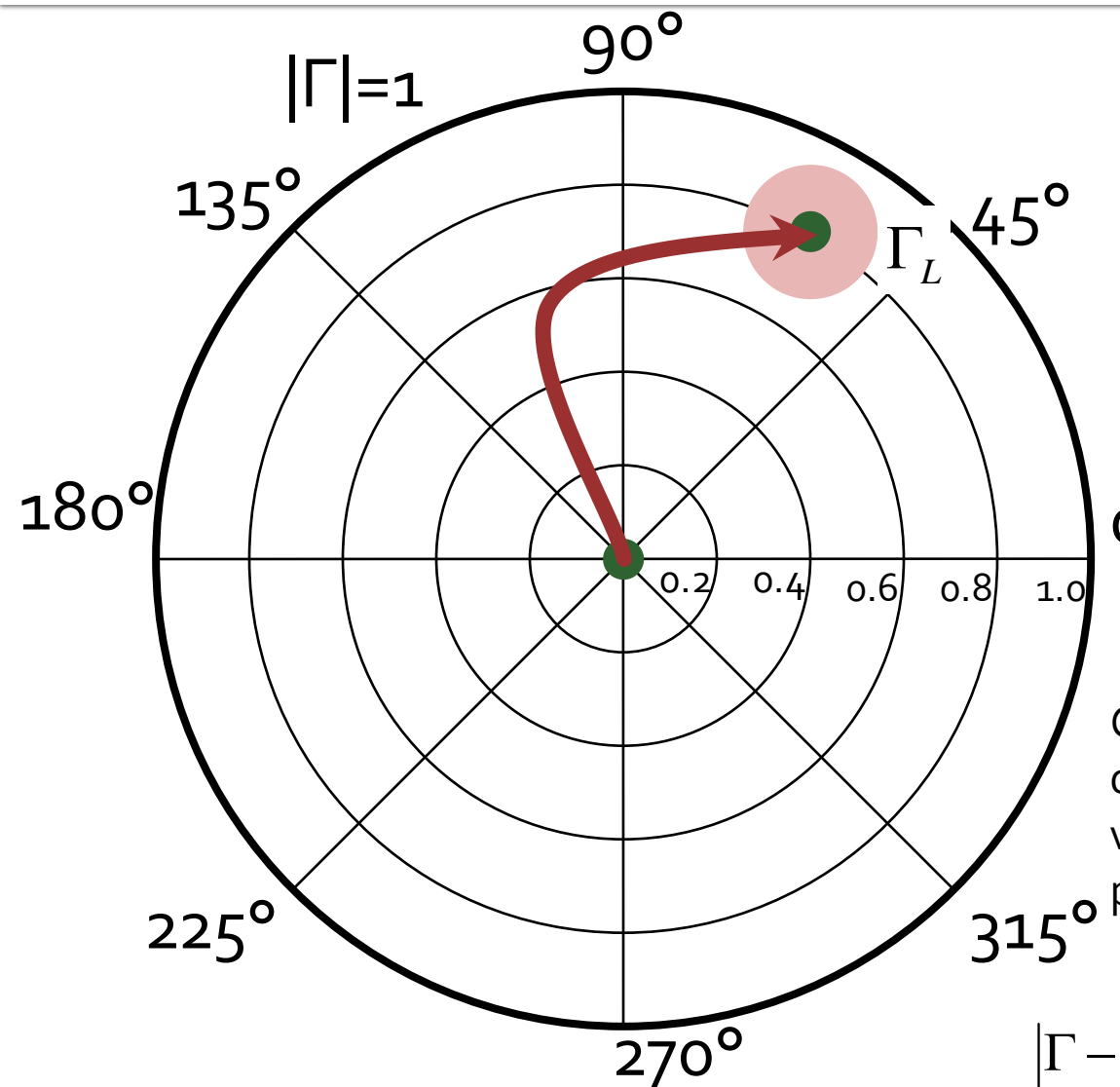


Adaptare  $Z_L$  la  $Z_o$ . Se raporteaza  $Z_L$  la  $Z_o$   
 $Z_L = 21.429\Omega + j \cdot 82.479\Omega$   
 $z_L = 0.429 + j \cdot 1.65$   
 $\Gamma_L = 0.8\angle 60^\circ$

Trebuie sa deplasez coeficientul de reflexie in zona in care pentru generator cu  $Z_o$  am:  
 $\Gamma_0 = 0$  adaptare perfecta

$|\Gamma_0| \leq \Gamma_m$  adaptare "suficienta"

# Diagrama Smith, adaptare, $Z_L = Z_o$



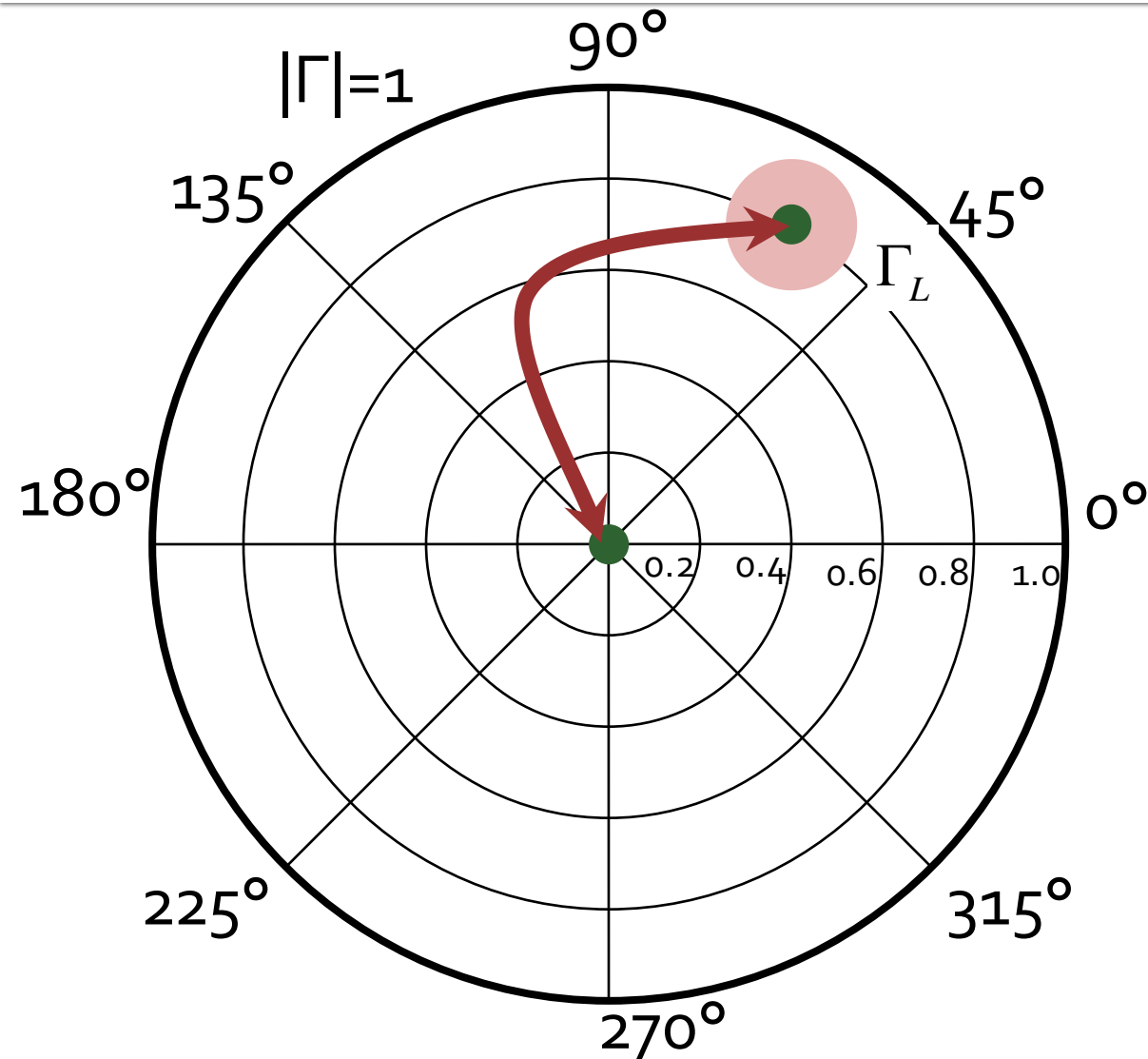
Sursa (de ex. tranzistorul) cu  $Z_x$  are nevoie de un anumit coeficient de reflexie  $\Gamma_L$  pentru a functiona corect

Circuitul de adaptare trebuie sa deplaseze coeficientul de reflexie vazut spre sarcina in zona in care pentru sarcina  $Z_o$  ( $\Gamma_o=0$ ) am:

$\Gamma = \Gamma_L$  adaptare perfecta

$|\Gamma - \Gamma_L| \leq \Gamma_m$  adaptare "suficientă"

# Diagrama Smith, adaptare, $Z_L = Z_o$



- Circuitele de adaptare care mută
  - $\Gamma_L$  în  $\Gamma_o$
  - $\Gamma_o$  în  $\Gamma_L$
- sunt **identice** ca realizare. Difera doar prin **ordinea** în care se introduc elementele în circuitul de adaptare
- Ca urmare se pot folosi în proiectarea circuitelor de adaptare aceleasi:
  - **metode**
  - **relatii**

# Contact

- Laboratorul de microunde si optoelectronica
- <http://rf-opto.etti.tuiasi.ro>
- [rdamian@etti.tuiasi.ro](mailto:rdamian@etti.tuiasi.ro)